令和4-5年度 厚生労働科学研究費補助金(食品の安全確保推進研究事業) 令和6年度 食品衛生基準科学研究費補助金(食品安全科学研究事業) 食品中残留農薬等の試験法開発における課題の解決に向けた研究 (総合)分担研究報告書

課題1. 残留農薬等分析における試料調製方法の検討 研究分担者 志田(齊藤)静夏 国立医薬品食品衛生研究所 食品部第三室長

研究要旨

食品に残留する農薬等の分布は不均一であるため、精確な分析値を得るには十分に均質な試料を調製後、分析に供する必要がある。また、試料調製中に農薬等が分解、揮散、吸着等により減少する場合、残留濃度を過小評価するおそれがあるため、試料調製中の減少を抑制する必要がある。本研究では、試料の均質性が分析結果に与える影響及び試料調製方法による試料調製中の農薬等の減少程度の差異について調査し、適切な試料調製方法や試料の均質性の指標を提案することを目的とし、以下の2つの検討を行った。

[1] 農産物を対象とした試料の均質性が分析結果に与える影響の評価と均質性評価指標の提案

農薬を散布して栽培した農産物(トマト、ホウレンソウ、ブロッコリー)を用いて試料の均質性が分析結果に与える影響を検討した。均質化の程度が不十分で粗大な固形物を多く含む粗粉砕試料と、固形物が微細になるまで十分に均質化した微粉砕試料を調製し、分析値を比較した結果、粗粉砕試料では分析値が相対的に低くなった。特にマラチオンでは、粗粉砕試料の方が微粉砕試料と比較して顕著に低くなった。この傾向は、いずれの作物においても見られたことから、不十分な均質化が分析結果に与える影響は、農薬の種類によって異なることが確認された。均質化の影響を受けやすい農薬については、試料の不十分な均質化が、残留濃度の過小評価リスクを招くことが示唆された。分析値の変動は、ホウレンソウ<ブロッコリー<トマトの順に大きくなり、変動の大小は作物種により異なることが確認された。また、均質化の程度に関わらず、秤取量と分析値の変動は負の相関関係を示し、秤取量が少ないほど変動が大きくなることが確認された。加えて、いずれの作物においても微粉砕試料の約90%が目開き1mmの篩を通過することが確認されたことから、均質化状態の評価方法として「目開き1mmの篩に負荷した際の通過率」を指標とする手法を提案し、「通過率90%以上」を十分微細に均質化された試料の目安と位置付けた。

[2] 畜水産物における適切な試料調製方法の提案と凍結粉砕法の有用性の検証

畜水産物を対象に凍結粉砕による試料調製法を確立した。うなぎ等の一部の水産物では、凍結粉砕法で試料調製を行っても、皮や骨の均質化が不十分となる課題も認められたが、多くの食品では常温磨砕法よりも試料粒子が細かくなる傾向が見られた。凍結粉砕法の試料調製中の農薬等の減少抑制効果を検証するため、牛及び豚の肝臓に農薬等を添加後、常温磨砕法及び凍結粉砕法により試料調製し、回収率を比較した。その結果、常温磨砕法では酵素や試料成分との反応等により減少しやすい農薬等においても、凍結粉砕法を用いることで減少を抑制できる場合があることが示された。一般に、分析法の妥当性を添加回収試験により評価する際は、試料調製から抽出までの間に生じる農薬等の減少を考慮して評価するため、農薬等を添加後30分間放置した後に抽出操作を開始する。しかし、本検討結果から、均質化後の試料に添加し30分間放置した場合よりも、試料調製中に生じる農薬等の減少

の方が大きくなる場合があることが示された。したがって、添加回収試験において良好な回収率が得られたとしても、実際の検査においては残留濃度を過小評価する可能性があると考えられた。

研究協力機関

一般財団法人残留農薬研究所

研究協力者

国立医薬品食品衛生研究所 齋藤真希 国立医薬品食品衛生研究所 根本 了

A. 研究目的

食品に残留する農薬等の分布は不均一であり、 検体全体を十分に均質化しなければ、精確な分析 値を得ることはできない。また、試料調製中に分 解、揮散、吸着等により減少する場合、残留濃度 を過小評価するおそれがあるため、試料調製中の 減少を抑制する必要がある。本研究では、試料の 均質性が分析結果に与える影響及び試料調製方 法による試料調製中の農薬等の減少程度の差異 について調査し、適切な試料調製方法や試料の均 質性の指標を提案することを目的とし、以下の 2 つの検討を行った。

- [1] 農産物を対象とした試料の均質性が分析結果に与える影響の評価と均質性評価指標の提案
- [2] 畜水産物における適切な試料調製方法の提 案と凍結粉砕法の有用性の検証

[1] 農産物を対象とした試料の均質性が分析結果に与える影響の評価と均質性評価指標の提案

圃場で散布された農薬は、作物表面や内部に均一に残留しているわけではないため、検体全体を十分に均質化しなければ、精確な分析値を得ることはできない。このため、残留農薬分析では試料調製によって得られた試料が十分に均質であることを確認することが望ましい。しかしながら、残留農薬検査では、分析法(抽出から測定まで)の妥当性については評価しているものの、試料調製の評価はほとんど行われていない。これは、十分に均質な試料状態を規定するために必要な科学的知見の報告が非常に少なく、試料の均質化状

態の評価指標が確立していないことが一因である。

本研究では農産物を対象として試料の均質性が分析結果に与える影響を検討した上で、試料の均質性の評価方法及び十分に均質化された試料の目安を提案することを目的とした。1年目は果菜類であるトマト、2年目は葉菜類であるホウレンソウ、3年目は花野菜であるブロッコリーを用いて検討を行った。

[2] 畜水産物における適切な試料調製方法の提 案と凍結粉砕法の有用性の検証

残留農薬等分析では常温磨砕法により試料調 製を行うことが多い。しかし、食品によっては常 温磨砕法では均質化が困難な場合がある。また、 一部の農薬等は、試料調製中に分解等により濃度 が低下し、過小評価の原因となることが知られて いる。試料調製中の損失の主な要因には、試料成 分への吸着、酵素やその他の試料成分との反応に よる分解、光分解、揮散などがある。このうち、 吸着や分解を抑制する方法としては、酸(リン酸、 塩酸等)や緩衝液、抗酸化剤などを添加して試料 調製する方法があるが、一斉分析法においては他 の農薬等の安定性への影響や抽出効率の低下等 が懸念される。一方、凍結粉砕法では常温磨砕法 よりも微細に粉砕できる可能性がある。また、凍 結粉砕法では他の農薬等の安定性や抽出効率に 影響を与えることなく、試料調製中の農薬等の分 解等を抑制できる可能性が高い。そこで、本研究 では畜産物を対象として、凍結粉砕法を確立する とともに、その有用性について検証することを目 的とした。1年目は畜産物、2年目は水産物を対象 に凍結粉砕法による試料調製を検討した。3年目 は、試料調製中に生じる農薬等の減少の抑制に凍 結粉砕法が有効であるかを検証した。

B. 研究方法

[1] 農産物を対象とした試料の均質性が分析結果に与える影響の評価と均質性評価指標の提案

a 令和 4 年度: トマト

1. 圃場試験の概要

日本植物防疫協会高知試験場にて、トマト (品種:モモタロウ)を施設栽培した。2023年1月4日および11日に表A-1の条件で農薬製剤300L/10a相当量を2回混用散布した。最終散布1日後に約8kg (160g/個)の試料 (処理区試料)を収穫した。また、1月4日の農薬散布前に約2.5kgの試料 (無処理区試料)を収穫した。

2. 分析対象物質

供試農薬製剤の有効成分(ジノテフラン、マラチオン、テブコナゾール、フルベンジアミド、ブプロフェジン、フェンピロキシメート、ペルメトリン)

3. 分析標準物質

ジノテフラン標準品 (99.8%; 富士フイルム和光 純薬製)、マラチオン標準品 (98.33%; Dr. Ehrenstorfer 製)、テブコナゾール標準品 (98.6%; 富士フイルム和光純薬製)、フルベンジアミド標 準品 (99.2%; 富士フイルム和光純薬製)、ブプロ フェジン標準品 (99.4%; 富士フイルム和光純薬 製)、(*E*)-フェンピロキシメート標準品 (98.41%; Dr. Ehrenstorfer 製)、ペルメトリン標準品 (99.73%; Dr. Ehrenstorfer 製)

4. 試薬

アセトニトリル、トルエン、メタノール: 残留農 薬試験用 (関東化学製)

メタノール: LC/MS 用 (関東化学製)

酢酸アンモニウム:特級 (関東化学製)

水: PURELAB Flex System (Veolia Water Solutions & Technologies)で精製した水

GCB/NH₂ 積層ミニカラム: ENVI-CARB/LC-NH₂、 500 mg/500 mg/6 mL(シグマアルドリッチ製)

5. 装置

ミキサー: ロボクープ Blixer 5-Plus (エフ・エム・アイ製)

ホモジナイザー: PT3100D (KINEMATICA

AG 製)

超音波洗浄機: FU-80C (アイワ医科工業

製)

液体クロマトグラフ・質量分析計 (LC-MS/MS): Nexera X2 System (島津製作所製)、

Triple Quad 4500 (AB Sciex 製)

データ処理: Analyst (AB Sciex 製)

6. 測定条件

高速液体クロマトグラフ: 表 A-2

質量分析計: 表 A-3 MS パラメーター: 表 A-4

7. 標準溶液の調製

7.1 標準原液の作成

ジノテフラン、マラチオン、テブコナゾール、フルベンジアミド、フェンピロキシメートおよびペルメトリンの分析標準物質 10.0 mg (純度補正値)をそれぞれ 50 mL 容メスフラスコに精秤し、アセトニトリルで定容して 200 mg/L の標準原液を調製した。ブプロフェジンの分析標準物質 10.0 mg (純度補正値)を 50 mL 容メスフラスコに精秤し、アセトンで定容して 200 mg/L の標準原液を調製した。

7.2 検量線用標準溶液および検量線の作成

1) ジノテフラン、マラチオン、テブコナゾール、 フルベンジアミド、ブプロフェジンおよびフェン ピロキシメート (溶媒検量線)

7.1 項で作成した各標準原液を等量ずつ混合し、アセトニトリルで段階的に希釈して 0.2 mg/L 混合標準溶液を調製し、さらにメタノールで希釈して 0.08 mg/L 混合標準溶液を作成した。この混合標準溶液をメタノール/水 (50:50、 v/v) 混液で希釈して、0.00012、0.0004、0.0008、0.002、0.004 および 0.008 mg/L の混合標準溶液を調製し、LC-MS/MSで測定した。横軸に濃度、縦軸にピーク面積をとって各検量線を作成した。

2) ペルメトリン (マトリックス検量線)

7.1 項で作成した各標準原液を等量ずつ混合し、アセトニトリルで段階的に希釈して 2 mg/L 混合標準溶液を調製した。この混合標準溶液をメタノ

ール/水 (50:50、v/v) 混液で希釈して、0.0024、0.008、0.016、0.04、0.08 および 0.16 mg/L の混合標準溶液を調製した。これらの混合標準溶液 25 μL と任意のブランク試料の試験溶液 475 μL をそれぞれ混合して、0.00012、0.0004、0.0008、0.002、0.004 および 0.008 mg/L のマトリックス混合標準溶液を調製した。検量線の範囲外となり試験溶液を希釈して測定する場合は、同様に希釈した任意のブランク試料の試験溶液を用いてマトリックス混合標準溶液を調製した。これらのマトリックス混合標準溶液を調製した。これらのマトリックス混合標準溶液をは関定し、横軸に濃度、縦軸にピーク面積をとって検量線を作成した。

8. 分析操作

厚生労働省通知の「LC/MS による農薬等の一斉 試験法I (農産物)」に準拠して実施した。なお、 抽出方法を除き、精製の省略や定量時の機器条件 の変更など一部の方法は改変した。

8.1 抽出

均質化試料 (1.00、2.00、5.00、10.0 および 20.0 g) を三角フラスコにはかりとり、アセトニトリル 50 mL を加え、ホモジナイザーで 1 分間磨砕抽出した。抽出物をろ紙を敷いた桐山漏斗で吸引ろ過した。ろ紙上の残渣を三角フラスコに戻し、アセトニトリル 20 mL を加え、再度ホモジナイザーで 1 分間磨砕抽出した。ホモジナイザーのシャフトをアセトニトリル 10 mL で洗浄し、抽出物に合わせた。抽出物を同様に吸引ろ過し、ろ液を合わせてアセトニトリルで 100 mL に定容した。

8.2. GCB/NH₂積層ミニカラム精製

抽出液 1、2、4、10 および 20 mL (各秤取量ともに試料 0.2 g 相当量)を分取した後、約 1 mL まで減圧濃縮した (抽出液分取量 1 mL は除く)。これら溶液をアセトニトリル/トルエン (3:1)混液 10 mL で予め前処理した GCB/NH_2 積層ミニカラムに負荷した。続いて、アセトニトリル/トルエン (3:1) 混液 20 mL をミニカラムに負荷した。全ての負荷液を分取した後、減圧濃縮して最後は窒素気流下で溶媒を留去した。

8.3. 定量

前項の残留物をメタノール/水 (50:50、v/v) 混液 5 mL で溶解 (超音波処理) し、その溶液 を LC-MS/MS に注入してピーク面積を求め、検量 線を用いて試料中の各分析対象農薬の残留濃度 を算出した。検量線範囲外となる場合は同混液で さらに希釈した。なお、実験操作中を除き、抽出 液および試験溶液は冷蔵暗所に保管した。

9. 分析法の妥当性評価

市販品試料を用いた各分析対象農薬の定量限界相当濃度 0.01 mg/kg、0.5 mg/kg および分析試料の最高検出濃度を超える 1 mg/kg 添加試料による回収率の算出結果 (各添加濃度 5 連で実施)、ならびに市販品の無添加試料および無処理区試料の測定結果により、採用する分析法の妥当性を確認した。

10. 常圧加熱乾燥法による固形物含有率の測定方法

アルミカップを 105℃に設定した恒温乾燥機内で1時間乾燥後に、デシケーター内で室温に戻して重量を測定した。重量を測定したアルミカップに1.00、2.00、5.00、10.0、20.0 g±10%の試料を秤取した。これらを 105℃に設定した恒温乾燥機内で6時間乾燥後に、デシケーター内で室温に戻して重量を測定した。重量の測定には精密天秤を使用し、小数点以下4桁までの重量を測定した。乾燥後の試料重量を秤取試料重量で除して、固形物含有率を算出した。

11. 試料均質化状態の検討

11.1. 均質化時間の比較

市販品トマト(産地: 茨城県、品種: 惚れ惚れ) 約2.5 kg のヘタを除去し縦十字に4分割した後、 ミキサーで0.5、1、2 および4分間均質化した。 各均質化時点で、試料の一部をシャーレに分取し、 その状態を観察した。

11.2. 均質化評価用試験篩の比較

11.1 項のトマトおよび別品種の市販品トマト (産地:群馬県、品種:夏美人) それぞれ約2kg のヘタを除去し細切後、ミキサーで短時間均質化 して粗大固形物が残る均質化が不十分な試料 (粗粉砕試料) を調製した。粗粉砕試料を約1kg ずつ 2 つに分割し、それぞれの重量を記録した。 それらを目開き 1 mm または 2 mm の試験用篩に 負荷し、ヘラを用いて裏ごしする要領で通過させ、 通過物の重量を測定した。なお、ヘラは先端が柔 らかいものを使用し、ヘラ処理時の加圧により固 形物が必要以上に篩を押し通らないように力加 減に注意した。また、次式より通過物の重量評価 による通過率を算出した。

通過物重量評価での通過率 (%)

 $=\frac{\text{finds weight }}{\text{in the first }}\times 100$

11.3. 試験篩の通過手法の比較

11.3.1. 均質化試料の調製

圃場施設で栽培した無処理区試料および処理 区試料それぞれ約2kgのヘタを除去し細切後、ミ キサーで均質化して、固形物が十分に均質化され た微粉砕試料および粗粉砕試料をそれぞれ調製 した。

11.3.2. ヘラ処理

前項で調製した無処理区の微粉砕試料および 処理区の粗粉砕試料を約500gはかり取り、重量 を記録した。それらを目開き1mmの試験用篩に 負荷し、約5分間静置した後に通過物重量および 篩上の残渣重量を測定した。続いて、ヘラを使用 した方法 (11.2項参照) で均質化試料を篩に通 過させ、通過物重量および篩上の残渣重量を測定 した。篩上の残渣重量は、残渣を含んだ篩の重量 から事前に測定した篩重量を減算することで求 めた。また、11.2項と同様の方法で算出した通過 物重量評価での通過率に加えて、次式より残渣重 量評価での通過率を算出した。

残渣重量評価での通過率 (%)

= <u>(試料負荷重量 - 残渣重量)</u> × 100 試料負荷重量

11.3.3. 流水洗浄処理

11.3.1 項で調製した無処理区の微粉砕試料および粗粉砕試料を約500gはかり取り、重量を記録した。500mLの水を加え混合した後、目開き1mmの試験用篩に負荷し、約5分間静置した後に篩上の残渣重量を測定した。続いて、水道の蛇口にゴ

ムホース (内径 12 mm) を接続し、流量 4~5 L/min に調製した水道水で篩上の残渣を洗浄し、篩を通過させた。その際、洗浄時間 1 分間毎に、篩に付着した余分な水分を拭きあげた後の篩上の残渣重量を測定し、残渣重量評価での篩通過率を算出した。

12. 分析用試料の秤取

12.1 試料秤取量および試料静置の影響

均質化直後に 2L ビーカーに充填した処理区の 微粉砕試料および粗粉砕試料それぞれの中層か ら、1.00、2.00、5.00、10.0 および 20.0gの検体を 各6点秤取し、それらの農薬濃度を分析した。さ らに、同時点における中層より 1.00、2.00、5.00、 10.0 および 20.0 g±10%の検体を各 6 点秤取し、固 形物含有率を測定した。試料秤取は、秤取ごとに ビーカー内の試料をよく混和した後に実施した。 ビーカー内の両均質化試料を 1 時間静置した後、 上層、中層および下層から 20.0 g の検体を各層 2 点ずつ秤取し、それらの農薬濃度を分析した。同 時点での上層、中層および下層から 20.0 g±10%の 検体を各層2点ずつ秤取し、固形物含有率を測定 した。なお、全ての検体秤取時には、先端口径8 mm の駒込ピペットを使用し、静置後の秤取時に は秤取器具で各層を混和しないように注意しな がら試料採取を実施した。

12.2 遠心分離後の沈殿物と上澄み液の比較

よく混和した処理区の微粉砕試料および粗粉砕試料の中層から、20.0gの検体を各2点秤取し、遠心分離 (10000×g、10分、20℃) した。傾斜法により沈殿と上澄み液に分画し、両画分中の農薬濃度を分析した。

12.3 篩分別後の残渣と通過物の比較

11.3.2 項のヘラ処理により、処理区の粗粉砕試料約 2kg を篩上の残渣と通過物に分別した。分別した両試料から、それぞれ 20.0g の検体を各 6 点秤取し、農薬濃度を分析した。

b 令和5年度: ほうれんそう

1. 分析標準物質

ジノテフラン標準品:99.8%(富士フイルム和光純 薬株式会社)

イミダクロプリド標準品:99.5%(富士フイルム和 光純薬株式会社)

マラソン標準品: 97.2%(富士フイルム和光純薬株式会社)

ダイアジノン標準物質:99.5%(富士フイルム和光 純薬株式会社)

フルフェノクスロン標準品: 98.19% (Dr.

Ehrenstorfer)

(E)-フェンピロキシメート標準品:98.41% (Dr. Ehrenstorfer)

ペルメトリン標準品:99.73% (Dr. Ehrenstorfer)

2. 供試試料

作物名:ほうれんそう

分析部位: 茎葉 (赤色根部を含み、ひげ根及び変質葉を除去したもの)

3. 残留分析方法

3.1. 試薬および機器

アセトニトリル、トルエン、メタノール:残留農 薬試験用 (関東化学株式会社)

メタノール: LC/MS 用 (関東化学株式会社)

酢酸アンモニウム:特級 (関東化学株式会社)

水: PURELAB Chorus System (ELGA LabWater、 UK) で精製した水

GCB/NH₂ 積層ミニカラム: ENVI-CARB/LC-NH₂、 500 mg/500 mg/6 mL (シグマアルドリッチジャパン合同会社)

ミキサー:ロボクープ Blixer 5-Plus (株式会社エフ・エム・アイ)

ホモジナイザー: PT3100D (KINEMATICA AG、 Switzerland)

超音波洗浄機: FU-80C(アイワ医科工業株式会社) 液体クロマトグラフ・質量分析計 (LC-MS/MS):

Nexera X2 System (株式会社島津製作所)、Triple Quad 4500 (AB Sciex、 USA)

データ処理装置: Analyst (AB Sciex)

3.2. 機器および装置の操作条件

3.2.1. 高速液体クロマトグラフの操作条件

カラム: ACQUITY UPLC BEH C18 (Waters Co.、USA)、 内径 2.1 mm、長さ 100 mm、粒径 1.7 μm 溶離液: 5 mmol/L 酢酸アンモニウム/5 mmol/L 酢酸アンモニウム含有メタノール (v/v)、90:10 -5.0 min - 5:95 (4 min 保持)

流量: 0.3 mL/min カラム温度: 40℃

注入量:5 μL

保持時間:ジノテフラン: 2.6 min、イミダクロプリド: 3.6-3.7 min、マラチオン: 5.5-5.6 min、ダイアジノン: 6.0 min、フルフェノクスロン: 6.5 min、フェンピロキシメート: 6.6-6.7 min、ペルメトリン: 7.1 および 7.3 min

3.2.2. 質量分析計の操作条件

イオン化法: エレクトロスプレーイオン化法 (ESI)、正モード

イオンスプレー電圧: 5500 V

イオン化温度: 650℃ コリジョンガス: N₂

イオン検出法: MRM 法

MS パラメーター: 表 B-1

3.3. 標準溶液の調製

3.3.1 標準原液の作成

ジノテフラン、イミダクロプリド、マラチオン、ダイアジノン、フルフェノクスロン、フェンピロキシメートおよびペルメトリンの分析標準物質10.0 mg (純度補正値)をそれぞれ50 mL 容メスフラスコに精秤し、アセトニトリルで定容して200 mg/L の標準原液を調製した。

3.3.2 検量線用標準溶液および検量線の作成

イミダクロプリド、マラチオン、ダイアジノンおよびフェンピロキシメート (溶媒検量線)

3.3.1 項で作成した各標準原液を等量ずつ混合し、アセトニトリルで段階的に希釈して 0.2 mg/L 混合標準溶液を調製し、さらにメタノールで希釈して 0.08 mg/L 混合標準溶液を作成した。この混合標準溶液をメタノール/水 (50:50、 v/v) 混液で希釈して、0.00012、0.0004、0.0008、0.002、0.004 および 0.008 mg/L の混合標準溶液を調製した。これらの混合標準溶液を LC-MS/MS に注入して、デ

ータ処理装置を用いてイミダクロプリド、マラチオン、ダイアジノンおよびフェンピロキシメートのピーク面積を測定し、横軸に濃度、縦軸にピーク面積をとって各検量線を作成した。

2) ジノテフラン、フルフェノクスロンおよびペル メトリン (マトリックス検量線)

3.3.1 項で作成した各標準原液を等量ずつ混合 し、アセトニトリルで段階的に希釈して 2 mg/L 混 合標準溶液を調製した。この混合標準溶液をメタ ノール/水 (50:50、 v/v) 混液で希釈して、0.0024、 0.008、0.016、0.0.04、0.08 および 0.16 mg/L の混 合標準溶液を調製した。これらの混合標準溶液 25 μL と任意の農薬無添加試料の試験溶液 475 μL をそれぞれ混合して、0.00012、0.0004、0.0008、 0.002、0.004 および 0.008 mg/L のマトリックス混 合標準溶液を調製した。検量線の範囲外となり試 験溶液を希釈して測定する場合は、同様に希釈し た任意のブランク試料の試験溶液を用いてマト リックス混合標準溶液を調製した。これらのマト リックス混合標準溶液を LC-MS/MS に注入して、 データ処理装置を用いてジノテフラン、フルフェ ノクスロンおよびペルメトリンのピーク面積を 測定し、横軸に濃度、縦軸にピーク面積をとって 各検量線を作成した。

3.4. 分析操作

分析操作は、厚生労働省通知の「LC/MSによる 農薬等の一斉試験法I(農産物)」に準拠して実施し た。なお、抽出方法を除き、精製の省略や定量時 の機器条件の変更など一部の方法は改変した。

3.4.1 抽出

均質化試料 (1.00、2.00、5.00、10.0 および 20.0 g) を三角フラスコにはかりとり、アセトニトリル 50 mL を加え、ホモジナイザーで 1 分間磨砕抽出した。抽出物をろ紙を敷いた桐山漏斗で吸引ろ過した。ろ紙上の残渣を三角フラスコに戻し、アセトニトリル 20 mL を加え、再度ホモジナイザーで 1 分間磨砕抽出した。ホモジナイザーのシャフトをアセトニトリル 10 mL で洗浄し、抽出物に合わせた。抽出物を同様に吸引ろ過し、ろ液を合わせてアセトニトリルで 100 mL に定容した。

3.4.2. GCB/NH₂ 積層ミニカラム精製

試料 0.2 g 相当量となるよう抽出液の一部 $(1\sim 20 \, \text{mL})$ を分取した後、約 $1 \, \text{mL}$ まで減圧濃縮した (抽出液分取量 $1 \, \text{mL}$ は除く)。これら溶液をアセトニトリル/トルエン (3:1, v/v) 混液 $10 \, \text{mL}$ で予め前処理した GCB/NH_2 積層ミニカラムに負荷した。続いて、アセトニトリル/トルエン (3:1, v/v) 混液 $20 \, \text{mL}$ をミニカラムに負荷した。全ての負荷液を分取した後、減圧濃縮して最後は窒素気流下で溶媒を留去した。

3.4.3. 定量

前項の残留物をメタノール/水 (50:50、 v/v) 混液 5 mL で溶解 (超音波処理) し、その溶液を LC-MS/MS に注入してピーク面積を求め、検量線 を用いて試料中の各分析対象農薬の残留濃度を 算出した。検量線範囲外となる場合は同混液でさ らに希釈した。なお、実験操作中を除き、抽出液 および試験溶液は冷蔵暗所に保管した。

3.5. 分析法の妥当性評価

各分析対象農薬の定量限界相当濃度 0.01 mg/kg、0.5 mg/kg および分析試料の最高検出濃度を超える 15 mg/kg (ジノテフラン、イミダクロプリド、マラチオン、フルフェノクスロンおよびペルメトリン) または 50 mg/kg (ダイアジノン) 添加試料による回収率の算出結果 (各添加濃度5連で実施)、ならびに市販品の無添加試料の測定結果により、採用する分析法の妥当性を確認した。(表 B-2)

4. 固形物含有率の測定

アルミカップを 105℃に設定した恒温乾燥機内で1時間乾燥後に、デシケーター内で室温に戻して重量を測定したアルミカップに分析試料を秤取した。これらを 105℃に設定した恒温乾燥機内で約7時間乾燥後に、デシケーター内で室温に戻して重量を測定した。重量の測定には精密天秤を使用し、小数点以下4桁までの重量を測定した。乾燥後の試料重量を秤取試料重量で除して、固形物含有率を算出した。

5. 試料均質化状態の評価

5.1. 常温での均質化時間の比較

市販品ほうれんそう約 $1 \log 2 \sim 3 \text{ cm}$ に細切した後、常温のミキサーで0.5、1、2 および4 分間均質化した。各均質化時点で、試料の一部をシャーレに分取し、その状態を観察した。

5.2. 凍結粉砕試料の調製

市販品ほうれんそう約1kgを2~3cmに細切し た後、冷凍庫に保管して凍結した。ミキサーで固 形状ドライアイス 500 g (試料 0.5 倍量) を粉砕し パウダー状にし、凍結したほうれんそう試料に加 え混合した。添加したドライアイス量は、既報 7. 8)を参考に設定した。続いて、固形状ドライアイス 約 100 g をミキサーで約 10 秒均質化してミキサ 一容器を予冷した。ドライアイスを混合した凍結 ほうれんそう試料の約半量を予冷したミキサー に入れ、数秒間均質化した。残りの試料をミキサ ーに入れ、さらに4分間均質化した。凍結粉砕後 の試料を 2L ビーカーに移し、完全に密閉しない 状態で冷凍庫に入れ、1 晩かけてドライアイスを 昇華した。なお、ミキサーの外表面には断熱材を 巻き、試料秤取用の器具およびビーカーは予冷し たものを使用した。また、凍結したほうれんそう 試料 (ドライアイス添加前)、均質化前後の試料、 ドライアイス昇華後の試料の温度をそれぞれ測 定した。

5.3. 均質化評価用試験篩の目開きの大きさおよび通過手法の比較

5.3.1. 均質化試料の調製

市販品ほうれんそう約1kgを2~3cmに細切した後、常温のミキサーで均質化して、粗大な固形物が残存する『粗粉砕試料』および固形物が微細な状態である『微粉砕試料』をそれぞれ調製した。また、5.2項と同様の方法で『凍結粉砕試料』を調製した。

5.3.2. 微粉砕試料および凍結粉砕試料

5.3.1 項で調製した微粉砕試料または凍結粉砕 試料 250 g を目開き 1 mm 篩に負荷し、約 5 分間 静置後に篩上の残渣重量を測定した。続いて、ヘ ラ処理または流水洗浄処理後に残渣重量を測定 した。ヘラ処理は、シリコン製のヘラでの加圧に より試料を通過させ、処理は 10 分間実施した。流 水洗浄処理は、水道の蛇口にゴムホース (内径 12 mm) を接続し、流量 4~5 L/min に調整した水道水で篩上の残渣を洗浄し、篩を通過させた。その際、洗浄時間 1 分間毎に、篩に付着した余分な水分を除去した後の篩上の残渣重量を測定した。通過率が一定に達するまで洗浄を実施し、最長洗浄時間は 10 分間とした。各処理前後での残渣重量から以下の式に従い通過率を算出した。なお、各実験はそれぞれ 2 名の作業者で実施した。

通過率 (%) = (試料負荷重量 - 残渣重量) / 試料負荷重量 × 100

5.3.3. 粗粉砕試料

5.3.1 項で調製した粗粉砕試料 250 g を目開き 1 mm または 2 mm 篩に負荷し、5.3.2 項と同様の方法でヘラ処理または流水洗浄処理を実施して通過率を算出した。なお、各実験はそれぞれ 2 名の作業者で実施した。

6. 各検討に用いる分析用試料の秤取

6.1 分析試料の秤取量および試料静置の影響

圃場施設で栽培した処理区試料の粗粉砕試料、 微粉砕試料および凍結粉粉砕試料を均質化直後 にそれぞれ 2 L ビーカーに充填した。各試料の中 層から、1.00、2.00、5.00、10.0 および 20.0gの分 析試料を各6点秤取し、それらの農薬濃度を分析 した。分析試料は、秤取ごとにビーカー内の試料 をよく混和した後に操作した。粗粉砕試料および 微粉砕試料については均質化試料を1時間静置し た後、上層、中層および下層から20.0gの分析試 料を各層2点ずつ秤取し、それらの農薬濃度を分 析した。また、同時点での上層、中層および下層 から 20.0 g±10%の分析試料を各層 2 点ずつ秤取 し、4 項の方法に従い固形物含有率を測定した。 なお、粗粉砕および微粉砕試料は先端口径 8 mm の駒込ピペットで秤取し、静置後の秤取時には各 層を混和しないように注意しながら分析試料を 採取した。凍結粉粉砕試料は、予冷したスパーテ ルを用いて秤取した。

6.2 遠心分離後の沈殿物と上澄み液の比較

よく混和した処理区の粗粉砕試料および微粉砕試料の中層から、分析試料 20.0 g を各 2 点秤取し、遠心分離 (10000×g、10 分、20°C) した。傾斜法により沈殿と上澄み液に分画し、両画分中の重量および農薬濃度を分析した。

6.3 篩分別後の残渣と通過物の比較

処理区の粗粉砕試料約1kgを目開き1mm 篩に 負荷し、ヘラ処理により篩上の残渣と通過物に分 別した。両試料から、それぞれ20.0gの分析試料 を各6点秤取し、農薬濃度を分析した。

c 令和6年度: ブロッコリー

1. 圃場試験の概要

供試試料は日本植物防疫協会 茨城研究所にて、ブロッコリー (品種:ハイツSP) を露地栽培した。 供試農薬製剤 7種ならびにその有効成分名、含有率、散布液の希釈率を表 C-1 に示す。各農薬製剤は 2024 年 10 月 27 日及び 11 月 4 日に 300 L/10 a相当量をブロッコリーに 2 回混用散布した。最終散布 1 日後の 11 月 5 日に約 6 kg (279 g/個)の試料 (処理区試料)を収穫し、分析機関である残留農薬研究所に冷蔵便で速やかに送付した。なお、11 月 6 日に農薬を散布せずに栽培した約 2.5 kgの試料 (無処理区試料)を収穫し、分析機関に送付した。なお、本試験試料は、農薬製剤ラベル表示に準拠しない使用方法で農薬が散布された調査研究用試料である。

2. 分析標準物質

ジノテフラン標準品: 99.8%、富士フイルム和光 純薬株式会社(大阪府)

イミダクロプリド標準品: 99.1%、富士フイルム 和光純薬株式会社(大阪府)

マラソン標準品: 96.4%、富士フイルム和光純薬株式会社(大阪府)

ダイアジノン標準物質: 99.5%、富士フイルム和 光純薬株式会社(大阪府)

フルフェノクスロン標準品: 97.90%、Dr. Ehrenstorfer (Germany)

フルベンジアミド標準品: 99.6%、富士フイルム 和光純薬株式会社 (大阪府) ペルメトリン標準品: 99.73%、Dr. Ehrenstorfer(Germany)

3. 供試試料

作物名:ブロッコリー

分析部位:花蕾 (葉を除去したもの)

4. 残留分析方法

4. 1 試薬及び機器

アセトニトリル、トルエン、メタノール:残留農 薬試験用 (関東化学株式会社、東京都)

メタノール: LC/MS 用 (関東化学株式会社) 酢酸アンモニウム: 特級 (関東化学株式会社)

水: PURELAB Chorus System

(ELGA LabWater、 UK) で精製した水

GCB/NH₂ 積層ミニカラム: ENVI-CARB/LC-NH₂、500 mg/500 mg/6 mL(シグマアルドリッチジャパン合同会社、東京都)

ミキサー:ロボクープ Blixer 5-Plus (株式会社エフ・エム・アイ、東京都)

ホモジナイザー: PT3100D (KINEMATICA AG、

Switzerland)

超音波洗浄機:FU-80C

(アイワ医科工業株式会社、東京都)

液体クロマトグラフ・質量分析計 (LC-MS/MS):

Nexera X2 System (株式会社島津製作所、京都府)、

Triple Quad 4500 (AB Sciex, USA)

データ処理装置: Analyst (AB Sciex)

4.2 機器及び装置の操作条件

4.2.1. 高速液体クロマトグラフの操作条件

カラム: ACQUITY UPLC BEH C18 (Waters Co.、USA)、 内径 2.1 mm、長さ 100 mm、粒径 1.7 μm 溶離液: 5 mmol/L 酢酸アンモニウム/5 mmol/L 酢酸アンモニウム含有メタノール (v/v)、90:10 ー

5.0 min — 5:95 (4 min 保持)

流量: 0.3 mL/min

カラム温度: 40℃

注入量: 5 μL

4.2.2. 質量分析計の操作条件

イオン化法:エレクトロスプレーイオン化法 (ESI) 正モード:ジノテフラン、マラチオン、イミダクロプリド、ダイアジノン、フルフェノクスロン、ペルメトリン

負モード:フルベンジアミド

イオンスプレー電圧: 正モード:5500 V、

負モード: -4500 V イオン化温度:650℃

- 11 25 . Y. H. - N

コリジョンガス:N₂

イオン検出法:MRM 法

MS パラメーターを表 C-2 に示す。

4.3. 標準溶液の調製

4.3.1 標準原液の作成

ジノテフラン、イミダクロプリド、マラチオン、ダイアジノン、フルフェノクスロン、フルベンジアミド及びペルメトリンの分析標準物質 10.0 mg (純度補正値) をそれぞれ 50 mL 容メスフラスコに精秤し、アセトニトリルで定容して 200 mg/L の標準原液を調製した。

4.3.2 検量線用標準溶液及び検量線の作成

イミダクロプリド、マラチオン、ダイアジノン及びフルベンジアミド (溶媒検量線)

4.3.1 項で作成した各標準原液を等量ずつ混合し、アセトニトリルで段階的に希釈して 0.2 mg/L 混合標準溶液を調製し、さらにメタノールで希釈して 0.08 mg/L 混合標準溶液を作成した。この混合標準溶液をメタノール/水 (50:50、 v/v) 混液で希釈して、0.00012、0.0004、0.0008、0.002、0.004及び 0.008 mg/L の混合標準溶液を調製した。これらの混合標準溶液を LC-MS/MS に注入して、データ処理装置を用いてイミダクロプリド、マラチオン、ダイアジノン及びフルベンジアミドのピーク面積を測定し、横軸に濃度、縦軸にピーク面積をとって各検量線を作成した。

2) ジノテフラン、フルフェノクスロン及びペルメ ト

リン (マトリックス検量線)

4.3.1 項で作成した各標準原液を等量ずつ混合し、アセトニトリルで段階的に希釈して 2 mg/L 混合標準溶液を調製した。この混合標準溶液をメタノール/水 (50:50、 v/v) 混液で希釈して、0.0024、

0.008、0.016、0.0.04、0.08 及び 0.16 mg/L の混合標準溶液を調製した。これらの混合標準溶液25 μL と任意の農薬無添加試料の試験溶液475 μLをそれぞれ混合して、0.00012、0.0004、0.0008、0.002、0.004 及び 0.008 mg/L のマトリックス混合標準溶液を調製した。検量線の範囲外となり試験溶液を希釈して測定する場合は、同様に希釈した任意の農薬無添加試料の試験溶液を用いてマトリックス混合標準溶液を調製した。これらのマトリックス混合標準溶液を調製した。これらのマトリックス混合標準溶液をはとこれらのマトリックス混合標準溶液をはでジノテフラン、フルフェノクスロン及びペルメトリンのピーク面積を測定し、横軸に濃度、縦軸にピーク面積をとって各検量線を作成した。

4.4. 分析操作

分析操作は、厚生労働省通知の「LC/MS による 農薬等の一斉試験法I(農産物)」に準拠して実施し た。なお、抽出方法を除き、精製の省略や定量時 の機器条件の変更など一部の方法は改変した。

4.4.1 抽出

均質化試料 (1.00、2.00、5.00、10.0 及び20.0 g) を三角フラスコにはかりとり、アセトニトリル50 mLを加え、ホモジナイザーで1分間磨砕抽出した。抽出物をろ紙を敷いた桐山漏斗で吸引ろ過した。ろ紙上の残渣を三角フラスコに戻し、アセトニトリル20 mLを加え、再度ホモジナイザーで1分間磨砕抽出した。ホモジナイザーのシャフトをアセトニトリル10 mLで洗浄し、抽出物に合わせた。抽出物を同様に吸引ろ過し、ろ液を合わせてアセトニトリルで100 mLに定容した。

4.4.2. GCB/NH₂ 積層ミニカラム精製

試料 0.2 g 相当量となるよう抽出液の一部 $(1\sim 20 \, \text{mL})$ を分取した後、約 $1 \, \text{mL}$ まで減圧濃縮した (抽出液分取量 $1 \, \text{mL}$ は除く)。これら溶液をアセトニトリル/トルエン $(3:1, \, \text{v/v})$ 混液 $10 \, \text{mL}$ で予め前処理した GCB/NH_2 積層ミニカラムに負荷した。続いて、アセトニトリル/トルエン $(3:1, \, \text{v/v})$ 混液 $20 \, \text{mL}$ をミニカラムに負荷した。全ての負荷液を分取した後、減圧濃縮して最後は窒素気流下で溶媒を留去した。

4.4.3. 定量

前項の残留物をメタノール/水 (50:50、 v/v) 混液 5 mL で溶解 (超音波処理) し、その溶液を LC-MS/MS に注入してピーク面積を求め、検量線 を用いて試料中の各分析対象農薬の残留濃度を 算出した。検量線範囲外となる場合は同混液でさ らに希釈した。なお、実験操作中を除き、抽出液 及び試験溶液は冷蔵暗所に保管した。

4.5. 分析法の妥当性評価

各分析対象農薬の定量限界相当濃度 0.01 mg/kg、0.5 mg/kg 及び分析試料の最高検出濃度を超える 5 mg/kg (ジノテフラン、イミダクロプリド、マラチオン、フルフェノクスロン、フルベンジアミド及びペルメトリン) または 15 mg/kg (ダイアジノン) 添加試料による回収率の算出結果 (各添加濃度 5 連で実施)、ならびに市販品の無添加試料の測定結果により、採用する分析法の妥当性を確認した。

5. 試料均質化状態の評価

5.1. 常温での均質化時間の比較

市販品ブロッコリー約 1 kg を蕾と茎に切り分けた。蕾は約 3×3 cm に細切し、茎は縦に 4 分割した後、約 2 cm に細切した。それらをミキサーに移し、常温条件で 0.5、1、2 及び 4 分間均質化した。各均質化時点で、試料の一部をシャーレに分取し、その状態を観察した。

5.2. 凍結粉砕試料の調製

市販品ブロッコリー約1kgを5.1項を同様の方法で蕾と茎に分けて細切した後、冷凍庫に保管して凍結した。ミキサーで固形状ドライアイス500g(試料0.5倍量)を粉砕しパウダー状にし、凍結したブロッコリー試料に加え混合した。添加したドライアイス量は、既報^{7.8}を参考に設定した。続いて、固形状ドライアイス約100gをミキサーで約10秒均質化してミキサー容器を予冷した。ドライアイスを混合した凍結ブロッコリー試料の約半量を予冷したミキサーに入れ、数秒間均質化した。残りの試料をミキサーに入れ、さらに4分間均質化した。凍結粉砕後の試料を2Lビーカーに移し、完全に密閉しない状態で冷凍庫に入れ、

1 晩かけてドライアイスを昇華した。なお、ミキサーの外表面には断熱材を巻き、試料秤取用の器具及びビーカーは予冷したものを使用した。また、凍結したブロッコリー試料 (ドライアイス添加前)、均質化前後の試料、ドライアイス昇華後の試料の温度をそれぞれ測定した。

5.3. 均質化評価用試験篩の目開きの大きさおよび通過手法の比較

5.3.1. 均質化試料の調製

市販のブロッコリー約 1 kg を 5.1 項を同様の方法で蕾と茎に分けて細切した後、常温のミキサーで均質化して、粗大な固形物が残存する『粗粉砕試料』及び固形物が微細な状態である『微粉砕試料』をそれぞれ調製した。また、5.2 項と同様の方法で『凍結粉砕試料』を調製した。

5.3.2. 微粉砕試料及び凍結粉砕試料

5.3.1 項で調製した微粉砕試料または凍結粉砕試料 250 g を目開き 1 mm 篩に負荷し、約 5 分間静置後に篩上の残渣重量を測定した。続いて、ヘラ処理または流水洗浄処理後に残渣重量を測定した。ヘラ処理は、シリコン製のヘラでの加圧により試料を通過させ、処理は 10 分間実施した。流水洗浄処理は、水道の蛇口にゴムホース (内径 12 mm) を接続し、流量 4~5 L/min に調整した水道水で篩上の残渣を洗浄し、篩を通過させた。その際、洗浄時間 1 分間毎に、篩に付着した余分な水分を除去した後の篩上の残渣重量を測定した。通過率が一定に達するまで洗浄を実施し、最長洗浄時間は 10 分間とした。各処理前後での残渣重量から以下の式に従い通過率を算出した。なお、各実験はそれぞれ 2 名の作業者で実施した。

通過率 (%) = (試料負荷重量 - 残渣重量) / 試料負荷重量 × 100

5.3.3. 粗粉砕試料

5.3.1 項で調製した粗粉砕試料 250 g を目開き 1 mm または 2 mm 篩に負荷し、5.3.2 項と同様の方法でヘラ処理または流水洗浄処理を実施して通

過率を算出した。なお、各実験はそれぞれ2名の 作業者で実施した。

6. 各検討に用いる分析用試料の秤取

6.1 分析試料の秤取量の影響

圃場施設で栽培した処理区試料の粗粉砕試料、 微粉砕試料及び凍結粉粉砕試料を均質化直後に それぞれ 2 L ビーカーに充填した。各試料の中層 から、1.00、2.00、5.00、10.0 及び 20.0 g の分析試 料を各 6 点秤取し、それらの農薬濃度を分析した。 分析試料は、秤取ごとにビーカー内の試料をよく 混和した後に操作した。なお、全ての試料はスパーテルを用いて秤取し、凍結粉砕試料秤取時は、 予冷したものを使用した。

6.2 遠心分離後の沈殿物と上澄み液の比較

よく混和した処理区の粗粉砕試料及び微粉砕 試料の中層から、分析試料 20.0 g を各 2 点秤取し、 遠心分離 (10000×g、10 分、20℃) した。

7. 部位別の残留濃度の比較

圃場施設で栽培した処理区試料 1.2 kg を 5.1 項 と同様の方法で蕾と茎に分けて細切し、それぞれ の部位ごとの重量を測定した。各部位ごとにミキサーで 4 分間均質化した後、各均質化試料の中層から、20.0 g の分析試料を各 6 点秤取し、それらの農薬濃度を分析した。

[2] 畜水産物における適切な試料調製方法の提 案と凍結粉砕法の有用性の検証

a (令和4年度)及びb (令和5年度)

1. 食品

牛の筋肉、牛の脂肪、牛の肝臓、豚の筋肉、豚の脂肪、鶏の筋肉、あゆ、えび、うなぎ及びさけを用いた。

2. 冷却剤

液化炭酸ガス(純度>99.5 vol%)及び液体窒素 (純度>99.99%)は鈴木商館から購入した。ドラ イアイスは、液化炭酸ガスボンベ(サイホン付) にドライアイス製造装置(アイスティーサイエン ス製)を接続し、用時調製した。

3. 装置

粉砕機は Robot Coupe BLIXER-3D (エフ・エム・アイ製: 回転数 3000 rpm、容器容量 3.7 L)を用いた。なお、Robot Coupe BLIXER-3D に付属しているプラスチック製の蓋スクレーパーアーム Assy 及びハンドルは、硬い試料を粉砕すると破損することがあるため、使用しなかった。試料温度の測定は、精密型デジタル温度計 SK-810PT (佐藤計量器製作所製) に低温センサS810PT-30を接続して使用した。

4. 試料調製

検体約 500 g を約 2.5 cm 角にカットし、常温磨砕法 (A) 及び凍結粉砕法 (B \sim D) の各方法で試料調製した。

A. 常温磨砕法

カットした検体約 $500 \, \mathrm{g} \, を全量、粉砕機に入れ、$ $120 \, 秒間磨砕した。$

B. 凍結粉砕法 (液体窒素・凍結方式)

- ①ステンレスビーカーに液体窒素を約2L入れ、カットした検体約500gを加えた。
- ②①の液体窒素が 500 mL 程度となったら、液体 窒素をさらに約 2 L 加え、合計 4 分間冷却した。
- ③液体窒素約 100 mL を粉砕機に入れ、約 5 秒間 運転し、粉砕機を冷却した。
- ④②で得られた凍結試料の約半量を粉砕機に入れ、10秒間粉砕した。
- ⑤残りの凍結試料を粉砕機に加え、さらに 110 秒 間粉砕した。

C. 凍結粉砕法 (ドライアイス・予冷方式)

- ①カットした検体約500g及び検体重量の1.1倍量のドライアイス(約550g)を予冷用容器(プラスチック製)に入れ、蓋を被せ(密閉せずに)、3分間予冷した。なお、予冷容器に入れる際は、予冷に用いるドライアイスの約半量を入れた後、検体を加え、その上に残り半量のドライアイスを加えた。また、予冷中は、約30秒毎に5秒間程度、容器を振り、よく混合した。
- ②粉砕機にドライアイス 100 g (粉砕機冷却用) を入れ、約5秒間運転し、粉砕機を冷却した。
- ③①で得られたドライアイス混合試料の約半量を粉砕機に入れ、10秒間粉砕した。

④残りのドライアイス混合試料を粉砕機に加え、 さらに 110 秒間粉砕した。

D. 凍結粉砕法 (ドライアイス・予備凍結方式)

- ① カットした検体約 500 g をフリーザーバッグに入れた。これを冷凍庫 $(-30^{\circ}C)$ で一晩静置し、凍結した。
- ②粉砕機にドライアイス 100 g (粉砕機冷却用) を入れ、約5秒間運転し、粉砕機を冷却した。
- ③①で得られた凍結試料の約半量を粉砕機に入れ、10秒間粉砕した。
- ④残りの凍結試料及び検体重量の 0.5 倍量のドライアイス (約 250 g) を加え、110 秒間粉砕した。

c 令和6年度

1. 試料

牛の筋肉(オーストラリア産)、牛の肝臓(国産) 及び豚の肝臓(国産)はインターネットを介して 購入した。

2. 試薬及び試液

(1) 有機溶媒及び試薬

アセトニトリル、ヘキサンは関東化学製の残留農薬試験用、水、メタノール及びアセトニトリル (LC-MS/MS 測定用) は関東化学製の LC/MS 用を用いた。無水硫酸ナトリウムは富士フイルム和 光純薬製の残留農薬試験用、酢酸は富士フイルム 和光純薬製の特級を用いた。

(2) 固相ミニカラム

固相ミニカラムは、オクタデシルシリル化シリカゲル (ODS) ミニカラム Smart-SPE C18-50 (充填剤量 50 mg) 及び Smart-SPE C18-30 (充填剤量 30 mg) (いずれもアイスティサイエンス製) を用いた。

3. 装置

磨砕装置は Robot Coupe BLIXER-3D (エフ・エム・アイ製) を用いた。ホモジナイザーは Polytron PT 10-35 GT (Kinematica 製) を用いた。振とう機は SR-2DW (タイテック製)、遠心分離機はフロア型冷却遠心機 S700FR (久保田商事製) を使用した。自動前処理装置は残留農薬分析用自動

前処理装置 ST-L400 (アイスティサイエンス製) を使用した。

LC-MS/MS は Nexera X3 (島津製作所製) 及び Triple Quad 7500 (Sciex 製) を使用した。データ解析は Sciex OS (Sciex 製) を用いて行った。

4. 測定条件

(1) MS 条件

イオン化法 ESI (+) 及び ESI (-); イオンスプレー電圧 2000 V; ヒーター温度 450°C(300°C);カーテンガス N_2 、35 psi; ネブライザーガス ドライエアー、70 psi; ターボガスドライエアー、80 psi; コリジョンガス N_2 、7

(2) LC 条件

カラム Inertsustain AQ-C18 (内径 2.1 mm、長さ $100 \, \text{mm}$ 、粒子径 $1.9 \, \mu \text{m}$ 、ジーエルサイエンス製); カラム温度 40°C ; 注入量 $2 \, \mu \text{L}$; 移動相 0.1%gis ギ酸(A 液)及び 0.1%ギ酸・アセトニトリル溶液(B 液); 流速 $0.3 \, \text{mL/min}$; グラジエント条件 $0 \, \text{分}$ (A:B=98:2) \rightarrow 15 分(A:B=30:70) \rightarrow 15.01 分(A:B=5:95) \rightarrow 20 分(A:B=5:95) \rightarrow 20 分(A:B=5:95)

5. 試験溶液の調製

(1) 抽出

抽出は、通知一斉試験法「LC/MS による動物用 医薬品等の一斉試験法I(畜水産物)」に従って以 下のように行った。

試料10.0gに n-ヘキサン飽和アセトニトリル50 mL、n-ヘキサン50 mL 及び酢酸1 mL を加え、約1 分間ホモジナイズした後、無水硫酸ナトリウム20gを加えてさらに約1分間ホモジナイズした。毎分3、000回転で5分間遠心分離した後、n-ヘキサン層を捨て、アセトニトリル層を採った。残留物にアセトニトリル50 mL を加えて約1分間ホモジナイズし、上記と同様に遠心分離した。アセトニトリル層を採り、先のアセトニトリル層と合わせ、アセトニトリルを加えて正確に100mL(抽出液)とした。抽出液をバイアルに入れ、自動前処理装置にセットした。

(2) 自動前処理装置を用いた精製

精製は分担課題 2「公示試験法の精製操作の簡便化・迅速化及び自動化に向けた検討」で開発した自動前処理装置を用いた方法で行った。(ただし、2 段目の C_{18} ミニカラムは充填剤量 30 mg のものを用いた。)

 C_{18} (50 mg) ミニカラムの下に C_{18} (30 mg) ミニカラムをノズルを挟んで連結し、アセトニトリル 1 mL でコンディショニングした。次に、ノズルから水 0.2 mL を注入しながら、アセトニトリル/水 (9:1) 1 mL でコンディショニングした。この連結カラムに抽出液 2 mL を負荷した。このとき、ノズルから水 0.4 mL を注入し、一段目のミニカラムからの溶出液を希釈して二段目のミニカラムに負荷した。ノズルから水 0.2 mL を注入しながら、アセトニトリル/水 (9:1) 0.5 mL を注入し、一段目のミニカラムに負荷し、溶出した。得られた溶出液を 0.1 vol%ギ酸で 4 mL に定容し、試験溶液とした。感度が十分得られる場合は 10 倍希釈して測定を行った。

6. 農薬等の添加後放置時間の回収率への影響の 検討

牛の筋肉、牛の肝臓及び豚の肝臓の常温磨砕試料を用いて、農薬等の添加後放置時間の回収率への影響を以下のように検討した。検討対象は表C-6に示した65化合物とした。

牛の筋肉、牛の肝臓及び豚の肝臓の各検体 500 g を 2 分間常温磨砕法により均質化した。得られた 試料 10.0 g を量り採り (3 個)、標準溶液 1 μg/mL を 1 mL 添加した。これを室温で 0、15、30 及び 60 分放置後、「5. 試験溶液の調製」に従って分析 を行った。定量はマトリックス検量線法により行った。

7. 試料温度の回収率への影響の検討

常温試料における回収率は、「6. 農薬等の添加 後放置時間の回収率への影響の検討」で得られた 放置時間30分の結果を用いた。

凍結試料における回収率は次のように求めた。牛の筋肉、牛の肝臓及び豚の肝臓の各検体 500g(約100gを5個)を粉砕機に入れ、ドライアイス 300

g を加えて直ちに 10 秒間粉砕した。これに、さらにドライアイス 300 g を加えて直ちに 10 秒間粉砕した。その後、さらにドライアイス 150 g を加えて直ちに 100 秒間粉砕した。(ドライアイスの合計使用量は検体重量の約 1.5 倍量(約 750 g)、粉砕時間は合計 2 分間)得られた試料を PP 容器(250 mL 容)に入れ、蓋を緩めた状態で冷凍庫に入れて一晩静置し、ドライアイスを気化させた。試料 10.0 g を量り採り(3 個)、標準溶液 1 μ g/mLを 1 mL 添加した。これを冷凍庫で 30 分間放置後、「5. 試験溶液の調製」に従って分析を行った。定量はマトリックス検量線法により行った。

8. 試料調製方法による回収率への影響の検討

(1) 凍結粉砕法

粉砕機の容器に検体を正確に 500 g(約 100 gを 5個程度)になるように量り入れた。検体に混合標準溶液(0.05 mg/mL)を 1 mL 及び Cefapirin 標準溶液(0.1 mg/mL)0.5 mL を添加後、ドライアイス300 g を加えて直ちに 10 秒間粉砕した。これに、さらにドライアイス 300 g を加えて直ちに 10 秒間粉砕した。その後、さらにドライアイス 150 gを加えて直ちに 100 秒間粉砕した。(ドライアイスの合計使用量は検体重量の約 1.5 倍量(約 750 g)、粉砕時間は合計 2 分間)得られた試料を PP 容器(250 mL 容)に入れ、蓋を緩めた状態で冷凍庫に入れ一晩静置し、ドライアイスを気化させた。試料 10.0 g を量り採り(5個)、「5. 試験溶液の調製」に従って分析を行った。なお、定量はマトリックス検量線法により行った。

(2) 常温磨砕法

粉砕機の容器に検体を正確に 500 g(約 100 g を 5 個程度)になるように量り入れた。検体に混合標準溶液(0.05 mg/mL)を 1 mL 及び Cefapirin 標準溶液(0.1 mg/mL)0.5 mL を添加後、2 分間常温磨砕法により均質化した。得られた試料 10.0 g を量り採り(5 個)、「5. 試験溶液の調製」に従って分析を行った。なお、農薬等を添加後、抽出溶媒を加えるまでの時間は 30 分であった。なお、定量はマトリックス検量線法により行った。

C. 研究結果及び考察

[1] 農産物を対象とした試料の均質性が分析結果に与える影響の評価と均質性評価指標の提案

a 令和 4 年度

1. 圃場試験の概要

高知県で施設栽培されたトマトに6種農薬製剤 (分析対象物質7種) を2回混用散布した後、1 日後に採取し、供試試料とした。試料受領時に撮 影した作物写真を図A-1に示す。供試試料の平均 個体重量は160gであり、栽培地域の農業慣行に 従った適切な作物試料であった。

2. 分析法の妥当性評価

2.1 検量線の直線性

各分析対象農薬の妥当性確認時に作成した検 量線の直線性は、相関係数 0.99 以上と良好であっ た。

2.2 選択性

市販品の無添加試料および無処理区試料における各分析対象農薬の分析結果は、全て定量限界未満であった。クロマトグラム上の各分析対象農薬の保持時間に定量限界相当量の 30%を超える妨害ピークは認められなかった。よって、当該分析法の選択性に問題は認められなかった。

2.3 回収率

回収率の算出結果を表 A-5 に示す。各分析対象 農薬を 0.01 mg/kg 添加した試料での平均回収率は、 87~102%であり、その併行相対標準偏差(RSDr)は 5%以下であった。 0.5 mg/kg 添加試料での平均 回収率は、88~104%であり、RSDr は 8%以下であった。1 mg/kg 添加試料での平均回収率は、97~ 105%であり、RSDr は 4%以下であった。以上のように、全ての添加濃度においてどの分析対象農薬 も規定の範囲内の結果であった。

3. 試料均質化状態の評価

3.1. 均質化時間の比較

ミキサーの稼働時間別のトマト均質化状態を図 A-2 に示す。均質化時間が長くなるにつれ、固形物 (果肉、果皮および種子) が微細になることを確認した。4 分間均質化した試料では、大きな固形物が見られず、十分に均質化された試料

(微粉砕試料) であると判断した。また、目視で明らかな固形物が確認できる 0.5 分間均質化した試料を不適切試料 (粗粉砕試料) とした。

3.2. 均質化評価用試験篩の比較

目開き 2 mm 篩における粗粉砕試料の通過率は 89 および 92%であり、粗大固形物を含む多くの均質化試料が篩を通過した (図 A-3)。一方、目開き 1 mm 篩での通過率は 77 および 80%であり、均質化が不十な固形物は篩を通過しなかった。したがって、試料中の固形物が、十分微細に均質化されているか評価するためには、参考規定 1、2) で示される目開き 1 mm 篩の使用が適切であると考えられる。

3.3. 篩通過手法の比較

へラ処理および流水洗浄処理時の様子を図 A-4、 篩通過時における均質化試料および篩上の試料 状態を図 A-5 および図 A-6 に示す。また、ヘラ処 理および流水洗浄処理時における目開き 1 mm 篩 の通過率を図 A-7 に示す。

へラ処理の前後どちらの時点でも、残渣重量評価および通過物重量評価による通過率の差は、均質化の程度に関わらず 2%以下であった。したがって、篩上に残った残渣の重量および篩を通過した試料の重量どちらを通過率の評価に用いても大きな差異がないことを確認した。以降では、流水洗浄処理に合わせて、残渣重量で評価した通過率を比較した。

へラ処理後の通過率は、粗粉砕試料で 63%、微粉砕試料で 95%となった。流水洗浄処理時の通過率は、洗浄時間が長くなるに従い増加し、粗粉砕試料で 5 分間、微粉砕試料で 4 分間の洗浄で凡そ一定となった。それらの時点での微粉砕試料および粗粉砕試料の通過率は、それぞれ 69%および99%であった。処理方法に関わらず微粉砕試料および粗粉砕試料における通過率は同程度となり、十分に均質化した試料は目開き 1 mm 篩を 90%以上通過させることが可能であった。また、均質化の状態に関わらず流水洗浄処理ではヘラ処理よりも通過率が高くなった。これは、ヘラ処理で篩を通過できなかった網目に付着した残渣や粗大

固形物に付着した微細な残渣を、流水洗浄処理では洗い流せることに起因すると考えられる (図 A-5-C、D および図 A-6)。

4. 試料秤取量の影響

異なる重量の試料を秤取した際の各農薬の平 均濃度は、微粉砕試料および粗粉砕試料において、 ジノテフランで 0.200~0.209 および 0.187~0.194 mg/kg、マラチオンで 0.159~0.169 および 0.091~ 0.130 mg/kg、テブコナゾールで 0.178~0.213 およ び 0.145~0.199 mg/kg、フルベンジアミドで 0.152 ~ 0.167 および $0.152 \sim 0.174 \,\text{mg/kg}$ 、ブプロフェジ ンで 0.288~0.331 および 0.271~0.322 mg/kg、フ ェンピロキシメートで 0.052~0.067 および 0.051 ~0.058 mg/kg、ペルメトリンで 0.146~0.203 およ び 0.137~0.157 mg/kg であった。微粉砕試料およ び粗粉砕試料における対応する試料秤取量ごと の各農薬の分析値 (n=6) を Mann-Whitney の U 検定により解析すると、試料秤取量20gでは異な る母集団とみなされる農薬数は2農薬であったが、 秤取重量の減少に伴いその数は増加し、2g秤取 時では6農薬となった (表 A-6)。試料秤取量1g では該当する農薬は3農薬となったが、試料の秤 取重量を少量化するほど、均質化の程度が分析値 に与える影響が有意に増大することが示唆され た。

同一散布条件での農作物中の各農薬の残留レベルは、散布液中の農薬濃度に依存するため、各農薬の分析値をそのまま総合解析は困難である³)。また、試料量の少量化は、分析値の真度のズレや精度の低下を招くことが知られている⁴⁵。そこで、試料秤取量の影響を横断的に評価するために、微粉砕試料および粗粉砕試料における試料 20g秤取時の平均濃度に対する各農薬および全農薬での平均相対濃度を図 A-8に示す。フルベンジアミドを除き、同一の試料秤取量における平均相対濃度は、粗粉砕試料の方が微粉砕試料よりも低い傾向を示した。特に、マラチオンおよびテブコナゾールではこの傾向が顕著であり、マラチオンでは最大 1.8 倍、テブコナゾールでは最大 1.2 倍の差が生じた。同様の微粉砕試料よりも粗粉砕試料

で分析値が低くなる傾向は、全農薬の相対濃度に おいても確認された。微粉砕試料および粗粉砕試 料における各農薬の分析値の変動 (RSD 値) を 図 A-9 に示す。 ジノテフランおよびフルベンジア ミドを除き、試料秤取量が同一である場合は、微 粉砕試料よりも粗粉砕試料でその値が大きくな る傾向が見られた。つまり、均質化が不十分な場 合は、試料中で農薬が偏在化しており、秤取する 試料部位によって分析値に変動が生じる危険性 を内包することが示唆させた。この傾向は、個別 の農薬での分析値変動の総平均においても確認 されている (図 A-10)。一方で、個別農薬の結果 では検体の秤取量の差異による分析値変動への 影響は不明瞭であった。そこで、それぞれの農薬 の特性に関わらない包括的な変動評価を実施す るために、各農薬の試料20g秤取時の分析値で補 正した相対濃度の全薬での変動を算出した(図 A-11)。相対濃度の変動は、微粉砕試料および粗粉 砕試料の両試料とも試料の秤取量を少量化する ほど増大する傾向が確認され、その程度は粗粉砕 試料の方が微粉砕試料よりも大きくなった。試料 の秤取量を、微粉砕試料では2g以下、粗粉砕試 料では10g以下にした際に、全分析対象農薬での 相対濃度の変動は顕著に増加した。

試料 20 g 秤取時の平均固形物含有率で補正した際の各秤取量における平均相対値を図 A-12 に示す。粗粉砕試料での 20 g および 10 g 試料のうちそれぞれ1点において容器破損に伴い秤取試料の外部への流出が確認されたため、それら試料は解析から除外し、残り5点の分析値で結果を取り纏めた。それぞれの試料秤取量における平均相対値は、微粉砕試料よりも粗粉砕試料で低くなる傾向が見られた。これは、粗粉砕試料の秤取試料における均質化が不十分な果肉などの粗大固形物が水分を含有するため、秤取した検体重量に対する水分の割合が多くなることに起因すると考えられる。微粉砕試料よりも粗粉砕試料で相対値が低くなる傾向は、固形物含有率と農薬濃度の分析値で類似していた。

5. 試料静置の影響

微粉砕試料および粗粉砕試料を1時間静置した後に、異なる三層から秤取した試料中の濃度を均質化直後の20g秤取試料中濃度で補正した相対濃度を図A-13、同時点における異なる三層間の平均分析値の変動を図A-14、均質化直後における20g秤取試料中の固形物含有率で補正した各層での相対値を図A-15に示す。

均質化の程度に関わらず、ジノテフランの相対 濃度は、上層、中層および下層で凡そ同程度とな り、三層間の分析値の変動も 3%以下と顕著に低 かった。よって、ジノテフランは静置後も均質化 試料中に概ね均一に分布していることが確認さ れた。しかし、その他の農薬は、下層<中層<上 層の順に相対濃度が高くなった。また、それぞれ の農薬の相対濃度は、下層では均質化の程度に関 わらず同程度であったが、上層と中層では微粉砕 試料よりも粗粉砕試料で低くなった。これらの影 響により異なる三層における各農薬の分析値変 動は微粉砕試料よりも粗粉砕試料で小さくなっ た。さらに、どの農薬でも同一の層から秤取した 検体 2 点の分析値の差は、均質化の程度に関わら ず顕著な差は見られなかった。つまり、秤取する 層による相対濃度が異なる場合でも、各層内の農 薬濃度は凡そ均一であることが示唆された。

固形物含有率の相対値は、下層<中層<上層の 順で高くなり、上層および中層の相対値は微粉砕 試料よりも粗粉砕試料で低くなった。これらの傾 向は、微粉砕試料および粗粉砕試料中の各層にお けるジノテフランを除く各農薬の相対濃度分布 と合致していることから、固形物の均質化試料内 での偏在化が分析値の変動に影響を与えている ことが示唆された。さらに、静置後における均質 化試料の分離の様子を確認すると粗粉砕試料で は下層に液体が沈降した層がわずかにみられる 程度であったが、微粉砕試料では明らかに下層に 液層が厚く形成されていた (図 A-16)。このこと は、先にも述べたように粗粉砕試料では粗大固形 物が水分を含有していると考えられるため、微粉 砕試料よりも均質化試料中の液体画分が少なく、 下層に形成される液層が薄くなったと推察され る。以上のことから、粗粉砕試料では水分が粗大 固形物中に含有され、固形物と液体画分の割合の 差が小さく、それら画分の上層、中層および下層 への分離が微粉砕試料よりも緩慢であったため、 異なる三層間での農薬分析値の差も小さくなっ たと考えられる。

6. 遠心分離後の沈殿物と上澄み液の比較

よく混和した微粉砕試料および粗粉砕試料の 中層から秤取した検体より遠心分離して得た沈 殿と上澄み液中の各農薬の存在率を図 A-17 に示 す。微粉砕試料および粗粉砕試料の沈殿と上澄み 液の重量比は、それぞれ 21:79 および 32:68 であ り、粗粉砕試料で沈殿画分が多くなった。これは、 粗粉砕試料の沈殿画分中における粗大な固形物 が水分を内包しているため、微粉砕試料に比べて 液相が少ないことに起因すると考えられる。しか し、各農薬の沈殿および上澄み液への存在率は、 均質化の程度によらず概ね同程度であった。ジノ テフランの存在率は、両画分の重量比と類似して おり、上澄み液と沈殿に凡そ均等に分布している ことを確認した。その他の農薬は沈殿への存在率 が上澄み液よりも高くなり、ブプロフェジンを除 き、農薬の極性が低くなるほど沈殿への存在率が 増加する傾向が確認された。粉砕試料および粗粉 砕試料におけるブプロフェジンを除く各農薬の n-オクタノール/水分配係数 ($\log P_{OW}$) と沈殿 中の存在率の間には、強い正の相関が確認された (図 A-18)。 したがって、ジノテフランのような 顕著に極性の高い農薬を除き、農薬は液相よりも 固形物へ分布することを確認した。5項において、 静置後の均質化試料でジノテフランを除く農薬 の相対濃度が、固形物含有率が高い上層で高くな り、固形物含有率が低く水分が多い下層で低くな ったことは、固形物へ農薬が偏在化する性質に由 来することが示唆された。この調査結果は、ブド ウにおける調査結果と同様であった⁶。

7. 篩分別後の残渣と通過物の比較

粗粉砕試料を目開き 1 mm の試験篩に通過させた後の篩上残渣および通過物中における各農薬の存在率を図 A-19 に、両画分での分析値の変動

を図 A-20 に示す。篩通過後の残渣および通過物 の重量比は37:63となり、篩上の残渣には粗大な 固形物が、通過物には水分に加えて篩を通過した 微細な固形物が含まれていた。ジノテフランは、 両画分の重量比と類似した存在率を示した。つま り、残渣と通過物に凡そ均等に分布していた。分 画した試料中にジノテフランが均一に分布する 傾向は、遠心分離後の沈殿と上澄み液への存在率 からも確認されている。その他の農薬は、残渣に 43~62%が分布していた。遠心分離による分別後 の農薬分布の傾向と異なり、農薬の極性が低くな るほど、固形物を多く含む篩上の残渣への存在率 増加は見られなかった。各農薬における分析値の 変動は、通過物よりも残渣で大きくなった。特に、 ジノテフランを除く農薬での残渣における分析 値変動は、顕著に大きくなった。残渣では水分量 が少ないため、試料内で農薬が均一に広がらず、 秤取した検体への不均一な農薬の取り込みが変 動に影響を与えた要因だと考えられる。

供試トマト試料は農薬を茎葉散布して、最終散布1日後に収穫したことから、残留農薬は主に果皮上に分布していると考えられるので、多くの農薬は液相よりも果皮を含む沈殿相に分布したものと推察された。一方、ジノテフランのような極性農薬は、水溶性が高いため、均質化工程で試料中の水分に可溶して均質化試料全体に分布したと考えられた。そして、篩と遠心分離で分別した際の分布傾向の違いから、トマトの果皮は、弾性を有する果肉と同程度に微細化され、篩上の堆積物と通過物での存在比に差異が無かったものと推察された。

b 令和 5 年度

1.1. 圃場試験の概要

高知県で施設栽培されたほうれんそうに7種の 農薬製剤を2回混用散布した後、最終散布1日後 に採取した茎葉を供試試料とした。試料受領時に 撮影した作物写真を図B-1に示す。供試試料の平 均個体重量は約35gであり、栽培地域の農業慣行 に従った適切な作物試料であった。

1.2. 分析法の妥当性評価

1.2.1 検量線の直線性

各分析対象農薬の妥当性確認時に作成した検 量線の直線性は、相関係数 0.99 以上と良好であっ た。

1.2.2 選択性

市販品の無添加試料における各分析対象農薬の分析結果は、全て定量限界未満であった。クロマトグラム上の各分析対象農薬の保持時間に定量限界相当量の30%を超える妨害ピークは認められなかった。よって、当該分析法の選択性に問題は認められなかった。

1.2.3 回収率

回収率の算出結果を表 B-3 に示す。市販品の微 粉砕試料を用いた各分析対象農薬を 0.01 mg/kg 添 加した試料での平均回収率は、84~104%であり、 その併行相対標準偏差 (RSDr) は 8%以下であっ た。0.5 mg/kg 添加試料での平均回収率は、89~ 110%であり、RSDr は 5%以下であった。ジノテフ ラン、イミダクロプリド、マラチオン、フルフェ ノクスロン、フェンピロキシメートおよびペルメ トリンの 15 mg/kg 添加試料での平均回収率は、88 ~109%であり、RSDr は 7%以下であった。ダイア ジノンの 50 mg/kg 添加試料での平均回収率は、 102%であり、RSDr は 1%であった。さらに、無処 理区の粗粉砕試料を用いた 0.5 mg/kg 添加試料で の平均回収率は、90~105%であり、その RSDr は 5%以下であった。以上のように、全ての添加濃度 においてどの分析対象農薬も規定の範囲内の結 果であった。また、0.5 mg/kg 添加濃度において、 試料の均質化状態が、添加回収率の算出結果に影 響しないことを確認した。なお、マトリックス効 果が $-19\sim-32\%$ 認められたジノテフラン、フル フェノクスロンおよびペルメトリンについては、 マトリックス検量線を採用した (表 B-4)。

1.3. 試料均質化状態の評価

1.3.1. 均質化時間および均質化温度の比較

常温でのミキサー稼働時間別のほうれんそう 均質化状態を図 B-2 に示す。均質化時間が長くな るに伴い固形物が微細になり、繊維質が多い茎よ り比較的柔らかい葉の方が微細になりやすいことを確認した。これら観察結果から、1分間均質化した試料を目視で明らかな粗大な固形物が確認できる『粗粉砕試料』とした。また、4分間均質化した試料を大きな固形物が見られず、弊所の通常分析と同程度の微細状態に均質化されていると判断し、これを『微粉砕試料』とした。

凍結粉砕した試料の解凍時における状態を図B-3に示す。ドライアイス共存下でミキサー均質化した『凍結粉砕試料』は、常温状態のミキサーで4分間均質化した微粉砕試料と同様に大きな固形物が見られず、試料が微細な状態まで均質化されていることを確認した。また、試料温度は、均質化前の細切した凍結状態で−19.3℃であった。その後、ドライアイスの添加により温度計の計測可能下限温度である−50℃まで低下し、ミキサーでの均質化後の試料温度も変わらず−50℃であった。その後、冷凍庫内でのドライアイス昇華後では−24.0℃まで上昇した。均質化後の試料は−50℃と十分に低温に保たれており、パウダー状態であったことから、ドライアイスの添加量は適切であったと考えられる。

1.3.2. 均質化評価用試験篩の目開きおよび通過手 法の比較

ヘラ処理および流水洗浄処理による篩通過時 の様子を図 B-4、ヘラ処理および流水洗浄処理後 における篩上試料の状態を図 B-5、各均質化試料 のヘラ処理および流水洗浄処理における目開き 1 mm または 2 mm 篩の通過率を図 B-6 に示す。へ ラ処理後における平均通過率 (各作業者での値) は、粗粉砕試料の1mm 篩で16%(12または20%)、 2 mm 篩で 56% (52 または 59%)、微粉砕試料の 1 mm 篩で 56% (42 または 71%)、凍結粉砕試料の 1 mm 篩で 84% (80 または 89%) であった。流水洗 浄処理における通過率は、粗粉砕試料を 2 mm 篩、 微粉砕試料および凍結粉砕試料を 1 mm 篩に負荷 した場合、洗浄時間が長くなるに従い増加し、最 終洗浄時間での平均通過率は、それぞれ 84% (81 または87%)、94%(94または95%) および97%(両 者とも 97%) となった。一方で、粗粉砕試料の 1 mm 篩負荷時では、洗浄時間 4 分間まで篩への試 料負荷重量よりも残渣重量が大きくなったため 通過率は負の値を示した。これは、篩の網目に粗 大な固形物が目詰まりした状態で流水による洗 浄を実施したことで、水が篩上に保持され残渣重 量が増加したことに起因すると考えられる。この 現象は粗粉砕試料の 1 mm 篩負荷時のみで生じて いることから、篩の目開きが2mmと大きい場合 や試料が微細に均質化されている場合には生じ ないと考えられる。洗浄4分以降で通過率は増加 していき、最終的に洗浄時間 10 分間での平均通 過率は 17% (16 または 18%) となった。さらに、 試験圃場で栽培されたほうれんそう試料につい ても各均質化試料の流水洗浄処理を用いた篩通 過率を1連で確認した。粗粉砕試料、微粉砕試料 および凍結粉砕試料の1mm 篩負荷時における通 過率は、最終洗浄時間でそれぞれ 22%、98%およ び98%となり、市販品を用いた際と同程度の通過 率であった。これら結果から、流水洗浄処理では 使用する作物試料に関わらず、試料の均質化状態 を評価可能であることが確認された。

ヘラ処理と流水洗浄処理の各篩通過手法を比較 すると、粗粉砕試料の2mm 篩および微粉砕試料 の 1 mm 篩における平均通過率は、ヘラ処理より も流水洗浄処理で 28%以上高くなった。これは、 ヘラ処理で篩を通過できなかった篩の網目への 付着物や粗大な固形物に付着した微細な残渣が、 流水洗浄処理では洗い流せることに起因すると 考えられた (図 B-5)。 凍結粉砕試料の 1 mm 篩負 荷時における平均通過率は、ヘラ処理よりも流水 洗浄処理で13%高くなり、上記の条件での結果と 同様の傾向を示した。しかしながら、粗粉砕試料 の 1 mm 篩負荷時での通過手法による平均通過率 の差は 1%とわずかであった。負荷試料が粗大か つ篩の目開きが細かい場合は、篩の網目の目詰ま りにより流水洗浄処理時においても微細残渣の 通過が阻害されている可能性が考えられた。また、 作業者間での通過率の差は、微粉砕試料を 1 mm 篩に負荷してヘラ処理した際が最も大きく作業 者間で29%も差異が生じた。ヘラ処理では、作業

者のヘラでの加圧具合によって通過率が大きく 異なることが確認された。一方で、定速の流水に より試料を篩に通過させる流水洗浄処理では、作 業者による通過率の差はいずれの条件でも 6%以 下と小さくなった。

以上の結果から、ヘラ処理よりも流水洗浄処理の方が、本来、篩に残らない微細な残渣を正確に通過可能であり、異なる作業者間での再現性が高いことから、均質化試料の通過率評価方法として適切であると考えられた。さらに、流水洗浄処理での1mm 篩における平均通過率は微粉砕試料で94%、凍結粉砕試料で97%であることから、微細に均質化された試料は参考規定1、2)で示される目開き1mm 篩を90%以上通過可能であった。また、均質化の程度が異なる試料が調製できたことが確認された。

1.4. 分析試料秤取量の影響

異なる重量 (1~20 g) で分析試料を秤取した際の各農薬の平均濃度を表 B-5 に示す。平均濃度は、粗粉砕、微粉砕および凍結粉砕試料において、ジノテフランで 5.53~5.62、6.00~6.40 および 5.78~6.20 mg/kg、イミダクロプリドで3.76~3.82、3.93~4.23 および 3.82~4.03 mg/kg、マラチオンで 1.77~1.83、2.06~2.21 および 2.26~2.52 mg/kg、ダイアジノンで 14.28~14.77、15.20~15.81 および 14.81~15.58 mg/kg、フルフェノクスロンで 2.16~2.44、2.49~2.63 および 2.61~2.70 mg/kg、フェンピロキシメートで 3.01~3.10、3.06~3.24 および 3.07~3.18 mg/kg、ペルメトリンで 3.97~4.92、4.80~5.30 および 4.81~5.04 mg/kg であった。

同一散布条件での農作物中の各農薬の残留レベルは、散布液中の農薬濃度に依存するため、各農薬の分析値をそのまま総合解析は困難である³⁾。また、分析試料量の少量化は、分析値の真度のズレや精度の低下を招くことが知られている^{5、6)}。そこで、分析試料秤取量の影響を横断的に評価するために、微粉砕試料および粗粉砕試料における20g秤取時の平均濃度に対する各農薬および全農薬での平均相対濃度を図B-7に示す。

微粉砕試料および凍結粉砕試料における平均 相対濃度は、マラチオンを除き分析試料の秤取重 量に関わらず概ね同程度であった。一方で、粗粉 砕試料の平均相対濃度は、これら試料よりも低い 傾向を示した。粗大な固形物が残る粗粉砕試料で 相対濃度が低くなる傾向は、昨年度に実施したト マトでの分析結果とも一致する。マラチオンにお ける平均相対濃度は、粗粉砕試料<微粉砕試料< 凍結粉砕試料の順で大きくなる傾向を示し、他の 農薬と異なる傾向であった。さらに、全農薬で評 価した際の平均相対濃度は、微粉砕試料および凍 結粉砕試料で概ね同程度であり、粗粉砕試料で低 くなる傾向を示した。次に、粗粉砕試料、微粉砕 試料および凍結粉砕試料における各農薬の分析 値の変動 (RSD 値) を図 B-8 に示す。ペルメトリ ン以外の農薬における RSD 値は、微粉砕試料お よび凍結粉砕試料では分析試料の秤取量に関わ らず5%以下と小さかった。粗粉砕試料では、分析 試料を1または2g秤取した場合に、RSD値が5% を超える農薬が見られた。一方で、ペルメトリン は、均質化の程度に関わらず、いずれの秤取量に おいても RSD 値が大きく、粗粉砕試料および凍 結粉砕試料では全ての秤取重量で 5%以上となっ た。さらに、それぞれの農薬の特性に関わらない 包括的な変動評価を実施するために、各農薬の微 粉砕試料および粗粉砕試料における 20g 秤取時 の分析値で補正した相対濃度の全薬での変動を 算出した (図 B-9)。凍結粉砕法により調製した試 料は、常温で均質化した試料と比較して均質性が 高くなり、分析値の変動が小さくなるとの報告が ある。しかしながら、本研究では全ての秤取量に おいて、凍結粉砕試料の RSD 値が最も大きくな り、試料均質性の向上は認められなかった。この 原因の一つとしては、マラチオンでの相対濃度が 明らかに大きかったことが影響したと考えられ た。また、凍結粉粉砕法は、トマトやぶどうのよ うな微細な均質化が困難で農薬の残留性が高い 果皮を有する作物への適応時において均質性向 上が期待される。一方で、ほうれんそうのような 植物体の大部分が比較的柔らかい葉で構成され る葉菜類では常温での均質化で十分に微細な試料が得られ、さらに固形物と液体への明確な分離が生じにくいため均質性の向上効果が明確に認められなかったと考えられる。

1.5. 試料静置の影響

粗粉砕試料および微粉砕試料を1時間静置した 後に上層、中層および下層から秤取した試料中の 固形物含有率を図 B-10、静置後の各均質化試料の 状態を図 B-11 に示す。 固形物含有率は、下層<中 層<上層の順で高くなり、下層と上層間での差は 粗粉砕試料よりも微粉砕試料で大きくなった。ま た、静置後の均質化試料では、下層に濃い緑色の 液相が薄く形成され、液相は粗粉砕試料よりも微 粉砕試料で厚くなった。これらの結果より、均質 化試料は静置により上部に固形物が、下部に液体 が分離することが確認された。粗粉砕試料では粗 大な固形物が水分を含有しているため、微粉砕試 料よりも均質化試料中の液体画分が少なく、下層 に形成される液層が薄くなったと推察される。こ れらの試料分離傾向は、昨年度試験のトマトと同 様であったが、ほうれんそうの方が試料の固相と 液相の分離が緩慢であった。

粗粉砕試料および微粉砕試料を1時間静置した 後に異なる三層から秤取した分析試料中の濃度 を均質化直後の粗粉砕試料および微粉砕試料の 20g 秤取試料中濃度で補正した相対濃度を図 B-12、同時点における異なる三層間の平均分析値の 変動を図 B-13 に示す。 ジノテフラン、イミダクロ プリドおよびフェンピロキシメートの相対濃度 は、均質化の程度に関わらず上層、中層および下 層で概ね同程度となり、三層間の分析値の変動も 3%以下と顕著に低かった。したがって、これらの 農薬は静置後も均質化試料中に概ね均一に分布 していることが確認された。一方で、それ以外の 農薬は、下層と比較して、上層および中層で濃度 が高くなった。静置後の均質化試料では、上部に 固形物が、下部に液体が分布することから、これ らの農薬は固形物への分布が多いため上層また は中層での農薬濃度が高くなったと推察される。 また、いずれの農薬でも各層における相対濃度は、 粗粉砕試料よりも微粉砕試料で低くなった。この傾向は、均質化直後の分析結果と同様であった。さらに、同一層より秤取した分析試料2点の分析値は類似する傾向が見られた。つまり、秤取する層間での相対濃度が異なる場合でも、各層内の農薬濃度は概ね均一であることが示唆された。これらの静置後試料の分析値に関しても、昨年度試験のトマトと同様の傾向を示したが、試料分離が顕著に見られたトマトより、ほうれんそうの方が各層間での分析値の差は小さかった。

1.6. 遠心分離後の沈殿物と上澄み液の比較

よく混和した微粉砕試料の中層から秤取した 分析試料を遠心分離により分画した沈殿と上澄 み液中の各農薬の存在率を図 B-14 に示す。粗粉 砕試料については、遠心分離により試料が分離せ ず、上澄み液が分取できなった。粗粉砕試料は、 粗大な固形物が水分を内包しているため液体画 分が少なかったと考えられる。各画分への分離が 可能であった微粉砕試料における沈殿と上澄み 液の重量比は 40:60 であった。ジノテフランおよ びイミダクロプリドの存在率は、両画分の重量比 と類似しており、上澄み液と沈殿に概ね均等に分 布していることを確認した。その他の農薬は沈殿 への存在率が上澄み液よりも高くなり、農薬の極 性が低くなるほど沈殿への存在率が増加する傾 向が確認された。各農薬の n-オクタノール/水分 配係数 (log Pow) と沈殿中の存在率の間には、強 い正の相関が確認された (図 B-15)。 したがって、 ジノテフランやイミダクロプリドのような顕著 に極性の高い農薬を除き、農薬は液相より固形物 へ分布しやすいことを確認した。1.5項において、 ジノテフランおよびイミダクロプリドは静置後 の均質化試料中で各層間に均一に分布し、マラチ オン、ダイアジノン、フルフェノクスロンおよび ペルメトリンは固形物含有率が低く水分が多い 下層で低くなったことは、固形物へ農薬が偏在す る性質に由来することが示唆された。しかし、フ エンピロキシメートについては、遠心分離による 分画では固形物への存在率が高かったが、静置後 試料中では各層に均一に分布しており、他の農薬 と異なる傾向を示した。均質化試料中における農薬の分布が固形物への偏在性に由来する結果は、 ぶどうを用いた報告のや昨年度のトマトでの結果 と一致する。

1.7. 篩分別後の残渣と通過物の比較

粗粉砕試料を目開き 1 mm の試験篩に通過させ た後の篩上残渣および通過物中における各農薬 の存在率を図B-16、両画分での分析値の変動を図 B-17 に示す。 篩通過後の残渣および通過物の重量 比は80:20となり、篩上の残渣には粗大な固形物 が、通過物には水分に加えて篩を通過した微細な 固形物 (<1 mm) が含まれていた。残渣への各農 薬の存在率は、76~85%であり、残渣の重量比率 と類似する傾向を示した。つまり、農薬の物理化 学的な性状に関わらず、いずれの農薬も残渣と通 過物に概ね均等に分布していた。遠心分離後の沈 殿と上澄み液への分布においてジノテフラン、イ ミダクロプリドは同様の傾向を示した。しかし、 マラチオン、ダイアジノン、フルフェノクスロン、 フェンピロキシメートおよびペルメトリンは固 形物を多く含む沈殿画分への存在率が高くなっ た。しかしながら、篩による分別後の固形物が多 い残渣への同様の偏在は見られなかった。ほうれ んそうに茎葉散布された農薬は、表面積の大きい 葉に多く付着していると推察される。さらに、常 温での均質化時には繊維質の茎よりも葉の方が 微細になりやすい傾向が観察されていることか ら、篩分別時に粗粉砕試料中の比較的細かくなっ た葉試料は水分と共に篩を通過したと考えられ る。高濃度で農薬が残留する葉部が水分と共に篩 通過物に含まれていたことが、篩分別後の各試料 中濃度を均一にした要因の一つだと考えられる。 一方で、遠心分離後の上澄み液には固形物がほと んど含まれていなかったことから、固形物を多く 含む沈殿画分への農薬分布に各農薬の log Pow が 顕著に反映されたと考えられる。また、篩により 分別したそれぞれの試料における各農薬の分析 値の変動は、全ての農薬で通過物よりも残渣で大 きくなった。残渣は水分量が少ないため、試料内 で農薬が均一に広がらず、秤取した分析試料への 不均一な農薬の取り込みが変動に影響を与えた 要因と考えられる。

c 令和 6 年度

1. 圃場試験の概要

茨城県で露地栽培されたブロッコリーに7種の 農薬製剤を2回混用散布した後、最終散布1日後 に採取した花蕾を供試試料とした。試料受領時に 撮影した作物写真を図 C-1に示す。供試試料の平 均個体重量は約279gであり、栽培地域の農業慣 行に従った適切な作物試料であった。

2. 分析法の妥当性評価

2.1. 検量線の直線性

各分析対象農薬の妥当性確認時に作成した検 量線の直線性は、相関係数 0.99 以上と良好であっ た。

2.2. 選択性

市販品の無添加試料における各分析対象農薬の分析結果は、全て定量限界未満であった。クロマトグラム上の各分析対象農薬の保持時間に定量限界相当量の30%を超える妨害ピークは認められなかった。よって、当該分析法の選択性に問題は認められなかった。

2.3. 回収率

回収率の算出結果を表 C-3 に示す。市販品の微粉砕試料を用いた各分析対象農薬を 0.01 mg/kg 添加した試料での平均回収率は、89~109%であり、その併行相対標準偏差 (RSDr) は 6%以下であった。0.5 mg/kg 添加試料での平均回収率は、87~104%であり、RSDr は 5%以下であった。ジノテフラン、イミダクロプリド、マラチオン、フルフェノクスロン、フルベンジアミド及びペルメトリンの 5 mg/kg 添加試料での平均回収率は、84~109%であり、RSDr は 10%以下であった。ダイアジノンの 15 mg/kg 添加試料での平均回収率は、109%であり、RSDr は 5%であった。以上のように、全ての添加濃度においてどの分析対象農薬も規定の範囲内の結果であった。なお、マトリックス効果が-12~-32%認められたジノテフラン、フル

フェノクスロン及びペルメトリンについては、マ トリックス検量線を採用した (表 C-4 参照)。

3. 試料均質化状態の評価

3.1. 均質化時間及び均質化温度の比較

常温でのミキサー稼働時間別のブロッコリー 均質化状態を図 C-2 に示す。均質化時間が長くなるに伴い固形物が微細になり、繊維質が多く硬い 茎より、比較的柔らかい蕾の方が短時間の均質化 でも微細になりやすいことを確認した。これら観 察結果から、0.5 分間均質化した試料を目視で明 らかな粗大な固形物が確認できる『粗粉砕試料』 とした。また、4 分間均質化した試料を大きな固 形物が見られず、弊所の通常分析と同程度の微細 状態に均質化されていると判断し、これを『微粉 砕試料』とした。

凍結粉砕したブロッコリー試料の調製作業時及び解凍時における状態を図 C-3 に示す。ドライアイス共存下でミキサー均質化した『凍結粉砕試料』は、常温状態のミキサーで4分間均質化した微粉砕試料と同様に大きな固形物が見られず、試料が微細な状態まで均質化されることを確認した。また、試料温度は、均質化前の細切した凍結状態で−11.2℃であった。その後、ドライアイスの添加により温度計の計測可能下限温度である−50℃まで低下し、ミキサーでの均質化後の試料温度も変わらず−50℃であった。冷凍庫内でのドライアイス昇華後では−18.1℃まで上昇した。均質化後の試料は−50℃と十分に低温に保たれており、パウダー状態であったことから、ドライアイスの添加量は適切であったと考えられる。

3.2. 均質化評価用試験篩の目開き及び通過手法の比較

へラ処理及び流水洗浄処理による篩通過時の様子を図 C-4、ヘラ処理及び流水洗浄処理後における篩上試料の状態を図 C-5、各均質化試料のヘラ処理及び流水洗浄処理における目開き 1 mm または 2 mm 篩の平均通過率を図 C-6、異なる 2 名の作業者間の通過率の差を図 C-7 に示す。

均質化したブロッコリー試料のヘラ処理後に おける平均通過率 (作業者間の通過率の差) は、 粗粉砕試料の1mm 篩で7%(4%)、2mm 篩で36% (8%)、微粉砕試料の 1 mm 篩で 41% (10%)、凍結 粉砕試料の 1 mm 篩で 19% (6%) であった。流水 洗浄処理における平均通過率 (作業者間の通過率 の差) は、粗粉砕試料を 2 mm 篩、微粉砕試料を 1 mm 篩、凍結粉砕試料を1mm 篩に負荷した場合、 洗浄時間が長くなるに従い増加し、最終洗浄時間 での平均通過率は、それぞれ81%(0%)、89%(1%)、 94% (0%) となった。一方、粗粉砕試料の 1 mm 篩 負荷時では、洗浄時間8分間まで篩への試料負荷 重量よりも残渣重量が大きくなったため通過率 は負の値を示した。これは、篩の網目に粗大な固 形物が目詰まりした状態で流水による洗浄を実 施したことで、水が篩上に保持され残渣重量が増 加した結果である。この現象は粗粉砕試料の2mm 篩での洗浄時間1分間でも生じているが、洗浄時 間2分間以降では篩上の試料が篩を通過し、平均 通過率は増加している。このことから、篩の目開 きが 2 mm と大きい場合や試料が微細に均質化さ れている場合には篩の目詰まりは生じにくいと 考えられる。その後、洗浄9分以降で通過率は正 の値を示し、最終的に洗浄時間 10 分間での平均 通過率は5%(2%)となった。

ヘラ処理と流水洗浄処理の各篩通過手法を比 較すると、粗粉砕試料の2 mm 篩及び微粉砕試料 及び凍結粉砕試料の1 mm 篩における平均通過率 は、ヘラ処理よりも最終洗浄時間での流水洗浄処 理で45%以上高くなった。これは、ヘラ処理で篩 を通過できなかった篩の網目等へ付着した微細 な残渣が、流水洗浄処理では洗い流せることに起 因すると考えられた (図 C-5)。しかし、粗粉砕試 料の 1 mm 篩負荷時での通過手法による平均通過 率の差は 2%とわずかであり、流水洗浄処理より もヘラ処理で高くなった。負荷試料が粗大かつ篩 の目開きが細かい場合は、篩の網目の目詰まりに より流水洗浄処理時においても微細残渣の通過 が阻害されている可能性が考えられた。また、2名 の作業者間での通過率の差は、ヘラ処理では 4~ 10%であるのに対して、流水洗浄処理では0~2% と小さかった (図 C-7)。 したがって、一定流速の

流水を用いた処理では作業者によって差が生じ にくいことが示唆された。

以上の結果から、ヘラ処理よりも流水洗浄処理の方が、本来、篩に残らない 1 mm 未満の微細な残渣を正確に通過させることが可能であり、異なる作業者間での再現性が高いことから、均質化試料の通過率評価方法として適切であると考えられた。そして、流水洗浄処理での 1 mm 篩における平均通過率は微粉砕試料で89%、凍結粉砕試料で94%であることから、微細に均質化された試料は参考規定 1、2)で示される目開き 1 mm 篩を約90%通過可能であった。

4. 分析試料秤取量の影響

異なる重量 (1~20 g) で分析試料を秤取した際の各農薬の平均濃度を表 C-5 に示す。平均濃度は、粗粉砕、微粉砕及び凍結粉砕試料において、ジノテフランで 1.70~1.77、1.94~2.03 及び 1.80~1.88 mg/kg、イミダクロプリドで1.72~1.86、1.96~2.03 及び 1.85~1.94 mg/kg、マラチオンで 0.48~0.51、0.76~0.80 及び 0.70~0.74 mg/kg、ダイアジノンで 6.47~6.88、6.90~7.63 及び 6.61~7.12 mg/kg、フルフェノクスロンで 0.42~0.45、0.45~0.53 及び 0.42~0.50 mg/kg、フルベンジアミドで 1.78~1.84、1.98~2.09 及び 1.66~1.74 mg/kg、ペルメトリンで 1.50~1.56、1.53~1.82 及び 1.40~1.73 mg/kg であった。

同一散布条件での農作物中の各農薬の残留レベルは、散布液中の農薬濃度に依存するため、各農薬の分析値をそのまま総合解析は困難である 3)。また、分析試料量の少量化は、分析値の真度のズレや精度の低下を招くことが知られている 4、5)。そこで、分析試料秤取量の影響を横断的に評価するために、微粉砕試料での 20 g 秤取時の平均濃度に対する各農薬及び7種農薬全体での平均相対濃度を図 C-8 に示す。

各農薬における平均相対濃度は、微粉試料>凍結粉砕試料>粗粉砕試料の順で低くなる傾向を示した。特に、粗粉砕試料におけるマラチオンでは、微粉試料及び凍結粉砕試料よりも顕著に低くなった。マラチオンの相対濃度が、粗粉砕試料に

おいて低くなる傾向は、トマト及びホウレンソウを供試作物とした場合にも確認されている。さらに、7 種農薬全体で評価した際の平均相対濃度も個別農薬と同様に微粉試料>凍結粉砕試料>粗粉砕試料の順で低くなる傾向を示した。

粗粉砕試料、微粉砕試料及び凍結粉砕試料における各農薬の分析値の変動 (RSD値)を図 C-9に示す。RSD値は、どの試料でも 10%以下であり、均質化の程度及び秤取量が与える影響は不明瞭であった。そこで、包括的な変動評価を実施するために、各農薬の検体 20g 秤取時の分析値で補正した相対濃度の全農薬での総平均 RSD値を算出した(図 C-10)。総平均 RSD値は、微粉試料<凍結粉砕試料<粗粉砕試料の順に大きくなる傾向を示し、微粉試料及び凍結粉砕では秤取量が少なくなるほど大きくなった。

5. 遠心分離後の沈殿物と上澄み液の比較

分取した粗粉砕試料及び微粉試料をそれぞれ遠心分離したが、沈殿と上澄み液に分離しなかったため、両画分中における農薬濃度の分別分析は実施できなかった。これまでの研究に供試したトマト及びホウレンソウの水分含有率は、それぞれ94.0%及び92.4%であるのに対してブロッコリーでは86.2%と低い9。そして、ブロッコリーの組織体は比較的保水性が高く、均質化の過程で細胞外に溶出する水分量が少ないため、遠心分離による分別が困難であったと考えられる。

6. 部位別の残留濃度の比較

各部位での農薬濃度にそれぞれの部位の重量を乗じて重量に換算した。農薬重量の各部位での比率から、ブロッコリーの1個体における各部位への農薬分布率を算出した(図 C-11)。 蕾と茎の重量比は43:57であり、個体中では茎の占める割合が蕾よりもわずかに多かった。一方で、各農薬の分布率は、蕾において98~100%となり、農薬の種類に関わらずほとんどが蕾に分布していた。ブロッコリーは蕾が傘状で、且つ葉が茎を覆う形状であり、散布された農薬は主に蕾と葉部に付着し、茎には付着しなかったと考えられる。この結果より、高濃度で農薬が残留する蕾の分析試料への秤

取割合が、分析値の変動に影響を与えると考えられる。

[2] 畜水産物における適切な試料調製方法の提 案と凍結粉砕法の有用性の検証

a 令和 4 年度

令和3年度厚生労働科学研究「食品や環境から の農薬等の摂取量の推計と国際標準を導入する ための研究」の分担課題「検査部位の変更が残留 農薬等の検査及び分析結果に及ぼす影響と対処 法の検討」では果実を用いて3種類の凍結粉砕法 [液体窒素・凍結方式(B)、ドライアイス・予冷 方式 (C) 及びドライアイス・予備凍結方式 (D)] の操作手順を確立し、試料の粉砕状況を常温磨砕 法(A)と比較した。本研究では、果実を用いて確 立した方法が畜産物(牛の筋肉、牛の脂肪、牛の 肝臓、豚の筋肉、豚の脂肪及び鶏の筋肉) に適用 できるか検討を行った。なお、試料の均質性は試 料調製法に加え、使用する粉砕機、刃の形状、回 転数、粉砕時間、検体量等によって大きく異なる ことから、本研究では果実の方法を確立する際に 用いた以下の条件で行うこととした。

粉砕機: 残留農薬等の検査で汎用されている Robot Coupe BLIXER-3D (回転数 3000 rpm)

運転時間: 120 秒間

検体量: 500 g

検体の大きさ: 約 2.5 cm 角

1. 凍結粉砕法による試料調製法の検討

① 液体窒素を用いた凍結粉砕法(B)

畜産物(牛の筋肉、牛の脂肪、牛の肝臓、豚の筋肉、豚の脂肪及び鶏の筋肉)500gを2.5 cm角にカットし、液体窒素を加えて凍結させた。凍結に必要な液体窒素量は、果実では3~4Lであったのに対し、畜産物では4~5L程度であった。いずれの食品も液体窒素に浸して4分間放置することにより、中心部まで完全に凍結した。液体窒素で凍結した検体は極めて低温となるため、液体窒素の非存在下で120秒間粉砕しても融解は認められなかった。しかし、粉砕直後の試料温度は-55~-38℃となり、果実(キウィー-69℃)と比べてやや

高かった(表 A-7)。畜産物を液体窒素で凍結すると果実と比べて硬くなるため、粉砕時に熱が発生し、粉砕後の試料温度が高くなったものと考えられた。

② ドライアイスを用いた凍結粉砕法(C及びD) ドライアイスを用いた凍結粉砕法(C 及び D) は、いずれもドライアイスの存在下で粉砕する方 法である。投入したドライアイスは粉砕中に昇華 し、減少するが、粉砕中にドライアイスが不足し た場合、試料温度が上昇し、試料が融解する恐れ がある。一方、粉砕時にドライアイスを大過剰投 入した場合、粉砕後にドライアイスを昇華させる のに時間を要することに加え、刃と試料が接触し にくくなることにより、試料の均質性の低下を招 く。果実の場合は、ドライアイス・予冷方式(C) では検体量の 1.1~1.2 倍量、ドライアイス・予備 凍結方式 (D) では 0.5~0.6 倍量が適切と考えら れた。そこで、ドライアイス・予冷方式(C)では 検体量の 1.1 倍量、ドライアイス・予備凍結方式 (D) では 0.5 倍量のドライアイスを用いて畜産 物を粉砕した。なお、ドライアイス・予冷方式(C)、 ドライアイス・予備凍結方式 (D) のいずれにおい ても粉砕前にドライアイス 100 g を粉砕機に入れ て約 10 秒間運転し、粉砕機を冷却することとし た。その結果、ドライアイス・予冷方式(C)では いずれの食品も問題なく、粉砕することができた。 一方、冷凍庫で凍結した検体は非常に硬くなるた め、ドライアイス・予備凍結方式 (D) では粉砕が 困難であり、特に豚及び鶏の筋肉では運転中に刃 の回転が停止し、粉砕することができなかった。 ドライアイス・予備凍結方式 (D) で粉砕する場合 は粉砕する検体の大きさを 2.5 cm 未満にする必 要があると考えられた。表 A-7 に試料調製後の温 度を示した。果実ではいずれの食品も約-78℃であ ったが、畜産物では果実よりも若干温度が高い傾 向が見られ、畜産物の方が粉砕時に発熱しやすい ものと考えられた。これらの結果から、畜産物で はドライアイス・予冷方式 (C) は検体量の 1.2 倍 量、ドライアイス・予備凍結方式(D)は0.6倍量 のドライアイスを用いるのが良いと考えられた。

なお、常温磨砕法で畜産物を均質化すると 24~40℃となるため、熱によって分解しやすい農薬等を分析する際は凍結粉砕法で試料調製するのがよいと考えられた。

2. 常温磨砕法との比較

畜産物を常温磨砕した試料及び凍結粉砕後融解した試料はいずれも粘性が高く、粉砕状況を比較するのが困難であった(図 A-21)。そこで、得られた試料を用いて抽出操作を行った後、1 mm のふるいを通し、ふるい上の残渣を比較した。抽出は試料 10.0 g にアセトン 50 mL (1 回)を加えて、ホモジナイズ (1 分間)または振とう (5 分間)により行った。その結果、常温磨砕法よりも凍結粉砕法、振とう抽出よりもホモジナイズ抽出の方が抽出後の残渣の粒子が小さくなる傾向が見られた(図 A-22)。凍結粉砕法同士では大きな差は認められなかった。

b 令和 5 年度

令和4年度確立した畜産物の試料調製方法が水産物(あゆ、えび、うなぎ及びさけ)に適用できるか検討を行うこととした。なお、試料の均質性は試料調製法に加え、使用する粉砕機、刃の形状、回転数、粉砕時間、検体量等によって大きく異なることから、本研究では果実や畜産物の方法を確立する際に用いた以下の条件で行うこととした。粉砕機: 残留農薬等の検査で汎用されている

Robot Coupe BLIXER-3D (回転数 3000 rpm)

運転時間: 120 秒間

検体量: 500 g

1. 試料調製方法の検討

あゆ、えび、うなぎ及びさけを 2 cm 角にカット し、各方法で試料調製した。令和 4 年度確立した 畜産物の方法と同様に、液体窒素・凍結方式では 冷却剤として液体窒素を 4 L、ドライアイス・予 冷方式及びドライアイス・予備凍結方式ではドラ イアイスをそれぞれ検体量の 1.2 倍量及び 0.6 倍 量用いた。その結果、あゆ及びえびではいずれの 方法でも問題なく、粉砕機を運転することができ た。一方、うなぎ及びさけではいずれの凍結粉砕 法でも、運転中に刃の回転が停止し、粉砕することができなかった。これは、凍結した検体が刃と粉砕機の壁面・底面の間に挟まることにより、刃が回転できなくなったことが原因と考えられた。そこで、検体の大きさを1cm角としてうなぎ及びさけを凍結粉砕したところ、いずれの方法でも刃の回転が停止することなく、粉砕することができた。昨年度検討した豚や鶏の筋肉についても、ドライアイス・予備凍結方式では検体の大きさを2.5cm角とすると粉砕が困難であった。これらの結果から、畜水産物を粉砕する場合は、1cm角以下にカットしてから凍結粉砕するのがよいと考えられた。

表 B-6 に試料調製直後の試料温度を示した。液体窒素・凍結方式では-51~-35℃となった。本方法は、粉砕前に液体窒素で検体を凍結した後、液体窒素の非存在下で120秒間粉砕する方法であるが、液体窒素で凍結した検体は極めて低温となるため、粉砕中の融解は認められなかった。しかしながら、果実を液体窒素・凍結方式で粉砕した場合と比べて試料温度がやや高くなった。液体窒素で凍結すると、水産物の方が果実と比べて硬くなるため、粉砕時に熱が発生し、粉砕後の試料温度が高くなったものと考えられた。

ドライアイス・予冷方式ではいずれの食品も-78~-75℃となり、ドライアイスの昇華温度とほぼ一致した。ドライアイス・予備凍結方式ではうなぎやさけは-70℃以下となったが、検体の大きさを2cm角としたあゆ及びえびではそれぞれ-36℃及び-46℃となった。2cm角の検体を冷凍庫で凍結すると非常に硬くなり、1cm角の検体よりも粉砕時に熱が発生しやすいためと考えられた。なお、常温磨砕法で均質化した場合、試料温度は24~33℃となったため、熱によって分解しやすい農薬等を分析する際は凍結粉砕法で試料調製するのがよいと考えられた。

2. 各試料調製方法での粉砕状況の比較

粉砕直後の粉砕容器の様子を図 B-18 に示した。 凍結粉砕法で調製した試料はいずれの食品もパ ウダー状になり、均質であるように見えた。しか し、融解すると、食品によっては粉砕されていない大きい皮や骨等も認められた(図 B-18)。このため、融解後の試料を比較することとした。

あゆ及びえびは試料調製方法間で大きな違いは認められず、1 cm×1 cm 以上の大きな粒子は確認できなかった。一方、うなぎ及びさけでは、いずれの方法でも粉砕されていない1 cm×1 cm 以上の皮や骨が認められ、常温磨砕法の方が凍結粉砕法よりも大きな皮が見られた。

いずれの試料も粘性が高く、1 cm×1 cm 以上の 皮や骨以外を比較するのは困難であった。そこで、 得られた試料を用いて抽出操作を行った後、目開 き 1 mm のふるいを通し、ふるい上の残渣を比較 することとした。抽出は試料 10.0g にアセトン 50 mL を加えてホモジナイズ (1 分間) または振とう (5 分間) することにより行った。なお、抽出操 作はいずれも1回とした。その結果、あゆ及びえ びでは振とう抽出よりもホモジナイズ抽出の方 が抽出後の残渣の粒子が小さくなる傾向が見ら れた(図 B-19)。また、えびでは常温磨砕法より 凍結粉砕法の方が残渣の粒子が小さくなる傾向 が見られた。一方、あゆでは抽出法(ホモジナイ ズ/振とう) や試料調製法 (常温磨砕法/凍結粉砕法) による大きな差は認められなかった。うなぎ及び さけを凍結粉砕した試料では、振とう抽出後も1 cm×1 cm 以上の大きい皮が見られた。また、凍結 粉砕した試料をホモジナイズ抽出したところ、ポ リトロンの刃に皮等が絡まって回転が途中で停 止し、操作が困難であった。常温磨砕した試料で は、抽出時に刃の回転が停止することなく、ホモ ジナイズを行うことができたが、大きな皮は細か くならなかった。常温磨砕した試料で、ホモジナ イズ抽出の際に回転が停止しなかったのは、凍結 粉砕した試料よりも皮が大きいため、ポリトロン の刃に絡まりにくかったためと考えられた。これ らの結果から、うなぎ及びさけは凍結粉砕法、常 温磨砕法のいずれも、均質化が不十分と考えられ た。試料粒子の大きさは抽出効率や分析値のばら つきに大きく影響する可能性がある。このため、 常温磨砕法、凍結粉砕法のいずれも粉砕時間を長

くする等により、均質性をさらに向上させる必要 があると考えられた。

c 令和6年度

1. 農薬等の添加後放置時間の回収率への影響

常温磨砕法により調製した試料中で農薬等が どの程度減少するかを検討するため、牛の筋肉、 牛の肝臓及び豚の肝臓の常温磨砕試料に農薬等 を添加後、室温で放置し、放置時間による回収率 への影響を検討した。添加後の放置時間は0、15、 30、60 分とした。検討対象化合物は表 C-6 に示し た 65 化合物とした。いずれの化合物も抽出液に 添加した場合の回収率は80%以上であり、精製以 降の操作での損失はほとんどないものと考えら れた。結果を表 C-6及び図 C-13~図 C-15 に示す。 放置時間 30 分で回収率が 70%未満となった化合 物は、牛の筋肉では4化合物、牛の肝臓では12化 合物、豚の肝臓では14化合物であり、いずれかの 食品で70%未満となった化合物は16化合物であ った。このうち、Carbaryl、Fenobucarb、Propoxur 及び Sulfanitran は、牛の肝臓では 30 分後の回収 率が75%以上であったのに対し、豚の肝臓ではい ずれも 50%未満となった。一方、Sulfaquinoxaline は、豚の肝臓では79%の回収率を示したが、牛の 肝臓では47%と低値になった。これらの結果から、 牛と豚の肝臓では試料中の酵素やその他の成分 の違いにより、農薬等の分解等のしやすさが異な ることが示唆された。いずれかの食品で30分後 の回収率が70%未満となった16化合物のうち、 放置時間 0 分と 30 分の回収率に有意差 (Benjamini-Hochberg 法による FDR (False Discovery Rate) 補正後の q 値 < 0.01) が認められ た化合物は、牛の筋肉ではなかったが、牛の肝臓 では8化合物、豚の肝臓では14化合物であった。 これらの化合物は放置時間中に試料中の酵素や その他の試料成分との反応等により減少したも のと考えられた。一方、牛筋肉中の Cefapirin や Neospiramycin 等、放置時間 0 分と 30 分の回収率 に有意差が認められなかった化合物は添加直後

に分解等が生じたか、抽出操作中の損失が考えられた。

2. 試料温度の回収率への影響

試料温度が回収率に与える影響を評価するため、常温磨砕により調製した試料(常温試料)及び凍結粉砕により調製した試料(凍結試料)に農薬等を添加し、それぞれ室温または-30°Cで30分間放置後、抽出操作を開始し、得られた回収率を比較した。牛の筋肉の結果を図C-16に示す。常温試料で回収率が70%未満となった化合物はCefapirin、Neospiramycin、Spiramycin及びTylosinであったが、いずれも凍結試料の回収率との有意な差(q<0.01)は認められなかった。このため、これらの化合物は試料を低温にしても回収率の低下を抑制することは困難であると考えられた。

牛の肝臓の結果を図 C-17 に示す。常温試料で回収率が 70%未満となった化合物のうち、Ethopabate 、 Josamycin 、 Leucomycin A5 、 Neospiramycin 、 Spiramycin 、 Sulfaquinoxaline 、 Tetrachlorvinphos 及び Tylosin は、いずれも凍結試料の回収率と有意な差 (q<0.01) が認められ、試料を低温にすることにより回収率が向上した。しかしながら、常温試料で回収率が 70%未満となった 化 合 物 の う ち 、 Cefapirin 、 Di-*n*-propyl isocinchomeronate、 Neospiramycin、 Spiramycin 及び Tylosin は凍結試料においても回収率が 70%未満にとどまったことから、一部の化合物では試料を低温にしても、回収率の低下を完全には抑制することはできないことが示唆された。

豚の肝臓の結果を図 C-18 に示す。牛の肝臓と同様に、常温試料で回収率が 70%未満となった化合物のうち、 2-Acetylamino-5-nitrothiazole、Azamethiphos、Cefapirin、Fenobucarb、Josamycin、Leucomycin A5、Neospiramycin、Propoxur、Spiramycin、Sulfanitran、Tetrachlorvinphos 及びTylosin は、いずれも凍結試料の回収率と有意な差(q<0.01)が認められ、試料を低温にすることにより回収率が向上した。しかしながら、常温試料で回収率が 70%未満となった化合物のうち、Cefapirin 、 Di-n-propyl isocinchomeronate、

Leucomycin A5、Neospiramycin、Spiramycin 及び Tylosin は凍結試料においても回収率が 70%未満 にとどまったことから、牛の肝臓と同様に、一部 の化合物では試料を低温にしても、回収率の低下を完全には抑制できないことが示唆された。

以上の結果から、牛及び豚の肝臓においては一部の農薬等を除き、試料温度を下げることにより、 放置中に生じる農薬等の減少を抑制できること が示された。したがって、凍結粉砕法による試料 調製を行えば、試料調製中の農薬等の減少を抑制 できる可能性が高いことが示唆された。

3. 試料調製方法による回収率への影響

凍結粉砕法による試料調製の農薬等の減少抑 制効果を検証するため、試料調製前の検体(牛及 び豚の肝臓)に農薬等を添加後、凍結粉砕法また は常温磨砕法により試料調製し、得られた回収率 を比較した。検討対象化合物は、「2. 試料温度の 回収率への影響」で、牛または豚の肝臓において 常温試料で低回収率(>70%)となった化合物の 中から 11 化合物 (Group 1) 及びいずれの食品に おいても良好な回収率(>70%)が得られた化合 物の中から 10 化合物 (Group 2) を選定した (表 C-7 及び表 C-8)。なお、常温磨砕法の場合は、検 体に農薬等を添加後、抽出操作を開始するまでの 時間が 30 分となるようにした。牛の肝臓の結果 を図 C-19 及び表 C-7、豚の肝臓の結果を図 C-20 及び表 C-8 に示した。Group 2 の農薬等について は、常温磨砕法及び凍結粉砕法のいずれで試料調 製を行っても>70%の回収率が得られ、試料調製 中の大きな減少は見られなかった。一方、Group 1 の農薬等では、常温磨砕法で試料調製を行うと 回収率が70%以下となり、ほとんどの農薬等にお いて「2. 試料温度の回収率への影響」で常温試料 に添加した場合と比較して回収率が低下した(表 C-9)。これは農薬等を試料調製前に添加したこと で、試料中の酵素や試料成分と接触しやすくなり、 分解等が進行したためと考えられた。凍結粉砕法 で試料調製した場合も、Group 1 の一部の農薬等 では凍結試料に添加した場合と比べて回収率が 低下した(表 C-10)。例えば、牛の肝臓における

Azamethiphos、Ethopabate 及び Tetrachlorvinphos、 豚の肝臓中の Azamethiphos 及び Propoxur では、 凍結試料に添加した場合の回収率は 86%以上で あったのに対し、試料調製前に農薬等を添加した 場合の回収率は70%未満であった。一般に、農薬 等の分析法の妥当性を添加回収試験によって評 価する際には、試料調製から抽出開始までの間に 生じる減少を考慮して評価するため、農薬等を試 料に添加後、30分間放置した後に抽出を開始する 方法が用いられる。しかし、本検討結果から、均 質化後の試料に農薬等を添加して 30 分間放置し た場合よりも、試料調製中の減少の方が大きい場 合があることが示された。したがって、添加回収 試験で良好な回収率が得られた方法を用いても、 実際の検査においては残留濃度を過小評価する 可能性があると考えられた。

牛の肝臓中の 2-Acetylamino-5-nitrothiazole、Carbaryl、Fenobucarb、Propoxur 及び Sulfanitran、豚の肝臓中の 2-Acetylamino-5-nitrothiazole、Carbaryl、Ethopabate、Fenobucarb、Sulfanitran及び Tetrachlorvinphos は、検体に添加後、常温磨砕法により試料調製した場合、低回収率 (70%未満)であったが、凍結粉砕法により試料調製することによって回収率が 70%以上となり、統計的な有意差(q<0.01)が認められた。

一方、牛の肝臓中の Tetrachlorvinphos 及び豚の肝臓中の Propoxur は、凍結粉砕法により回収率が改善したものの、回収率は 60%台であり、十分に減少を抑制することはできなかった。また、牛の肝臓中の Azamethiphos、Cefapirin、Di-n-propyl isocinchomeronate、Ethopabate 及び Tylosin、豚の肝臓中の Azamethiphos、Cefapirin、Di-n-propyl isocinchomeronate 及び Tylosin は凍結粉砕法においても回収率が 40%未満であり、試料調製中の減少を抑制することができなかった。これらはAzamethiphos(牛及び豚の肝臓)及び Ethopabate(牛の肝臓)を除き、凍結試料に添加した場合も低回収率であり、抽出液に添加した場合はいずれの化合物も回収率が良好(>80%)であったことから、Azamethiphos 及び Ethopabate を除き、試料

調製中に加え、抽出操作中においても損失が生じている可能性が考えられた。特に、極性が高いCefapirinは抽出溶媒であるアセトニトリルやヘキサンへの溶解性が低く、牛の筋肉の凍結試料に添加した場合も低回収率となったことから(図 C-16)、抽出段階での損失が低回収率の主原因であることが示唆された。

以上の結果から、牛及び豚の肝臓において、常温磨砕法による試料調製では農薬等が酵素や試料成分との反応等により減少しやすい化合物であっても、凍結粉砕法による試料調製を行うことで減少を抑制できる場合があることが示された。ただし、凍結粉砕のみでは減少を十分に抑制できない化合物も存在するため、試料調製方法や抽出条件の検討を含めた対応が必要であると考えられた。

D. 結論

[1] 農産物を対象とした試料の均質性が分析結果に与える影響の評価と均質性評価指標の提案

農薬を散布して栽培したトマト、ホウレンソウ、 ブロッコリーを用いて試料の均質化状態が分析 結果に与える影響を検討した。その結果、均質化 が不十分で粗大な固形物を多く含む試料では分 析値が相対的に低くなった。特にマラチオンでは、 粗粉砕試料の方が微粉砕試料と比較して顕著に 低くなった。この傾向は、いずれの作物において も見られたことから、不十分な均質化が分析結果 に与える影響は、農薬の種類によって異なること が確認された。均質化の影響を受けやすい農薬に ついては、試料の不十分な均質化が、残留濃度の 過小評価リスクを招くことが示唆された。分析値 の変動は、ホウレンソウ<ブロッコリー<トマト の順に大きくなり、変動の大小は作物種により異 なることが確認された(図 C-12)。また、均質化 の程度に関わらず、秤取量と分析値の変動は負の 相関関係を示し、秤取量が少ないほど変動が大き くなることが確認された。加えて、いずれの作物 においても微細に均質化した試料の約 90%が目 開き 1 mm の篩を通過することが確認されたこと

から、均質化状態の客観的な評価方法として「目開き 1 mm の篩に負荷した際の通過率」を指標とする手法を提案し、「通過率 90%以上」を十分微細に均質化された試料の目安と位置付けた。

[2] 畜水産物における適切な試料調製方法の提 案と凍結粉砕法の有用性の検証

畜水産物を対象に、凍結粉砕による試料調製法を確立した。凍結粉砕法の方が、常温磨砕法よりも試料粒子が細かくなる傾向が見られた。ただし、うなぎ等の一部の魚種では、凍結粉砕法で試料調製を行っても皮や骨の均質化が不十分となる課題も認められた。

凍結粉砕法による試料調製中の農薬等の減少抑制効果を検証するため、検体に農薬を添加し、常温磨砕法及び凍結粉砕法で試料調製を行って回収率を比較した。その結果、牛及び豚の肝臓では、常温磨砕法により試料調製を行うと、試料中の酵素やその他の試料成分との反応等により、一部の農薬等で大幅な減少が生じた。一方で、凍結粉砕法による試料調製を行うことにより、農薬等によっては、これらの減少を抑制できることが示された。ただし、凍結粉砕のみでは減少を十分に抑制できない化合物も存在することから、留意が必要である。

一般に、分析法の妥当性を添加回収試験により評価する際は、農薬等を添加後 30 分間の放置を経て抽出操作を開始する方法が用いられる。この目的の一つは、試料調製から抽出までの間に生じる農薬等の減少を考慮して評価するためである。しかし、本研究の結果から、均質化後の試料に添加し 30 分間放置した場合よりも、試料調製中に生じる農薬等の減少の方が大きくなる場合があることが示された。このため、添加回収試験において良好な回収率が得られたとしても、実際の検査においては残留濃度を過小評価する可能性があると考えられた。

E. 参考文献

- 1) 飼料の公定規格 http://www.famic.go.jp/ffis/feed/kokuji/k51n756.html (2023年2月28日閲覧)
- 2) EU Reference Laboratories for Residues of Pesticides. ANALYTICAL QUALITY CONTROL AND METHOD VALIDATION PROCEDURES FOR PESTICIDE RESIDUES ANALYSIS IN FOOD AND FEED. SANTE 11312/2021 v2: https://food.ec.europa.eu/system/files/2023-
- 11/pesticides_mrl_guidelines_wrkdoc_2021-11312.pdf (2025 年 2 月 18 日閲覧)
- 3) D. J. MacLachlana and D. Hamiltonb: Pest Manag Sci. 67, 609–615 (2011) .
- 4) S. J. Lehotay, and J.M. Cook: J. Agric. Food Chem., 63, 4395-4404 (2015).
- 5) 志田 (齊藤) 静夏、根本了、穐山浩:日本食品化学学会誌、27、135-140 (2020).
- 6) S. Hikino, T. Yajima, M. Sakasai, D. Kobayashi, K. Iijima and K. Ohyama: J. Pestic. Sci. 44, 162–170 (2019).
- 7) 志田 (齊藤) 静夏、齋藤真希、根本了、堤智昭、 果実における試料調製方法の検討:ドライアイス または液体窒素を用いた凍結粉砕法と常温磨砕 法の比較:第 45 回農薬残留分析研究会要旨集 (2022).
- 8) EU Reference Laboratories for Residues of Pesticides. Quick Method for the Analysis of Highly Polar Pesticides in Food Involving Extraction with Acidified Methanol and LC or IC MS/MS Measurement I. Food of Plant Origin (QuPPe PO Method): https://www.quppe.eu/quppe_doc.asp (2025 年 2 月 18 日閲覧)
- 9) 文部科学省:日本食品標準成分表 2020 年版 (八訂)

F. 研究発表

- 1. 論文発表なし
- 2. 学会発表

- 志田(齊藤)静夏:残留農薬等分析における 試料調製について.第59回全国衛生化学技 術協議会年会(2022年11月1日)
- 2. 志田(齊藤)静夏、齋藤真希、根本了、堤智昭:果実における試料調製方法の検討:ドライアイスまたは液体窒素を用いた凍結粉砕法と常温磨砕法の比較. 第 45 回農薬残留分析研究会(2022年11月24日)
- 3. 曳埜忍、島田京佳、矢島 智成、飯島和昭、志田 (齊藤) 静夏: 残留農薬分析における試料 均質性の指標の検討〜圃場で農薬散布して 栽培したトマトを用いた調査〜. 日本食品衛 生学会 第 119 回学術講演会 (2023 年 10 月 12 日)
- 4. 志田(齊藤)静夏:残留農薬検査における課題と展望-検査部位の国際整合化、試料調製法及び抽出法について-. 第21回食品安全フォーラム(2023年12月8日)

- 5. 曳埜忍、島田京佳、矢島智成、飯島和昭、田口貴章、志田 (齊藤) 静夏: 残留農薬分析における試料均質性の指標の検討~圃場で農薬散布して栽培したホウレンソウを用いた調査~. 第41回農薬環境科学・第47回農薬残留分析合同研究会、(2024年11月11日)
 - 6. 志田(齊藤)静夏:残留農薬等分析における 試料調製と抽出について.令和6年度食品衛 生登録検査機関協会 残留農薬等研修会 (2025年1月31日)

G. 知的財産権の出願・登録状況

なし

表 A-1. 農薬製剤の散布条件

製剤名 (商品名)	有効成分名 (略号)	有効成分	希釈
設別 右(何叩右)	有别成刀名(哈多)	含量 (%)	倍率
アルバリン顆粒水溶剤	ジノテフラン (DIN)	20	2000
マラソン乳剤	マラチオン (MAL)	50	2000
オンリーワンフロアブル	テブコナゾール (TEB)	20	2000
フェニックス顆粒水和剤	フルベンジアミド (FLB)	20	2000
アプロードエースフロアブル	ブプロフェジン (BUP)	20	1000
アプロードエースフロアブル	フェンピロキシメート (FEN)	4	1000
アディオン乳剤	ペルメトリン (PEL)	20	2000

表 A-2. 測定条件(高速液体クロマトグラフ)

カラム	ACQUITY UPLC BEH C18 (Waters 製)
	内径 2.1 mm、長さ 100 mm、粒径 1.7 μm
移動相	5 mmol/L 酢酸アンモニウム溶液/5 mmol/L 酢酸アンモニウム含有メタ
	ノール溶液 (v/v)、90:10 - 5.0 min - 5:95 (4 min 保持)
流量	0.3 mL/min
カラム温度	40°C
注入量	10 μL
保持時間	ジノテフラン:約2.5 min、マラチオン:約5.5 min、
	テブコナゾール:約5.9 min、フルベンジアミド:5.7 min、
	ブプロフェジン:約6.4 min、フェンピロキシメート:約6.7 min、
	ペルメトリン:約7.1 および7.3 min

表 A-3. 測定条件(質量分析計)

イオン化法	エレクトロスプレーイオン化法 (ESI)		
	正モード:	ジノテフラン、マラチオン、テブコナゾール、	
		ブプロフェジン、フェンピロキシメート、	
		ペルメトリン	
	負モード:	フルベンジアミド	
イオンスプレー電圧	正モード:5500 V、	負モード: -4500 V	
イオン化温度	650°C		
コリジョンガス	N ₂		
イオン検出法	MRM 法		

表 A-4. MS パラメーター

分析対象物質	DP	CE	CXP	プリカーサーイオ	プロダクトイオ
万例对家物員	(V)	(V)	(V)	$\vee (m/z)$	$\vee (m/z)$
ジノテフラン	51	17	10	203.1	129.1
マラチオン	44	17	6	331.0	127.1
テブコナゾール	41	39	6	308.1	70.1
ブプロフェジン	46	21	6	306.2	116.2
フェンピロキシメート	96	23	6	422.2	366.0
ペルメトリン	51	27	8	407.9	183.1
フルベンジアミド	-90	-46	-1	680.9	254.1

表 A-5. 妥当性の確認結果

分析対象農薬	平	运均回収率 (%) [RSDr (%))]
刀仰刈豕辰架	0.01 mg/kg 添加	0.5 mg/kg 添加	1 mg/kg 添加
ジノテフラン	87 [3]	103 [2]	100 [2]
マラチオン	102 [4]	98 [8]	105 [2]
テブコナゾール	93 [5]	100 [1]	103 [2]
フルベンジアミド	94 [2]	104 [3]	105 [4]
ブプロフェジン	94 [1]	98 [2]	103 [2]
フェンピロキシメート	95 [3]	100 [3]	102 [2]
ペルメトリン	89 [5]	88 [6]	97 [2]

n = 5

表 A-6. 各試料秤取量での微粉砕試料および粗粉砕試料の分析値に対する Mann-Whitney の U 検定結果

	試料秤取量 (g)				
	20	10	5	2	1
ジノテフラン	0	×	×	×	×
マラチオン	×	×	×	×	×
テブコナゾール	\bigcirc	\bigcirc	×	×	\bigcirc
フルベンジアミド	\bigcirc	\bigcirc	×	\bigcirc	\bigcirc
ブプロフェジン	\bigcirc	\bigcirc	×	×	×
フェンピロキシメート	×	×	\bigcirc	×	\bigcirc
ペルメトリン	\bigcirc	\bigcirc	\circ	×	\bigcirc
No. of ×	2	3	5	6	3

×:有意差あり (p<0.05)、〇:有意差なし

図 A-1.1. 作物写真 図 A-1.1. 無処理区



図 A-1.2. 処理区 (受領試料の半量)



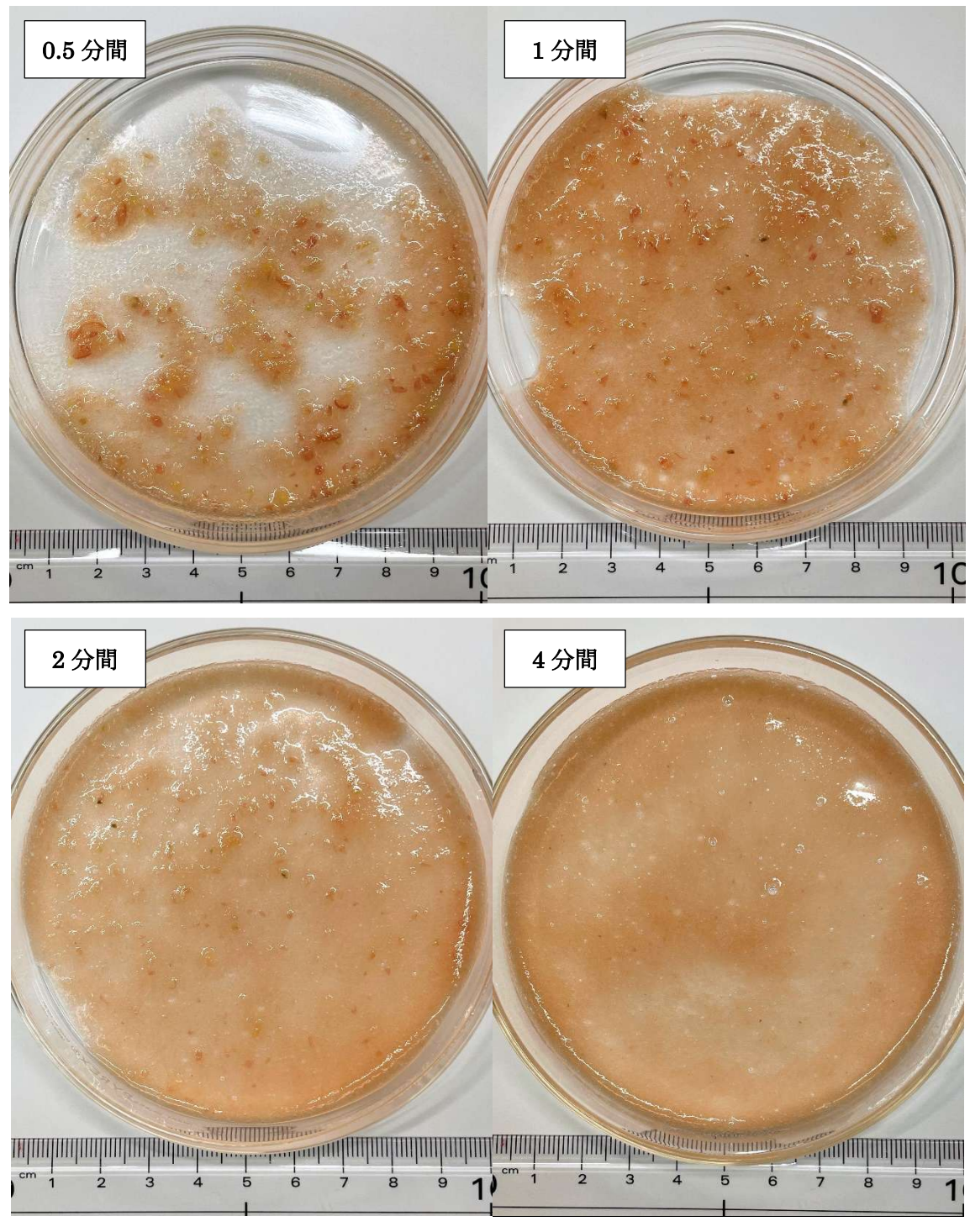


図 A-2. ミキサーの稼働時間別のトマト均質化状態

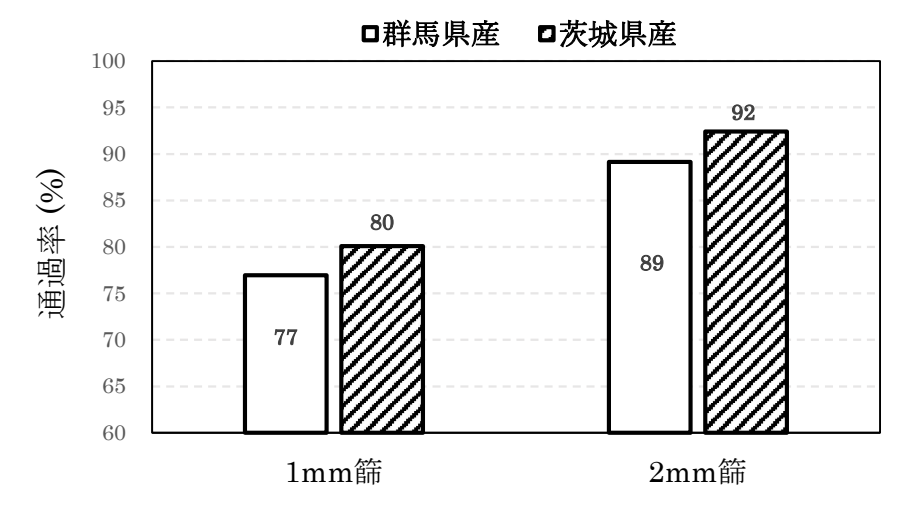


図 A-3. 目開きの異なる篩における粗粉砕試料の通過率

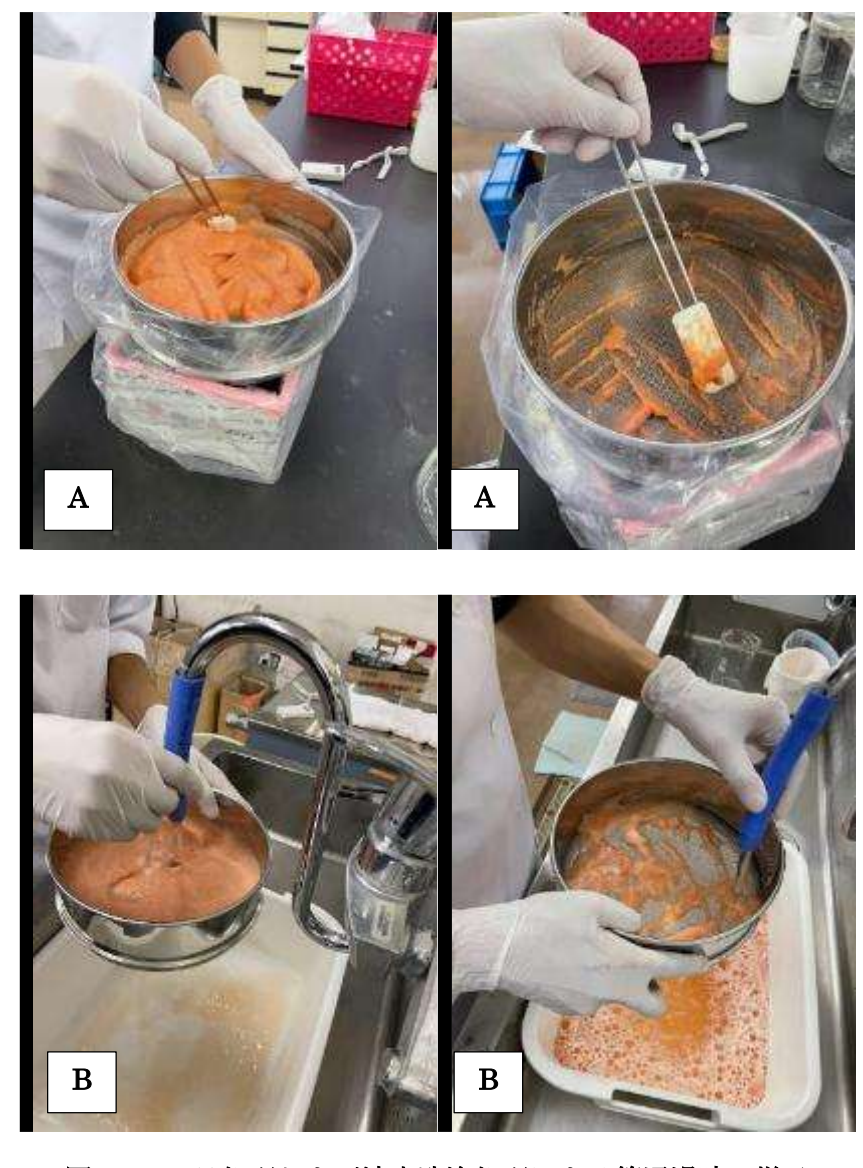


図 **A-4. ヘラ処理および流水洗浄処理による篩通過時の様子** (A: ヘラ処理、B: 流水洗浄処理)

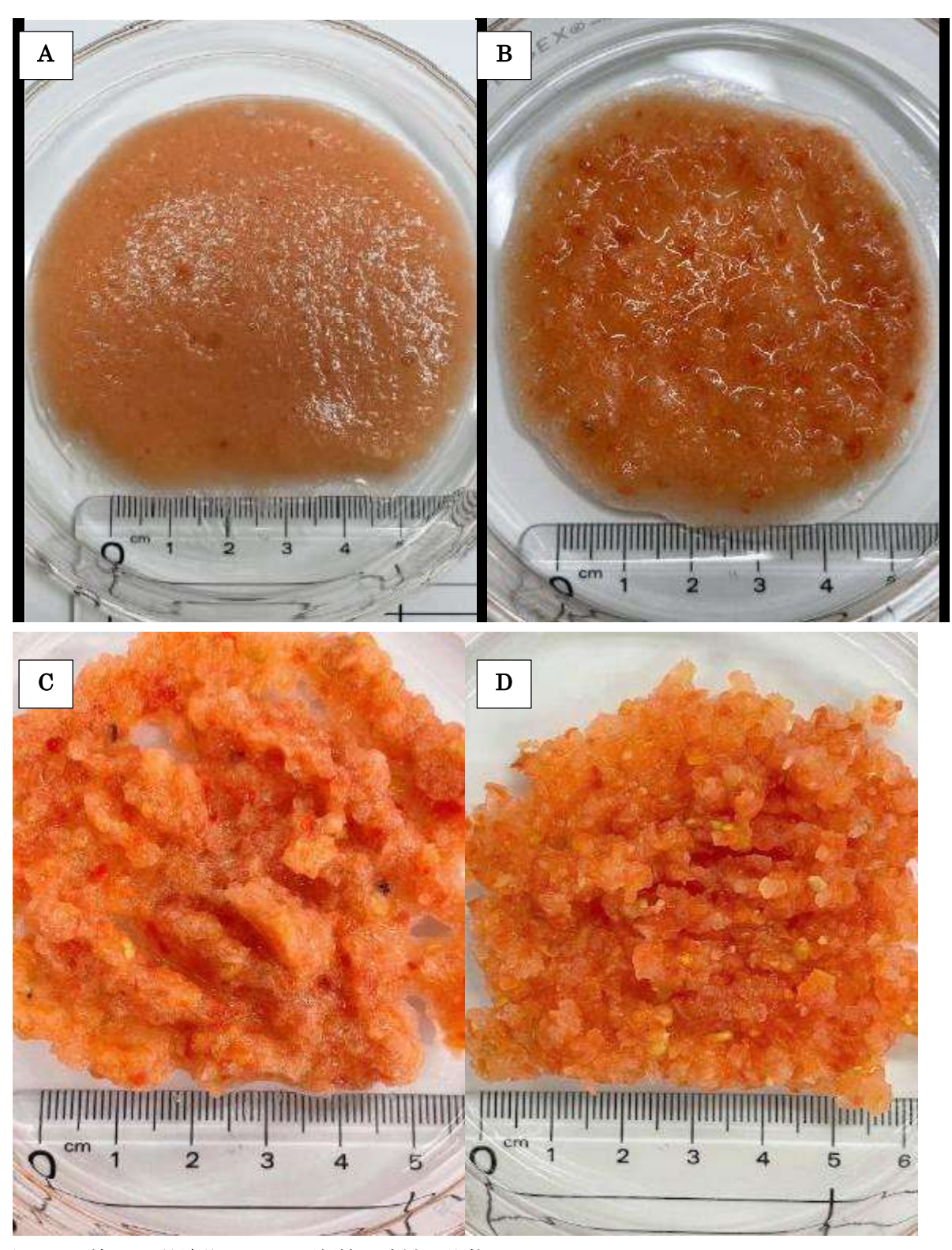


図 A-5. 篩の通過前後における均質化試料の状態

(A: 篩通過前の微粉砕試料、B: 篩通過前の粗粉砕試料、C: ヘラ処理後における 粗粉砕試料の篩上残渣、D: 流水洗浄処理後における粗粉砕試料の篩上残渣)

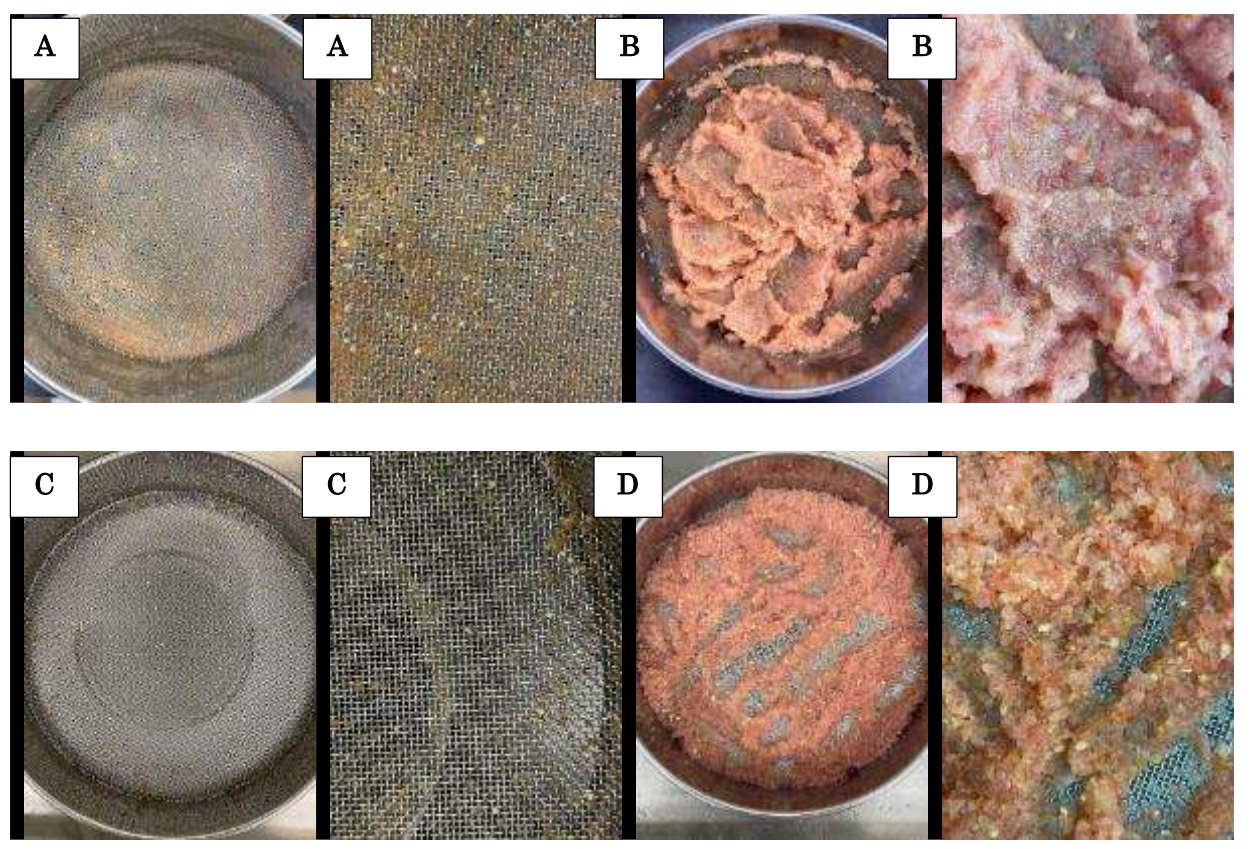


図 A-6. ヘラ処理および流水洗浄処理後における篩上試料の状態

(A: 微粉砕試料のヘラ処理、 B: 粗粉砕試料のヘラ処理、

C: 微粉砕試料の流水洗浄処理、D: 粗粉砕試料の流水洗浄処理)

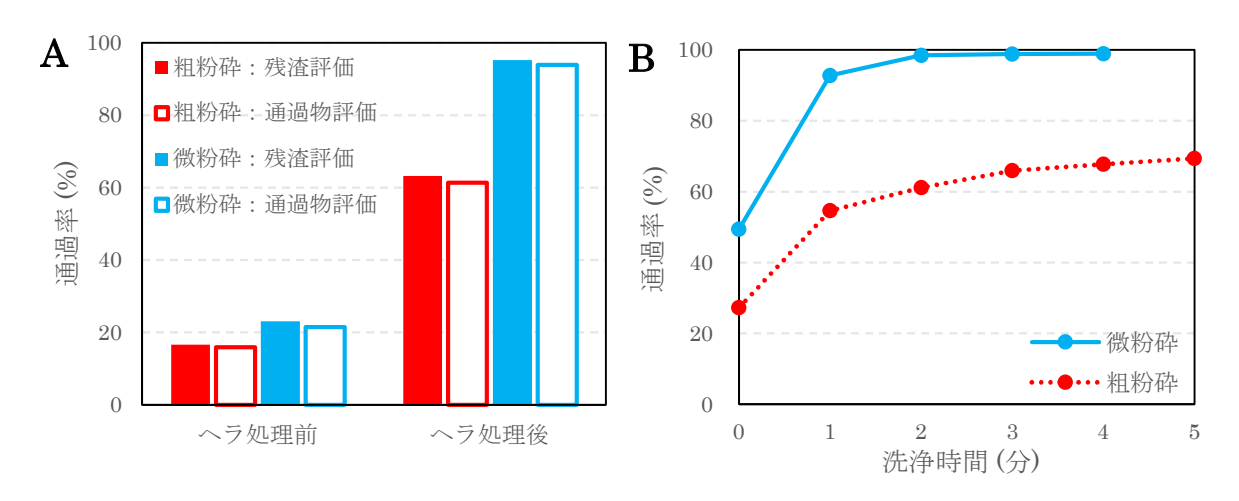


図 A-7. ヘラ処理および流水洗浄処理における目開き 1 mm 篩の通過率

(A:ヘラ処理、B:流水洗浄処理)

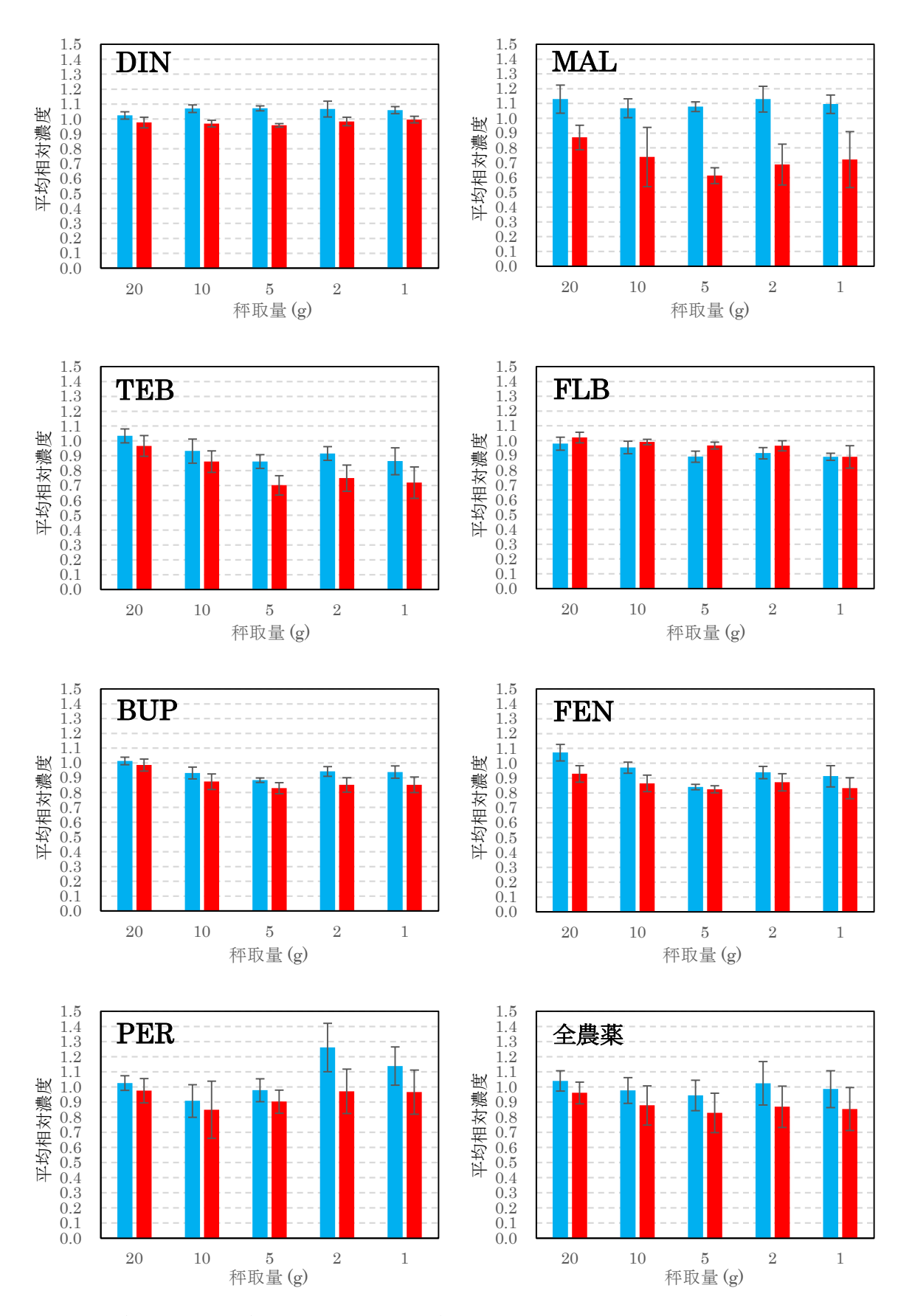


図 A-8. 各農薬および全農薬での平均相対濃度

(検体 20 g 秤取時の平均濃度に対する相対濃度、■: 微粉砕試料、■: 粗粉砕試料)

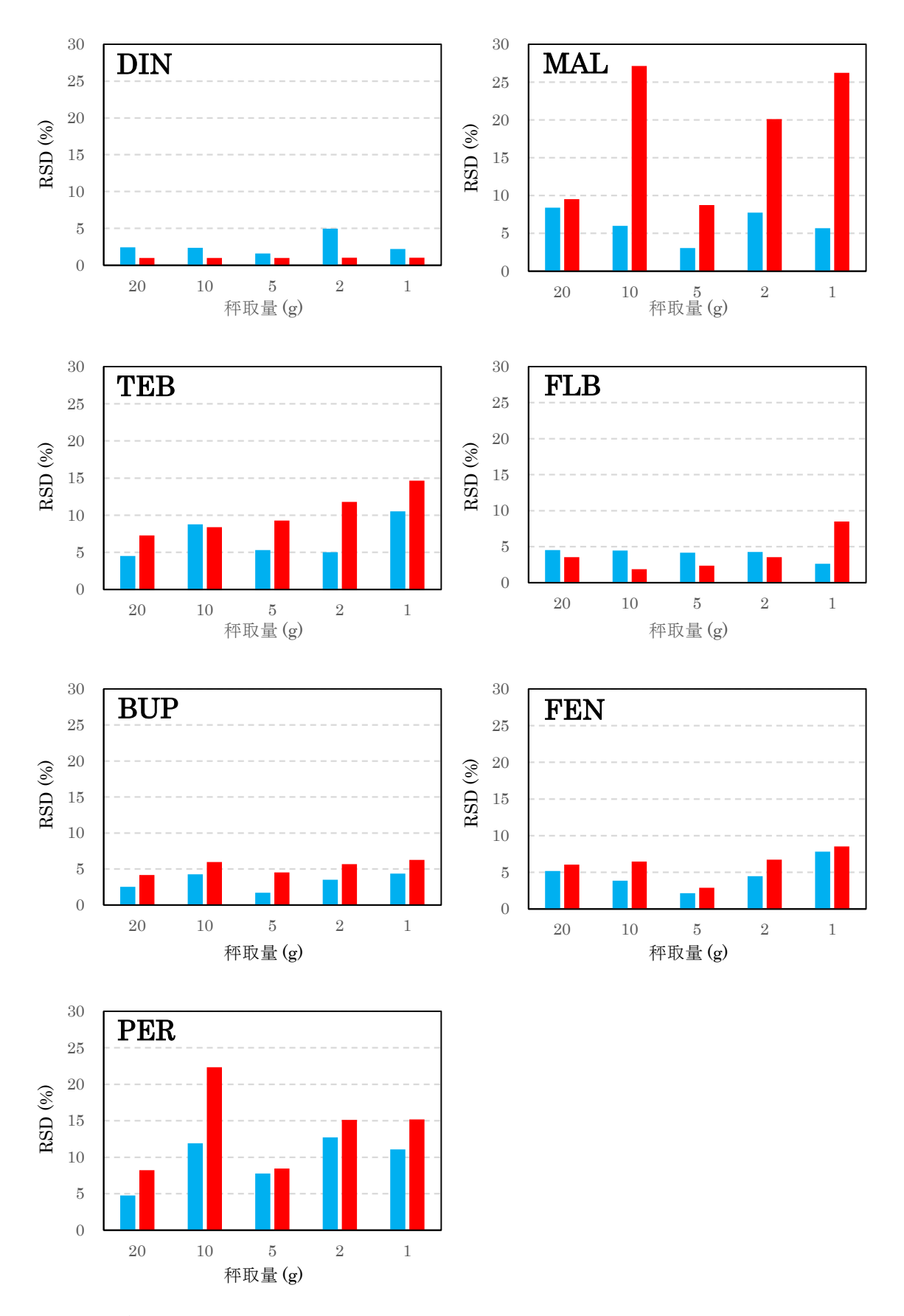


図 A-9. 各農薬における分析値の変動

(■:微粉砕試料、■:粗粉砕試料)

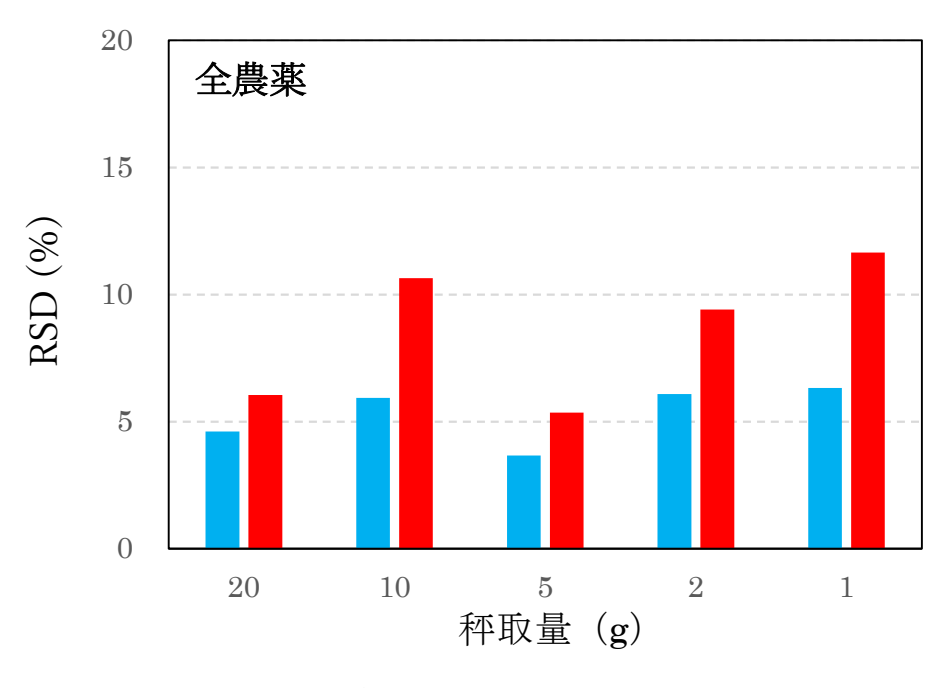


図 A-10. 農薬別の分析値変動の総平均

(■:微粉砕試料、■:粗粉砕試料)

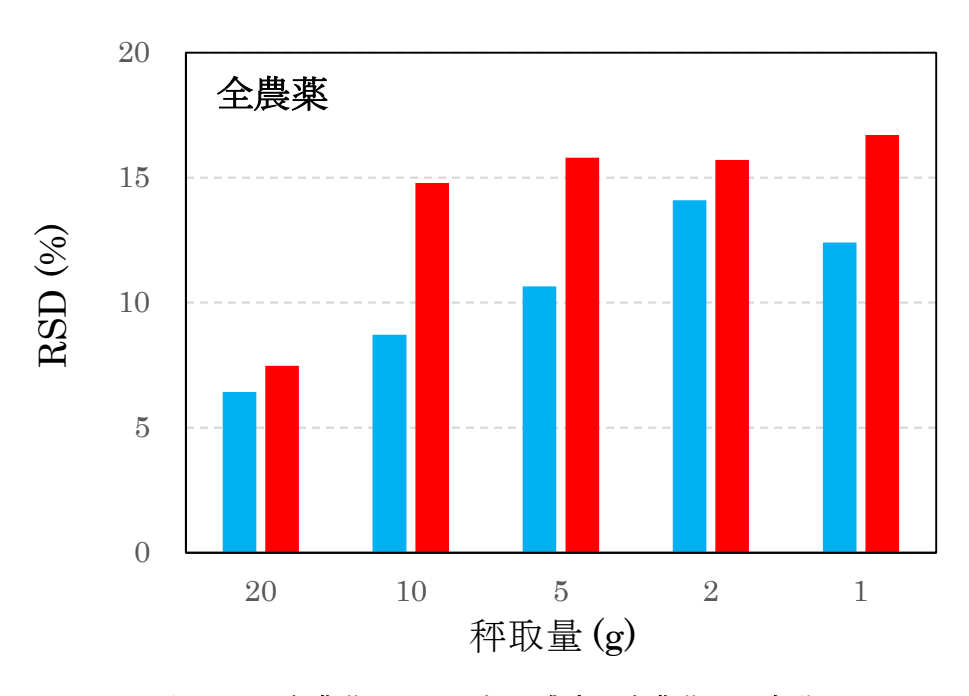


図 A-11. 各農薬における相対濃度の全農薬での変動

(検体 20 g 秤取時の平均濃度で補正した相対濃度、■: 微粉砕試料、■: 粗粉砕試料)

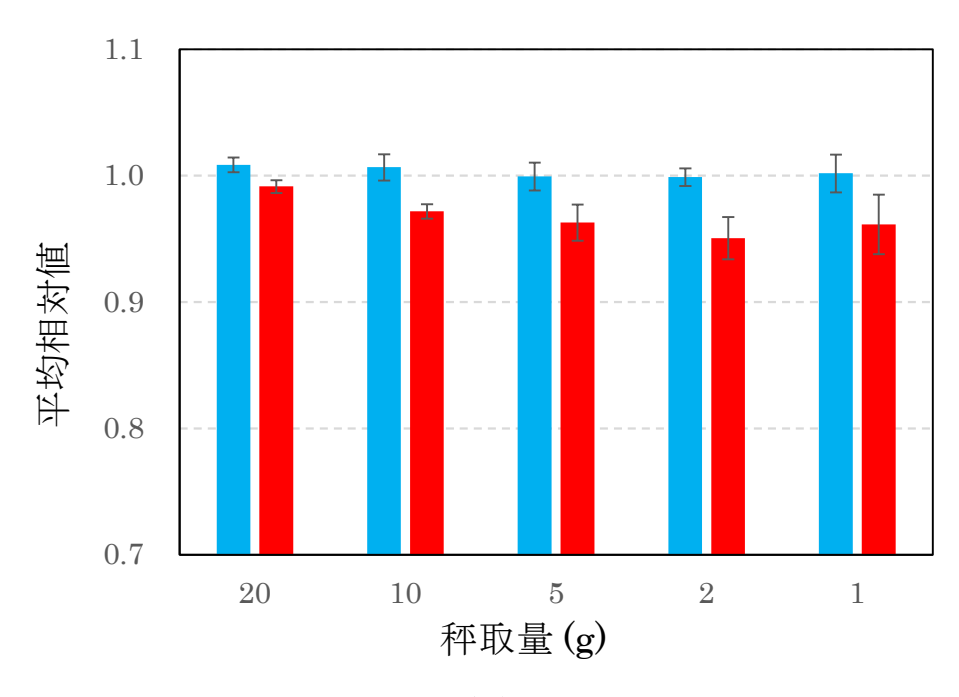


図 A-12. 固形物含有率の平均相対値

(検体 20 g 秤取時の平均固形物含有率に対する相対値、■: 微粉砕試料、■: 粗粉砕試料)

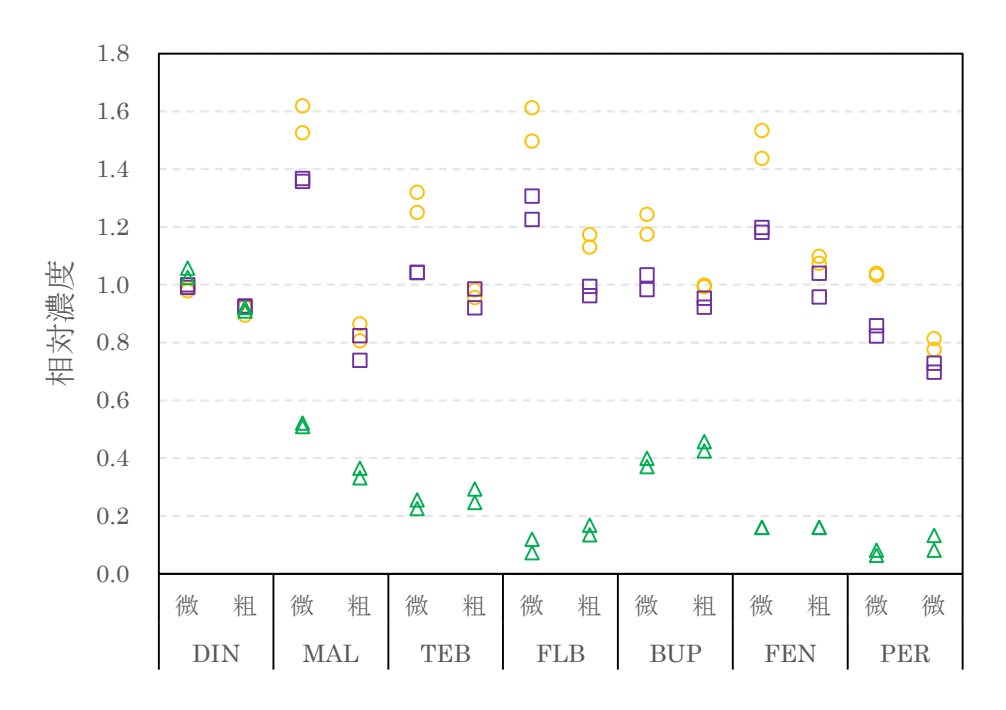


図 A-13. 異なる三層における相対濃度

(均質化直後の検体 20g 秤取試料中濃度で補正した相対濃度、

微:微粉砕試料、粗:粗粉砕試料、○:上層、□:中層、△:下層)

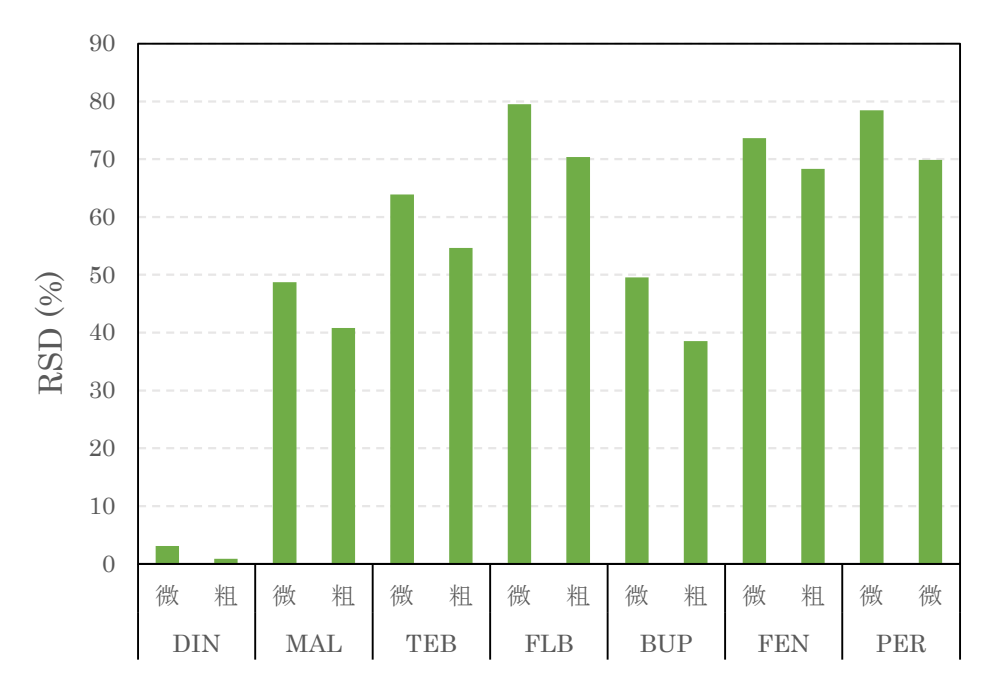


図 A-14. 異なる三層における平均分析値の変動

(微:微粉砕試料、粗:粗粉砕試料)

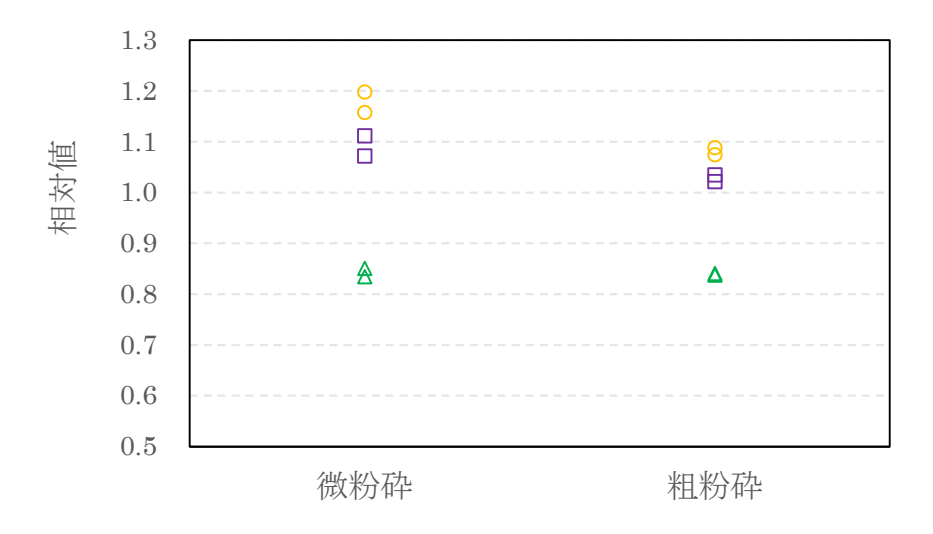


図 A-15. 異なる三層における固形物含有率の相対値

(均質化直後の検体 20g 秤取試料中の固形物含有率で補正した相対値、

○:上層、□:中層、△:下層)

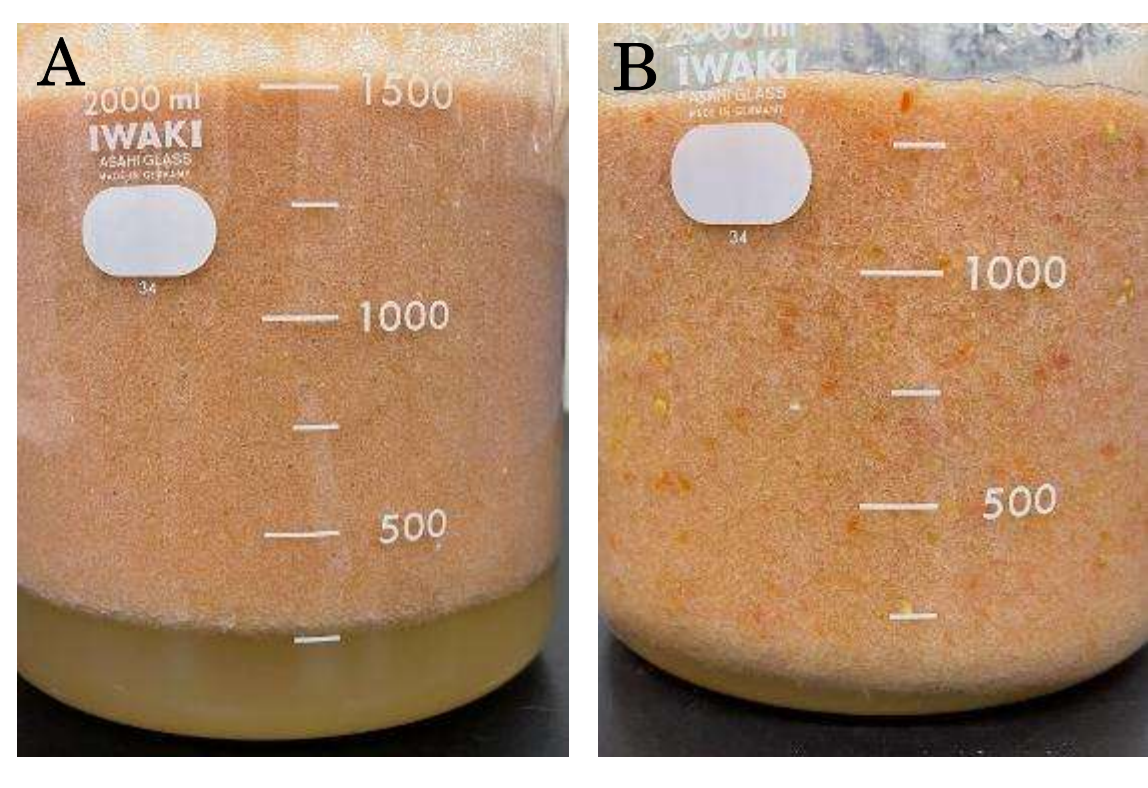


図 A-16. 均質化試料を 1 時間静置した後の状態

(A: 微粉砕試料、B: 粗粉砕試料)

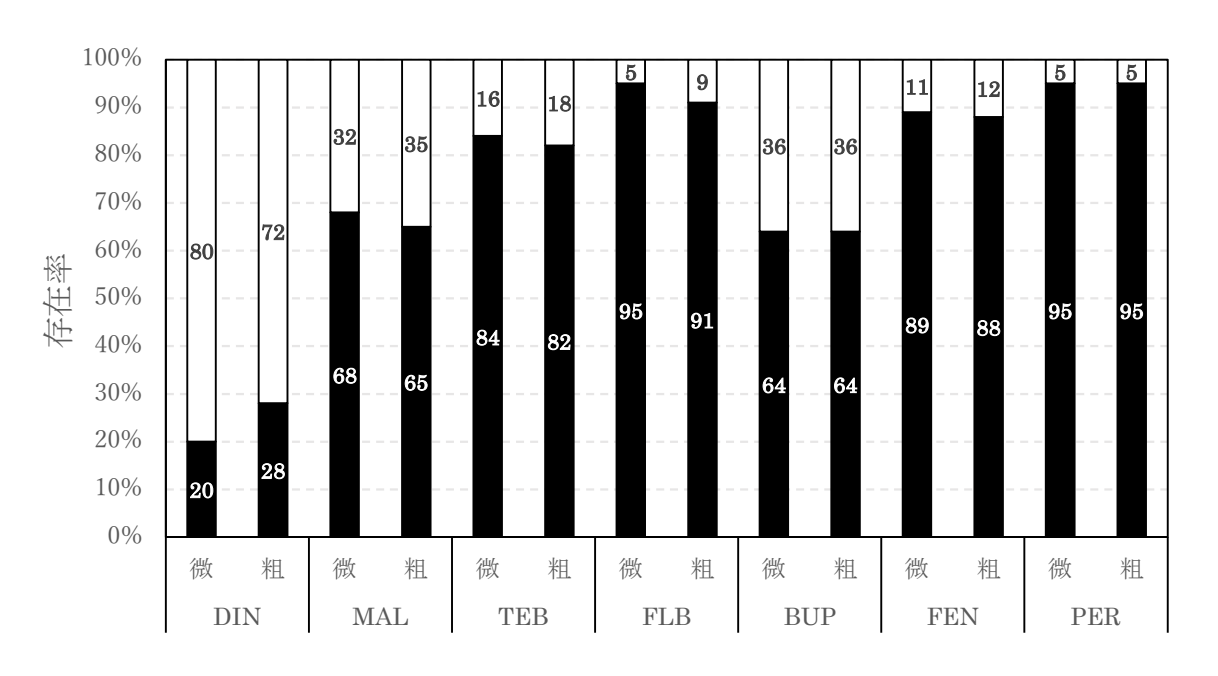


図 A-17. 遠心分離により分画した沈殿と上澄み液中の農薬存在率

(微:微粉砕試料、粗:粗粉砕試料、■:沈殿、□:上澄み液)

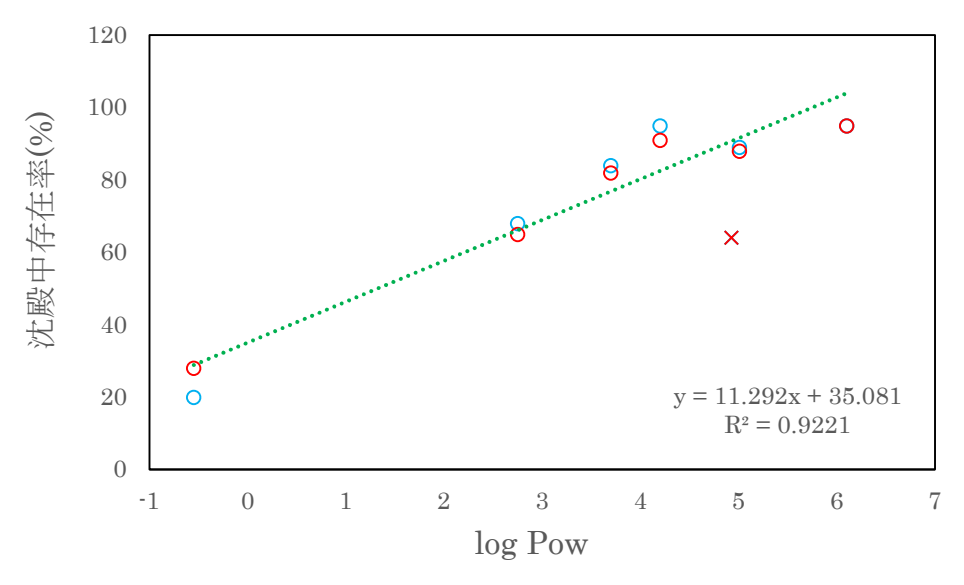


図 A-18. 各農薬の極性と沈殿中存在率の関係

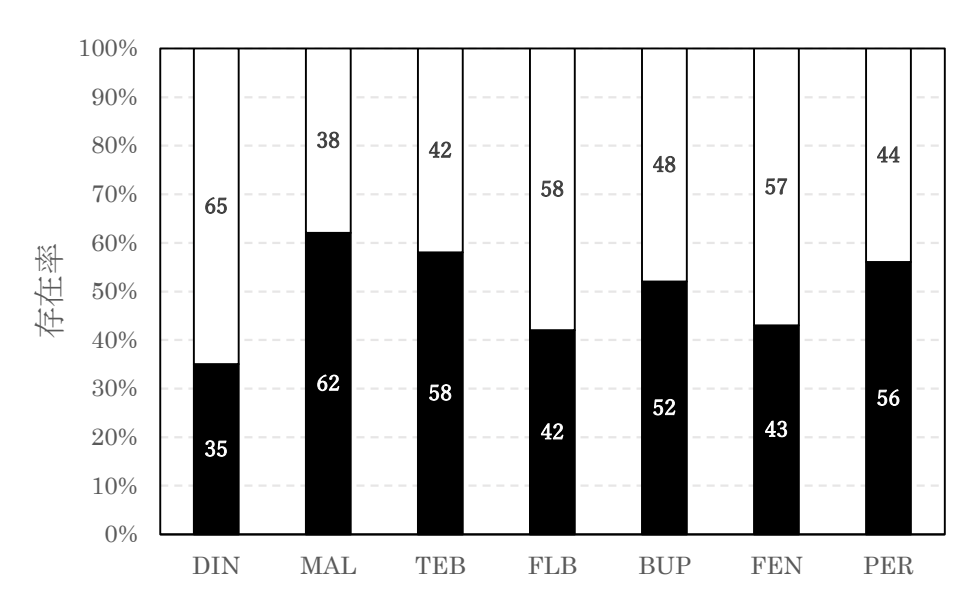


図 A-19. 粗粉砕試料を目開き 1 mm の試験篩に通過させた後の篩上残渣および 通過物中における各農薬の存在率 (■: 篩上残渣、□: 通過物)

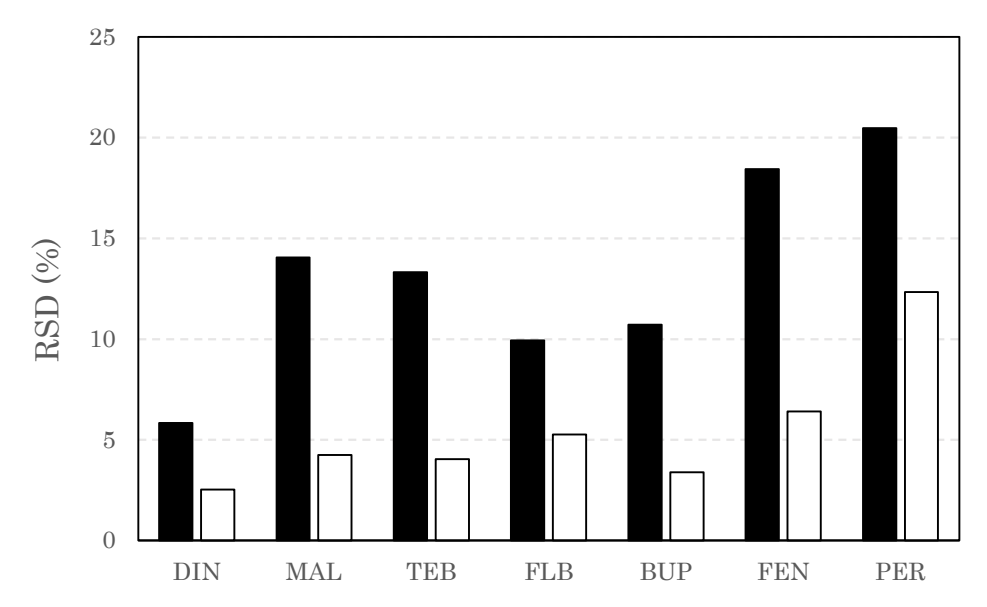


図 A-20. 粗粉砕試料を目開き 1 mm の試験篩に通過させた後の篩上残渣および 通過物中における各農薬の分析値変動 (■: 篩上残渣、□:通過物)

無処理区



処理区



図 B-1. 作物写真

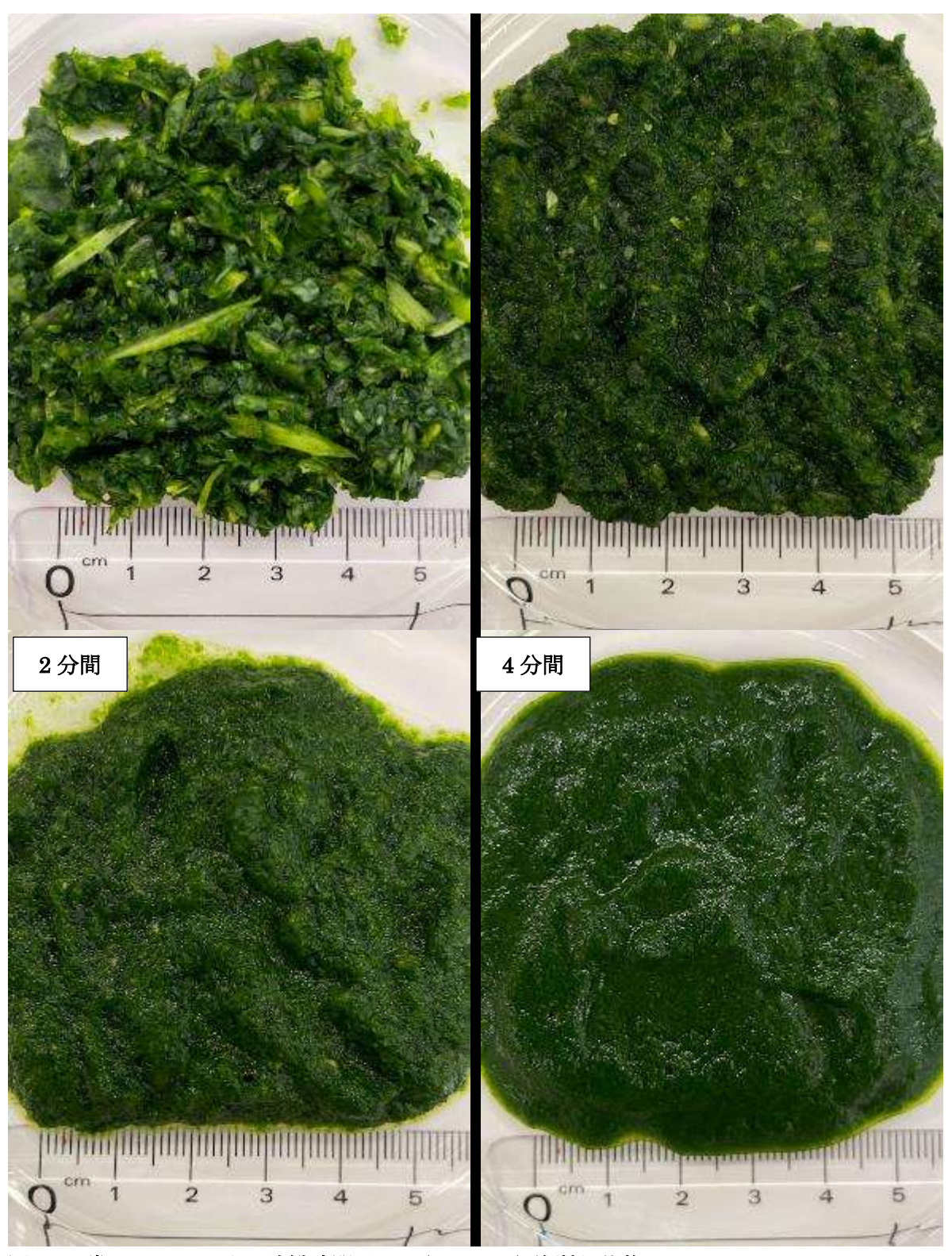


図 B-2. 常温でのミキサー稼働時間別のほうれんそう均質化状態



図 B-3. 凍結粉砕試料の解凍時における状態



図 B-4. ヘラ処理 (左) および流水洗浄処理 (右) による篩通過時の様子

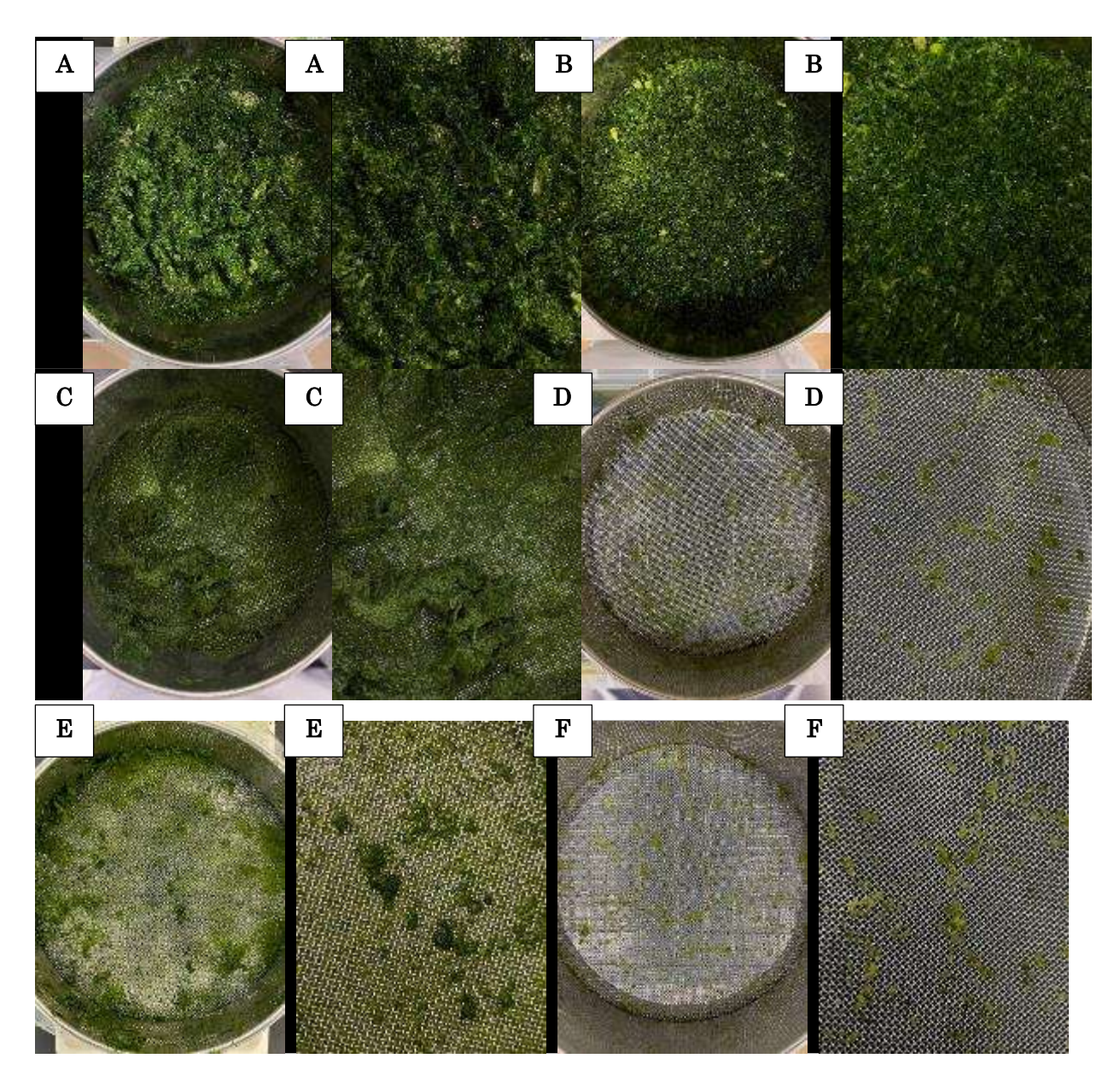


図 B-5. ヘラ処理および流水洗浄処理後における篩上試料の状態

(A: 粗粉砕試料のヘラ処理、B: 粗粉砕試料の流水洗浄処理、C: 微粉砕試料のヘラ処理、D: 微粉砕試料の流水洗浄処理、E: 凍結砕試料のヘラ処理、F: 凍結砕試料の流水洗浄処理)

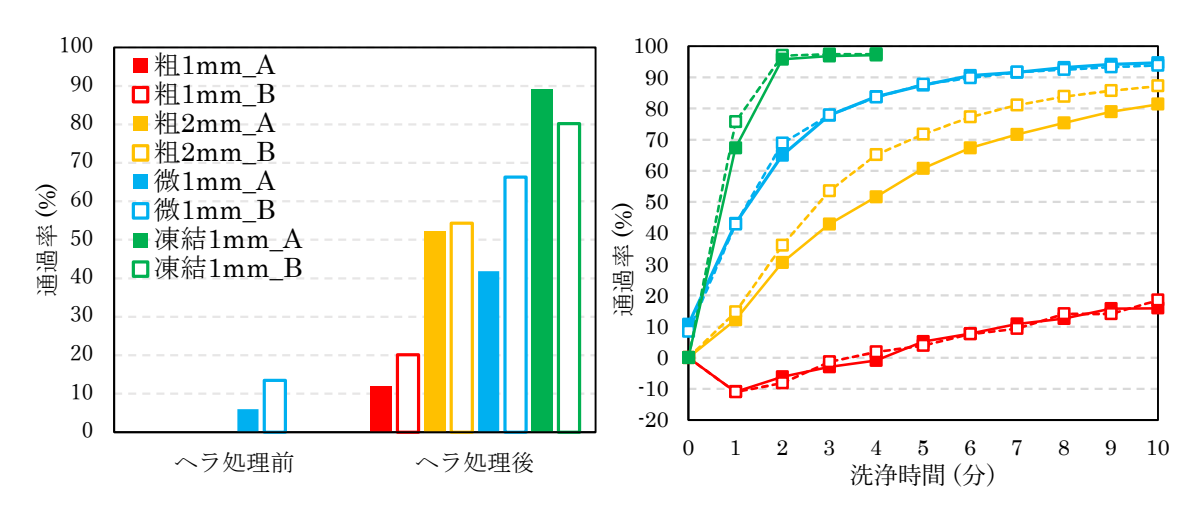


図 B-6. ヘラ処理時 (左) および流水洗浄処理時 (右) の篩通過率

(粗:粗粉砕試料、微:微粉砕試料、1 mm:目開き 1 mm 篩、2 mm:目開き 2 mm 篩、A:作業者 A、B:作業者 B)

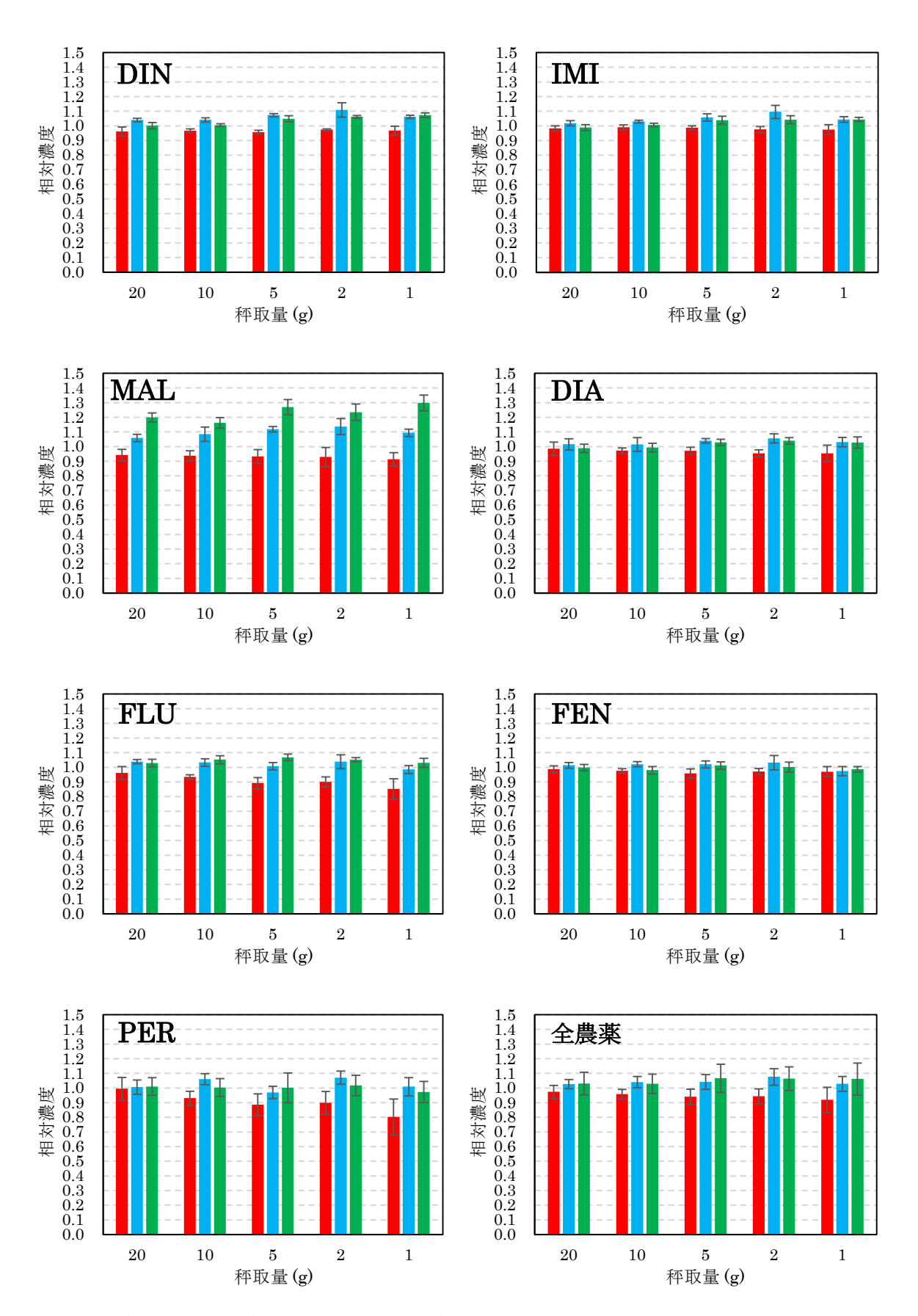


図 B-7. 各農薬および全農薬での平均相対濃度

(粗粉砕試料および微粉砕試料における 20 g 秤取時の平均濃度に対する相対濃度、■:粗粉砕試料、■: 微粉砕試料、■凍結粉砕試料)

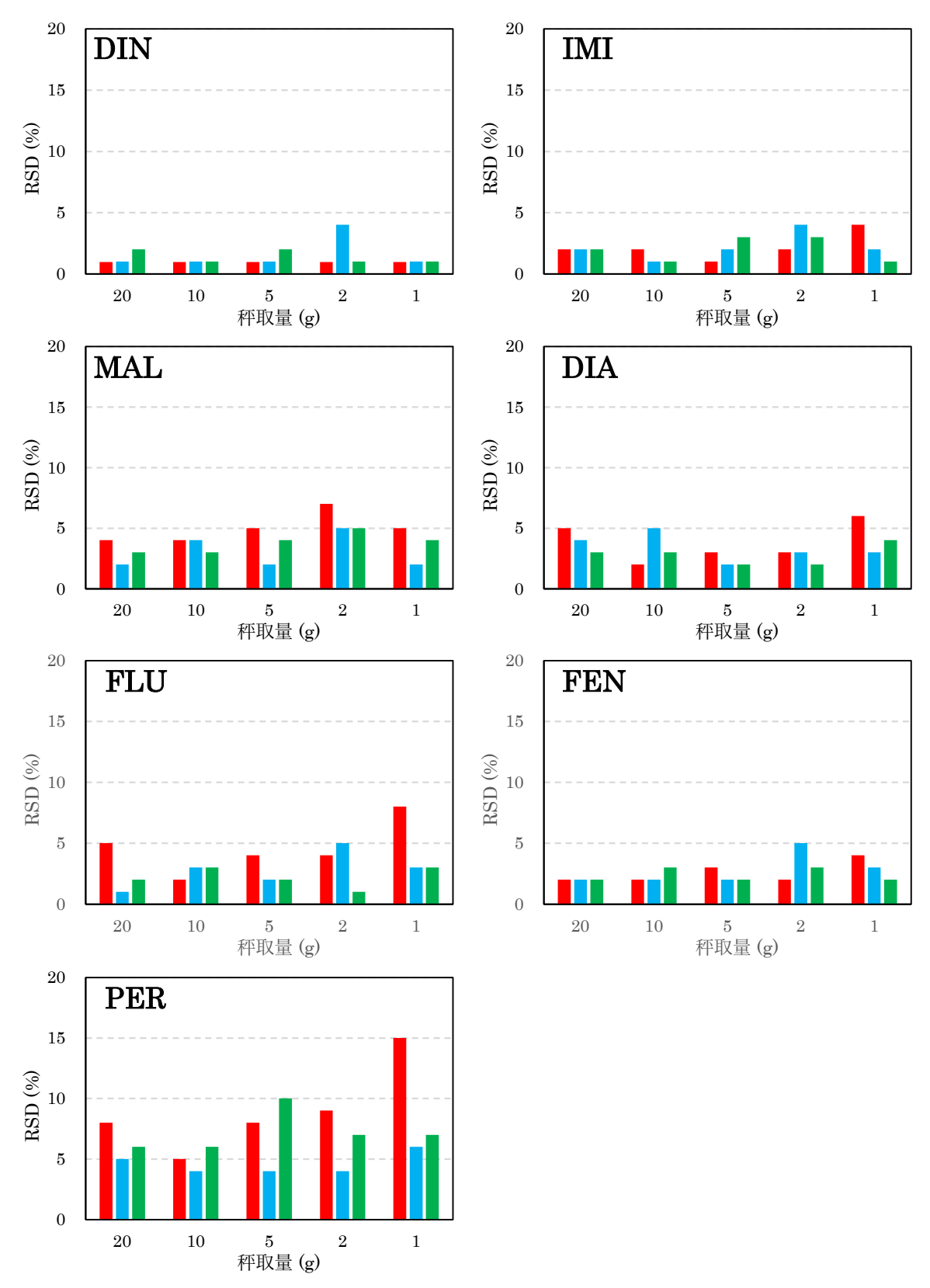


図 B-8. 各農薬における分析値の変動

(■:粗粉砕試料、■:微粉砕試料、■凍結粉砕試料)

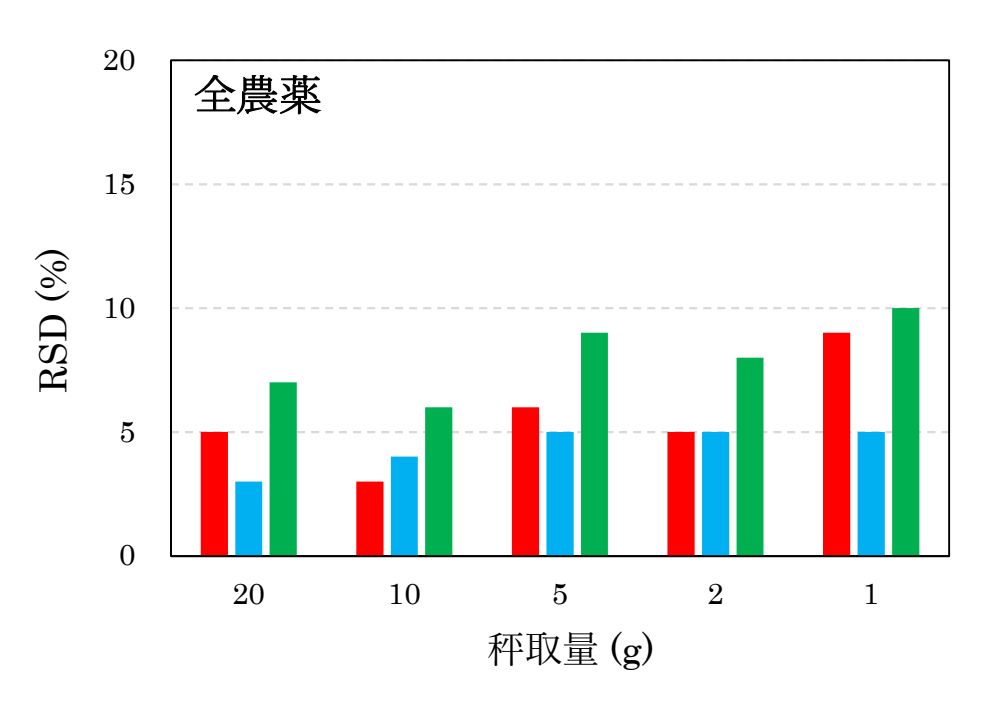


図 B-9. 各農薬における相対濃度の全農薬での変動

(粗粉砕試料および微粉砕試料における20g秤取時の平均濃度で補正した相対濃度、

■:粗粉砕試料、■:微粉砕試料、■凍結粉砕試料)

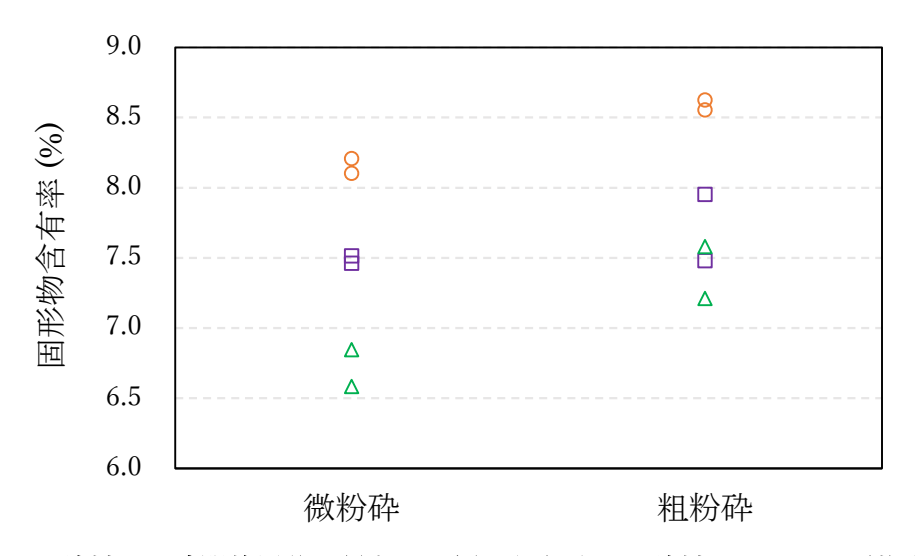


図 B-10. 試料を 1 時間静置後に異なる三層から秤取した試料における固形物含有率 (○:上層、□:中層、△:下層)

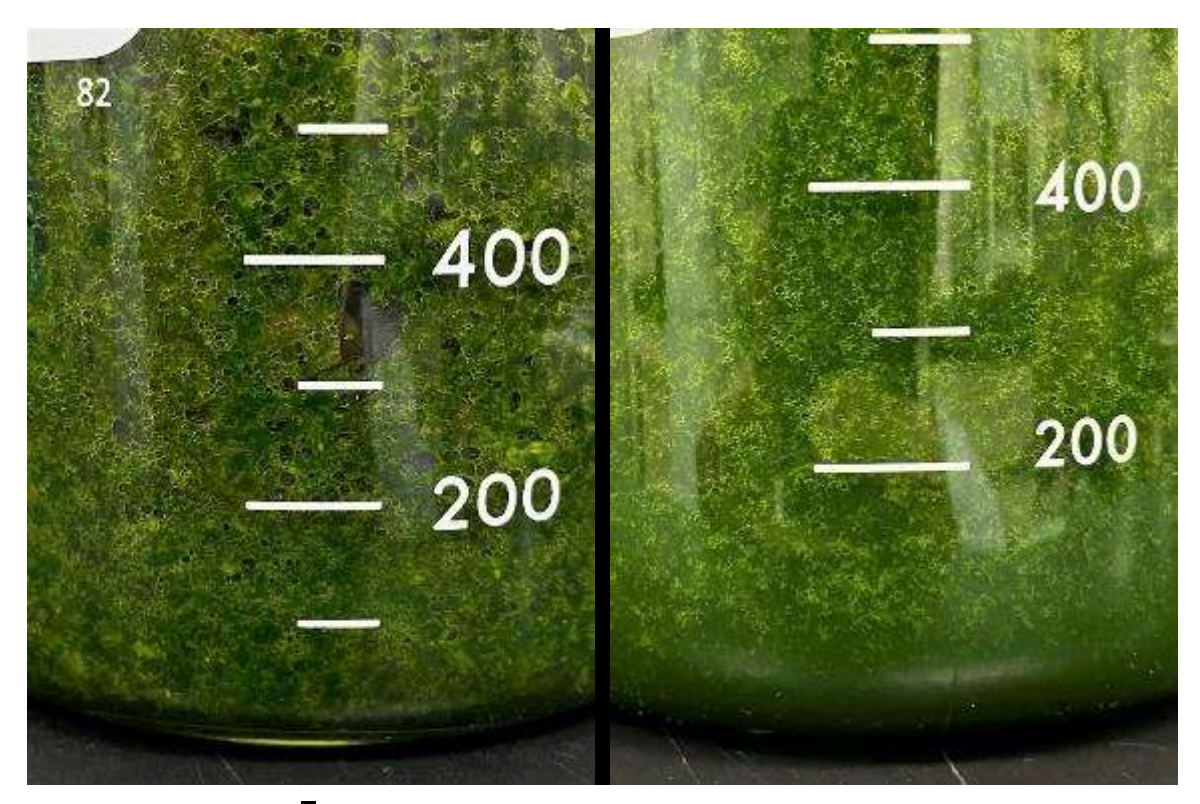


図 B-11. 均質化試料を 1 時間静置した後の状態

(左:粗粉砕試料、右:微粉砕試料)

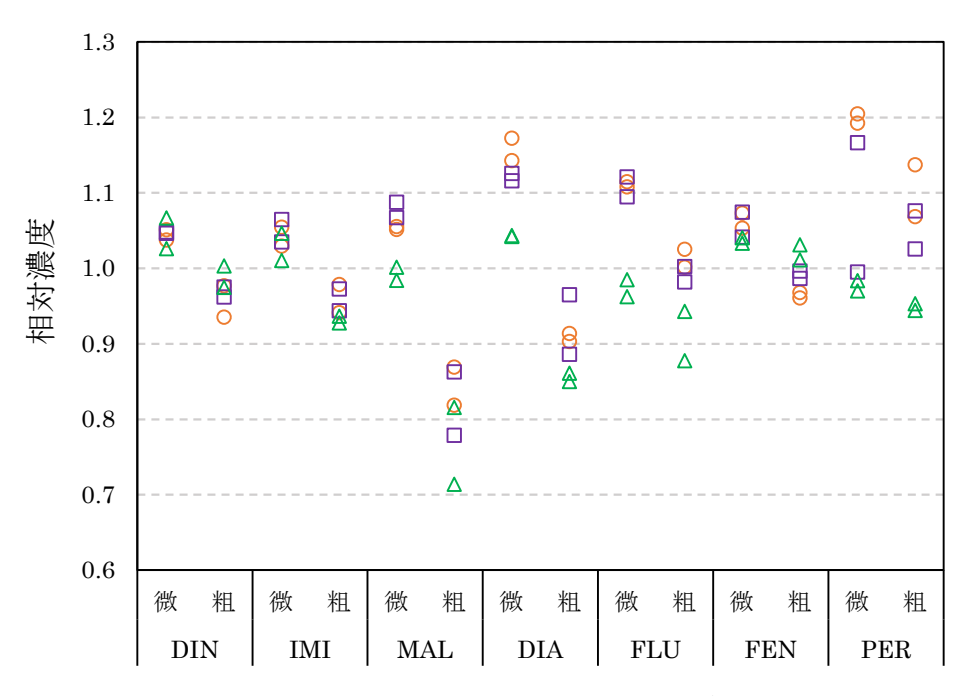


図 B-12. 異なる三層における相対濃度

(均質化直後における粗粉砕試料および微粉砕試料の 20g 秤取試料中濃度で補正した相対濃度、微:微粉砕試料、粗:粗粉砕試料、○:上層、□:中層、△:下層)

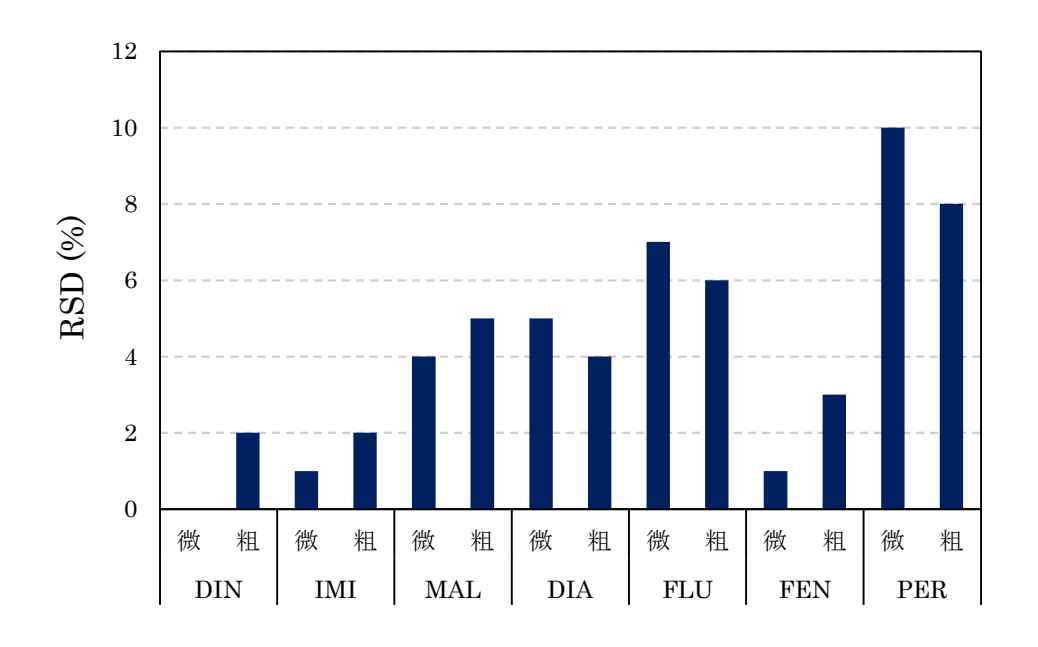


図 B-13. 異なる三層における平均分析値の変動

(微:微粉砕試料、粗:粗粉砕試料)

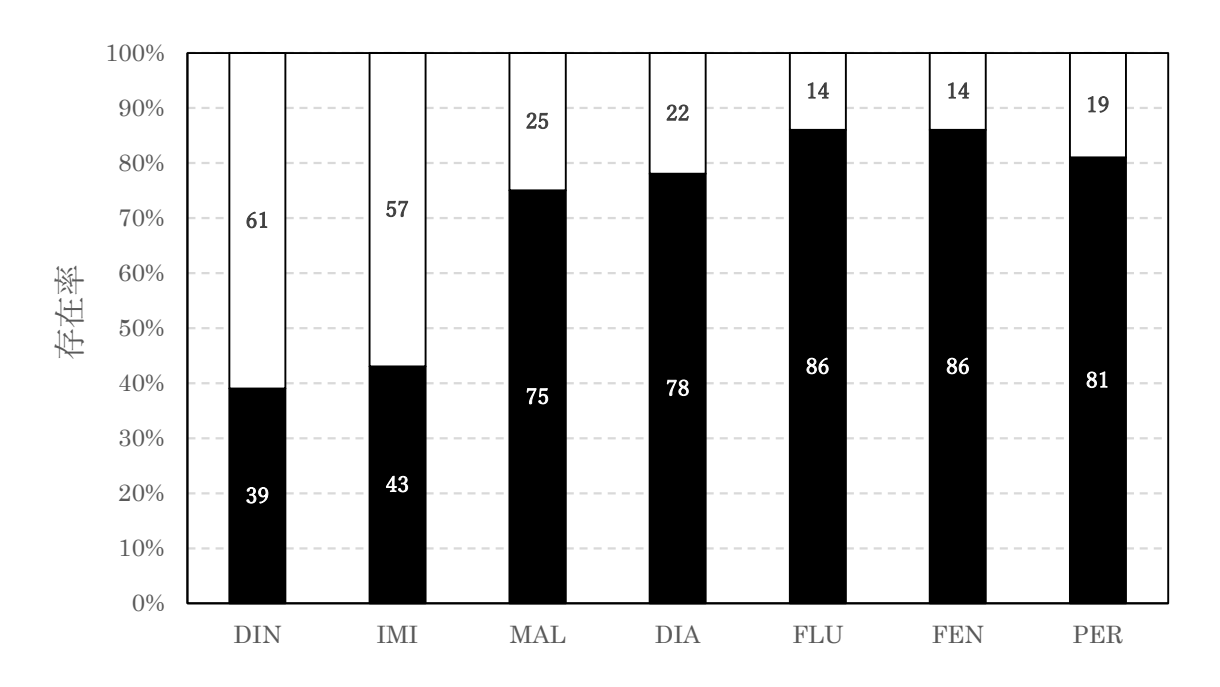


図 B-14. 微粉砕試料を遠心分離により分画した沈殿と上澄み液中の農薬存在率

(■:沈殿、□:上澄み液)

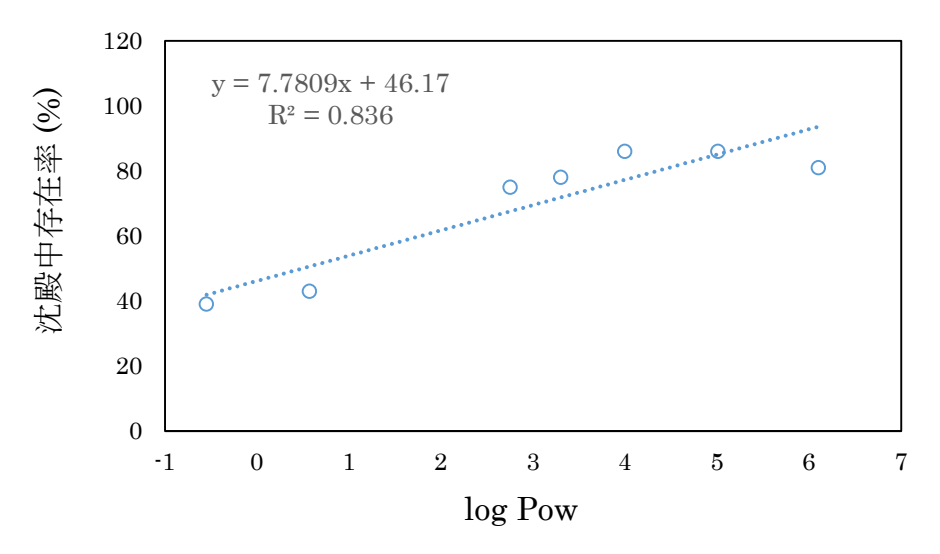


図 B-15. 各農薬の極性と沈殿中存在率の関係

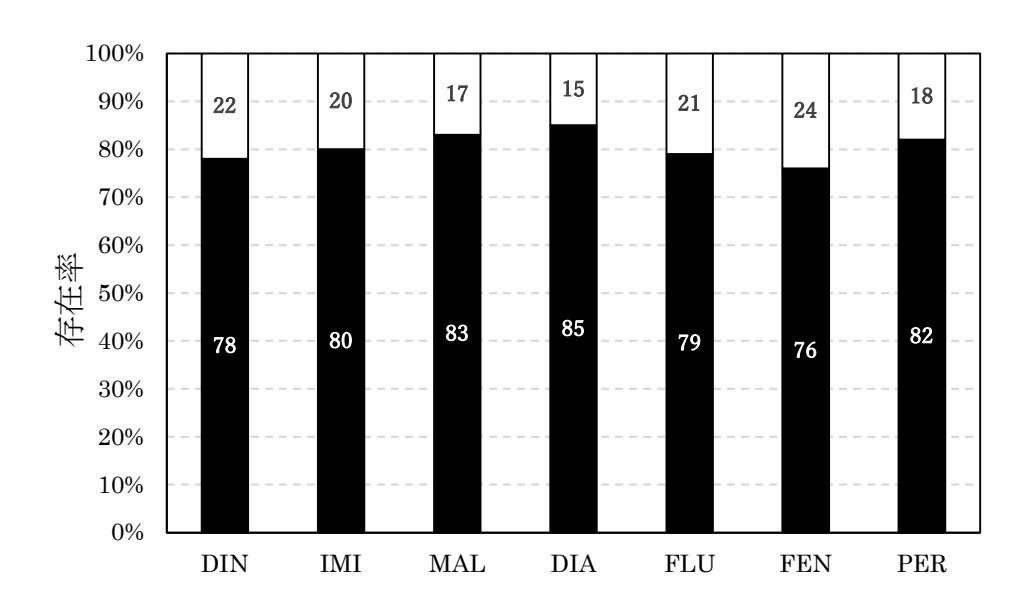


図 B-16. 粗粉砕試料を目開き 1 mm の試験篩に通過させた後の篩上残渣および 通過物中における各農薬の存在率 (■: 篩上残渣、□: 通過物)

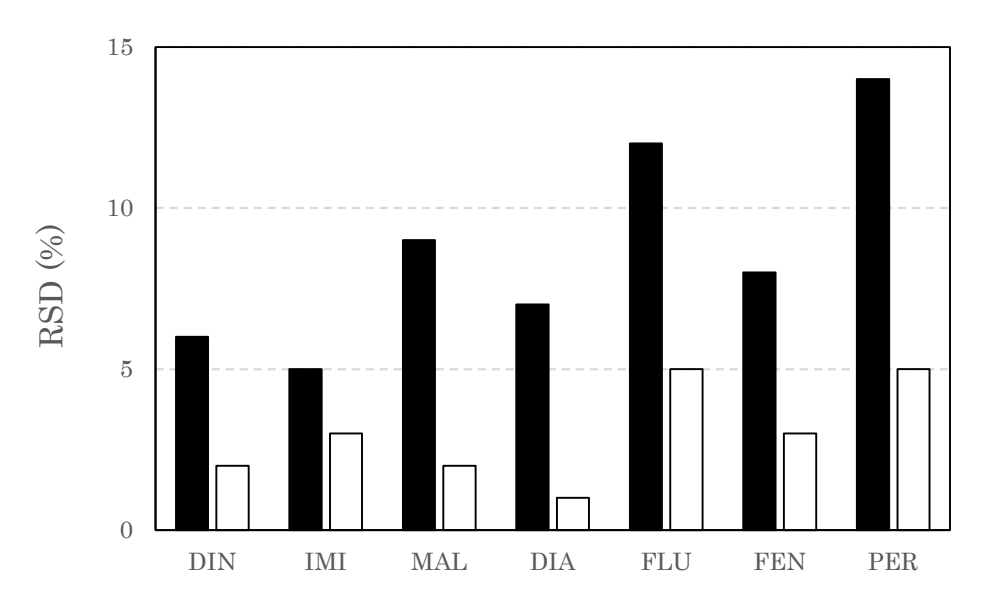


図 B-17. 粗粉砕試料を目開き 1 mm の試験篩に通過させた後の篩上残渣および 通過物中における各農薬の分析値変動 (■: 篩上残渣、□:通過物)

表 B-1 MS パラメーター

八七十五十五十五万万	DP	CE	CXP	プリカーサー	プロダクト
分析対象物質	(V)	(V)	(V)	イオン (m/z)	イオン (m/z)
ジノテフラン	51	17	10	203.1	129.1
イミダクロプリド	61	21	6	256.0	209.0
マラチオン	44	17	6	331.0	127.1
ダイアジノン	45	31	2	305.0	169.0
フルフェノクスロン	101	27	6	489.1	158.1
フェンピロキシメート	96	23	6	422.2	366.0
ペルメトリン	51	27	8	407.9	183.1

表 B-2 真度および精度の評価基準

添加濃度 (mg/kg)	平均回収率 (%)	併行相対標準偏差 (%)		
0.01 以下	60~120	30		
0.01 超~0.1 以下	70~120	20		
0.1 超~1.0 以下	70~110	15		
1.0 超	70~110	10		

表 B-3. 妥当性の確認結果

添加濃度			平均回収	平均回収率 (%)[RSDr(%)]					
(mg/kg)	DIN	IMI	MAL	DIA	FLU	FEN	PER		
0.01ª	104 [4]	97 [6]	97 [6]	97 [8]	91 [5]	84 [5]	88 [4]		
0.5 a	110 [3]	105 [3]	105 [3]	96 [4]	95 [4]	99 [2]	89 [5]		
0.5 b	99 [3]	102 [3]	101 [4]	90 [5]	100 [2]	105 [3]	94 [3]		
15 a	102 [3]	99 [3]	108 [2]	_	88 [1]	109 [1]	92 [7]		
50 a	_	_	_	102 [1]	_	_	_		

n=5

表 B-4. マトリックス効果

マトリックス効果 (%)								
DIN	IMI	MAL	DIA	FLU	FEN	PER		
-32	-3	-1	-3	-19	-5	-23		

a 市販品の微粉砕試料を使用

b 無処理区の粗粉砕試料を使用

表 B-5. 分析結果 表 B-5-1. 粗粉砕試料

農薬	平均濃度 (mg/kg) [SD (mg/kg)]										
反 衆		20g		10g		5g		2g		1g	
DIN	5.55	[0.178]	5.58	[0.081]	5.53	[0.075]	5.62	[0.030]	5.59	[0.168]	
IMI	3.79	[0.067]	3.82	[0.067]	3.81	[0.052]	3.76	[0.080]	3.76	[0.134]	
MAL	1.83	[0.077]	1.82	[0.066]	1.81	[0.092]	1.81	[0.128]	1.77	[0.090]	
DIA	14.8	[0.693]	14.6	[0.278]	14.6	[0.382]	14.3	[0.374]	14.3	[0.846]	
FLU	2.44	[0.110]	2.37	[0.037]	2.26	[0.097]	2.28	[0.084]	2.16	[0.177]	
FEN	3.10	[0.072]	3.06	[0.049]	3.01	[0.097]	3.05	[0.067]	3.04	[0.108]	
PER	4.92	[0.388]	4.60	[0.240]	4.38	[0.365]	4.45	[0.383]	3.97	[0.608]	

n=6

表 B-5-2. 微粉砕試料

農薬 -	平均濃度 (mg/kg) [SD (mg/kg)]										
辰栄	20g		1	10g		5g		2g		1g	
DIN	6.00	[0.070]	6.01	[0.081]	6.20	[0.067]	6.40	[0.283]	6.13	[0.064]	
IMI	3.93	[0.066]	3.97	[0.037]	4.08	[0.095]	4.23	[0.175]	4.03	[0.075]	
MAL	2.06	[0.047]	2.11	[0.095]	2.17	[0.035]	2.21	[0.105]	2.13	[0.049]	
DIA	15.2	[0.581]	15.2	[0.714]	15.6	[0.237]	15.8	[0.472]	15.5	[0.479]	
FLU	2.63	[0.035]	2.62	[0.066]	2.55	[0.063]	2.63	[0.120]	2.49	[0.070]	
FEN	3.18	[0.060]	3.20	[0.056]	3.20	[0.075]	3.24	[0.155]	3.06	[0.099]	
PER	4.98	[0.244]	5.25	[0.185]	4.80	[0.205]	5.30	[0.221]	4.99	[0.309]	

n=6

表 B-5-3. 凍結粉砕試料

農薬 -	平均濃度 (mg/kg) [SD (mg/kg)]										
辰栄	20g		1	10g		5g		2g		1g	
DIN	5.78	[0.127]	5.80	[0.056]	6.05	[0.119]	6.13	[0.057]	6.20	[0.088]	
IMI	3.82	[0.076]	3.88	[0.045]	4.01	[0.108]	4.02	[0.106]	4.03	[0.057]	
MAL	2.33	[0.061]	2.26	[0.071]	2.47	[0.101]	2.40	[0.109]	2.52	[0.105]	
DIA	14.8	[0.411]	14.9	[0.450]	15.4	[0.327]	15.6	[0.341]	15.4	[0.577]	
FLU	2.61	[0.064]	2.66	[0.070]	2.70	[0.058]	2.66	[0.037]	2.61	[0.078]	
FEN	3.13	[0.069]	3.07	[0.081]	3.18	[0.077]	3.14	[0.108]	3.09	[0.058]	
PER	5.00	[0.300]	4.97	[0.301]	4.95	[0.506]	5.04	[0.343]	4.81	[0.357]	

n=6

表 C-1. 農薬製剤の散布条件

制刻友(帝日夕)	右动比八夕 (败旦)	有効成分	希釈
製剤名 (商品名) 	有効成分名 (略号)	含量 (%)	倍率
アルバリン顆粒水溶剤	ジノテフラン (DIN)	20	2000
アドマイヤーフロアブル	イミダクロプリ ド(IMI)	20	2000
マラソン乳剤	マラチオン (MAL)	50	1000
ダイアジノン乳剤	ダイアジノン (DIA)	40	700
カスケード乳剤	フルフェノクスロン (FLU)	10	4000
フェニックス顆粒水和剤	フルベンジアミド (FLB)	20	2000
アディオン乳剤	ペルメトリン (PER)	20	2000

表 C-2. MS パラメーター

八七十五十五五	DP	CE	CXP	プリカーサー	プロダクト
分析対象物質	(V)	(V)	(V)	イオン (m/z)	イオン (m/z)
ジノテフラン	51	17	10	203.1	129.1
イミダクロプリド	61	21	6	256.0	209.0
マラチオン	44	17	6	331.0	127.1
ダイアジノン	45	31	2	305.0	169.0
フルフェノクスロン	101	27	6	489.1	158.1
ペルメトリン	51	27	8	407.9	183.1
フルベンジアミド	-90	-46	-1	680.9	254.1



図. C-1.1 作物写真 (無処理区)



図. C-1.2 作物写真(処理区)

表 C-3. 妥当性の確認結果

添加濃度	平均回収率 (%)[RSDr(%)]									
(mg/kg)	DIN	IMI	MAL	DIA	FLU	FLB	PER			
0.01	99 [2]	89 [2]	109 [5]	106 [6]	106 [4]	93 [5]	106 [2]			
0.5	96 [1]	99 [3]	94 [5]	90 [4]	95 [2]	104 [4]	87 [1]			
5	98 [2]	105 [5]	105 [5]	_	102 [10]	109 [7]	84 [5]			
15	_	_	_	109 [5]	_	_	_			

表 C-4. マトリックス効果

マトリックス効果 (%)									
DIN	IMI	MAL	DIA	FLU	FLB	PER			
-33	-13	-4	-1	-27	+2	-12			



図 C-2. ミキサー稼働時間別のブロッコリー均質化状態 (常温操作)



図 C-3. 凍結粉砕試料の均質化状態 (左:調製作業時、右:解凍時)





図 C-4. ヘラ処理 (左) 及び流水洗浄処理 (右) による篩通過時の様子

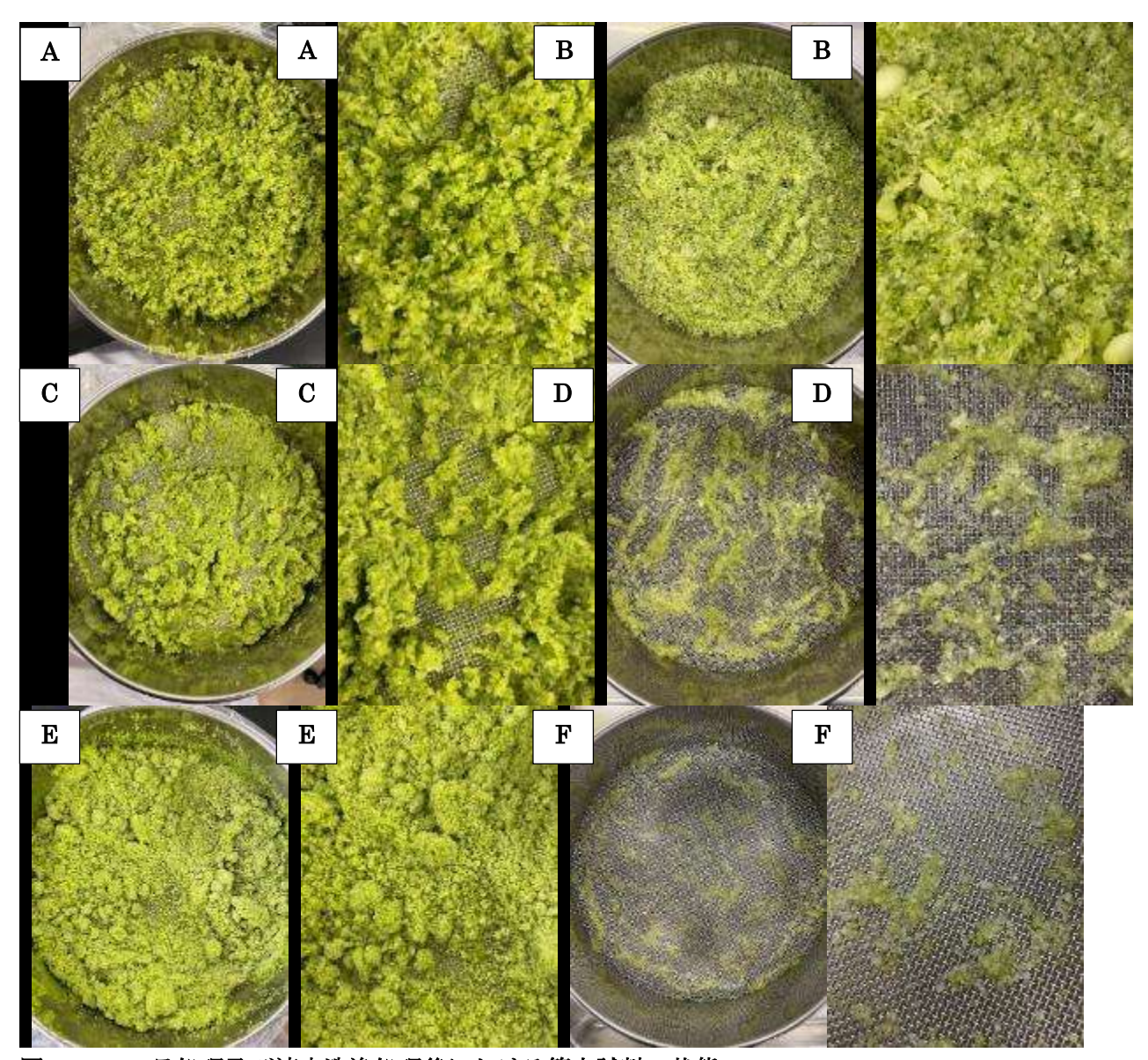
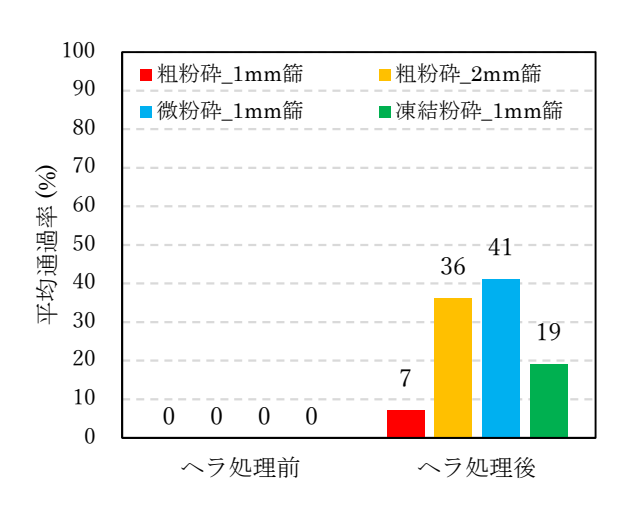


図 C-5. ヘラ処理及び流水洗浄処理後における篩上試料の状態

A:粗粉砕試料のヘラ処理、B:粗粉砕試料の流水洗浄処理、C:微粉砕試料のヘラ処理、

D: 微粉砕試料の流水洗浄処理、E: 凍結砕試料のヘラ処理、F: 凍結砕試料の流水洗浄処理 (左:

全体写真、右:拡大写真)



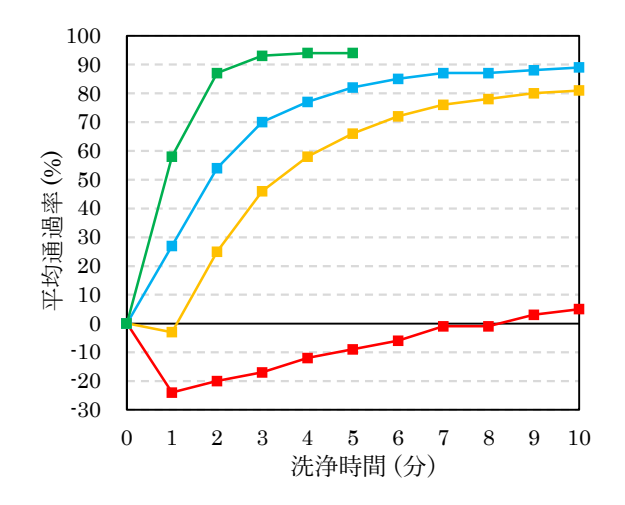


図 C-6. ヘラ処理時 (左) 及び流水洗浄処理時 (右) の篩通過率

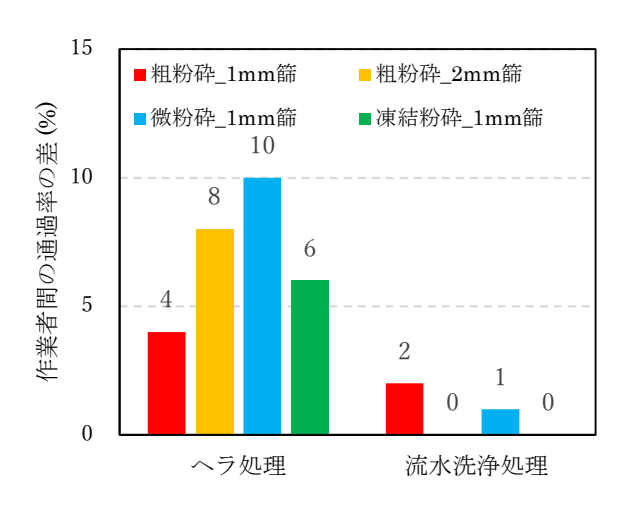


図 C-7. 異なる 2 名の作業者間の篩通過率の差

表 C-5.1 分析結果 (粗粉砕試料)

 農薬 -	平均濃度 (mg/kg) [SD (mg/kg)]								
長栄 -	20g	10g	5g	2g	1g				
DIN	1.70 [0.050]	1.76 [0.061]	1.77 [0.030]	1.74 [0.028]	1.76 [0.074]				
IMI	1.72 [0.063]	1.81 [0.055]	1.86 [0.073]	1.79 [0.022]	1.77 [0.071]				
MAL	0.51 [0.029]	0.49 [0.033]	0.49 [0.032]	0.48 [0.027]	0.49 [0.012]				
DIA	6.70 [0.388]	6.70 [0.345]	6.88 [0.323]	6.61 [0.384]	6.47 [0.174]				
FLU	0.45 [0.025]	0.42 [0.011]	0.44 [0.036]	0.44 [0.014]	0.43 [0.038]				
FLB	1.81 [0.058]	1.84 [0.081]	1.78 [0.070]	1.82 [0.095]	1.83 [0.119]				
PER	1.52 [0.040]	1.52 [0.098]	1.56 [0.051]	1.55 [0.072]	1.50 [0.032]				

n=6

表 C-5.2. 分析結果(微粉砕試料)

農薬 -	平均濃度 (mg/kg) [SD (mg/kg)]										
辰架	20g		10g		5g		2g		1	1g	
DIN	1.96	[0.038]	1.94	[0.016]	1.98	[0.061]	2.01	[0.024]	2.03	[0.078]	
IMI	1.96	[0.080]	1.99	[0.035]	2.03	[0.053]	2.03	[0.064]	2.03	[0.047]	
MAL	0.76	[0.026]	0.79	[0.033]	0.80	[0.036]	0.78	[0.038]	0.78	[0.033]	
DIA	7.34	[0.253]	7.63	[0.163]	7.36	[0.300]	7.30	[0.255]	6.90	[0.540]	
FLU	0.53	[0.012]	0.48	[0.026]	0.47	[0.031]	0.47	[0.023]	0.45	[0.033]	
FLB	2.06	[0.064]	1.98	[0.067]	2.09	[0.102]	2.07	[0.085]	2.07	[0.086]	
PER	1.82	[0.010]	1.63	[0.081]	1.61	[0.059]	1.64	[0.057]	1.53	[0.068]	

n=6

表 C-5.3 分析結果(凍結粉砕試料)

農薬	平均濃度 (mg/kg) [SD (mg/kg)]										
反栄	20g		10g		5g		2g		1g		
DIN	1.80	[0.026]	1.88	[0.019]	1.88	[0.054]	1.85	[0.059]	1.83	[0.055]	
IMI	1.85	[0.032]	1.91	[0.055]	1.94	[0.024]	1.86	[0.083]	1.86	[0.115]	
MAL	0.74	[0.037]	0.74	[0.074]	0.70	[0.032]	0.72	[0.050]	0.70	[0.025]	
DIA	6.93	[0.267]	7.12	[0.312]	6.74	[0.176]	6.62	[0.233]	6.61	[0.224]	
FLU	0.50	[0.014]	0.46	[0.025]	0.44	[0.021]	0.43	[0.010]	0.42	[0.022]	
FLB	1.74	[0.055]	1.74	[0.034]	1.74	[0.061]	1.66	[0.066]	1.68	[0.050]	
PER	1.73	[0.036]	1.59	[0.027]	1.51	[0.034]	1.49	[0.027]	1.40	[0.070]	

n=6

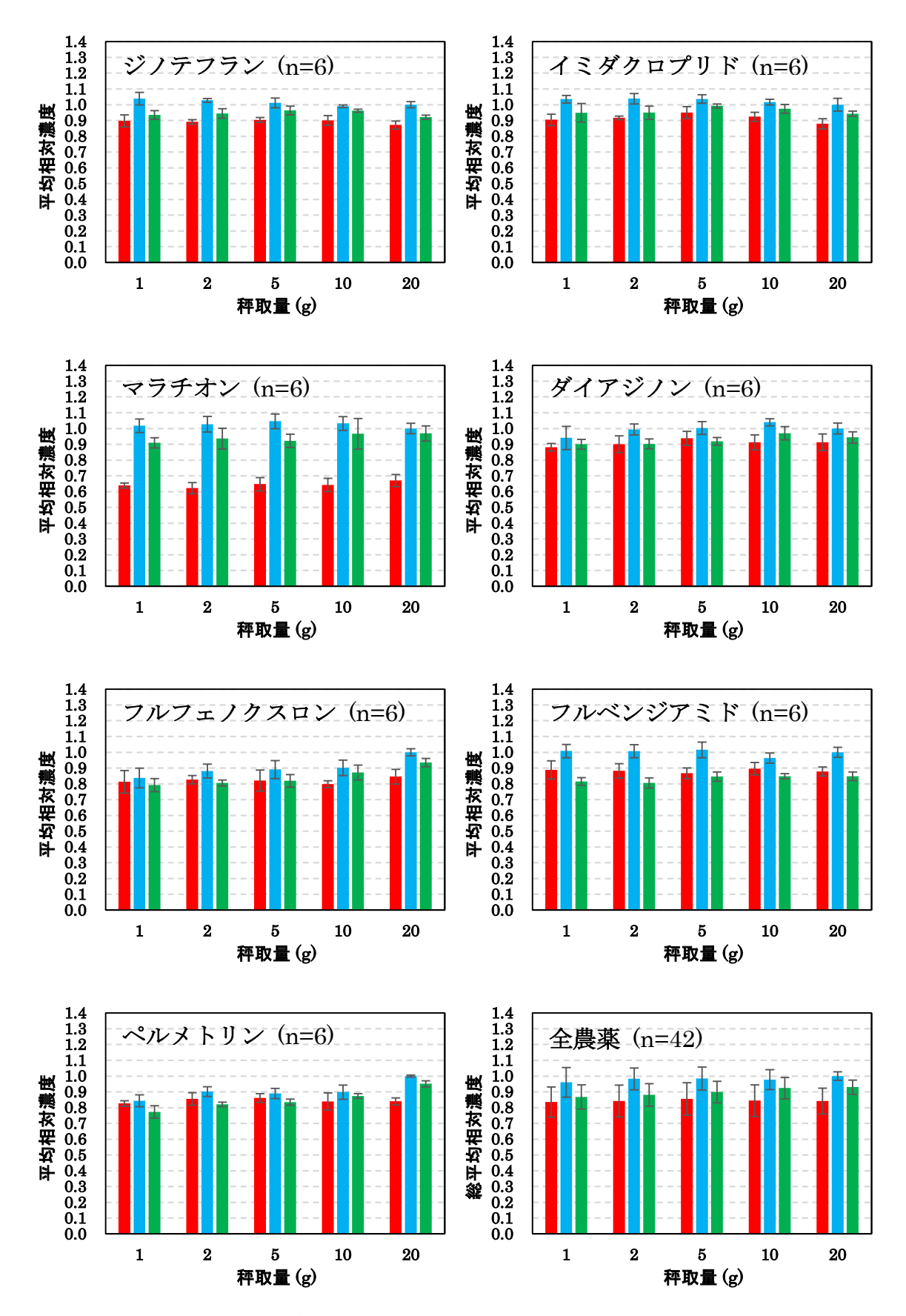


図 C-8. 秤取量別の相対濃度

微粉砕試料における 20g 秤取時の平均濃度に対する相対濃度

■:粗粉砕試料、■:微粉砕試料、■凍結粉砕試料

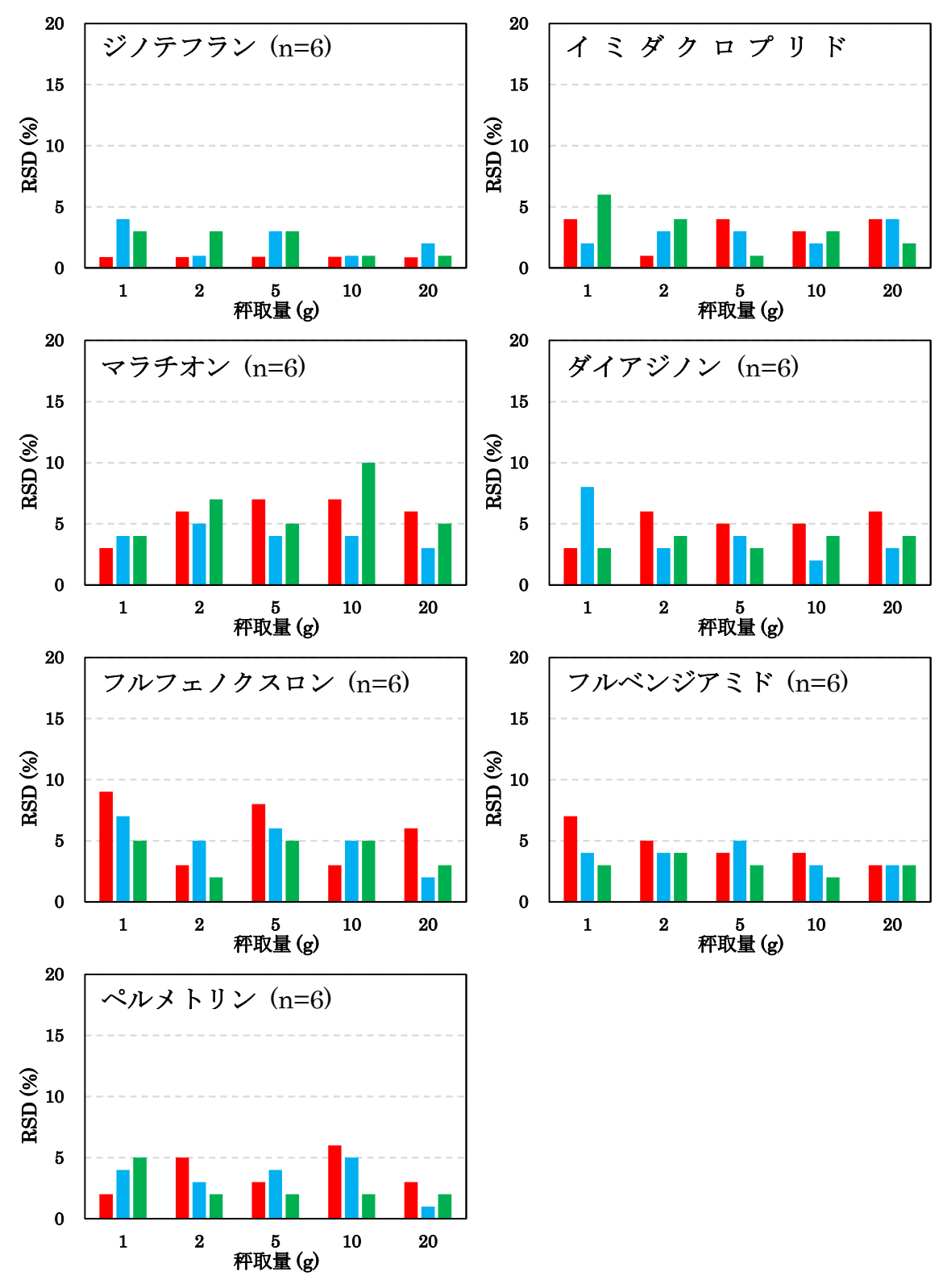


図 C-9. 秤取量別の分析値の変動

■:粗粉砕試料、■:微粉砕試料、■凍結粉砕試料

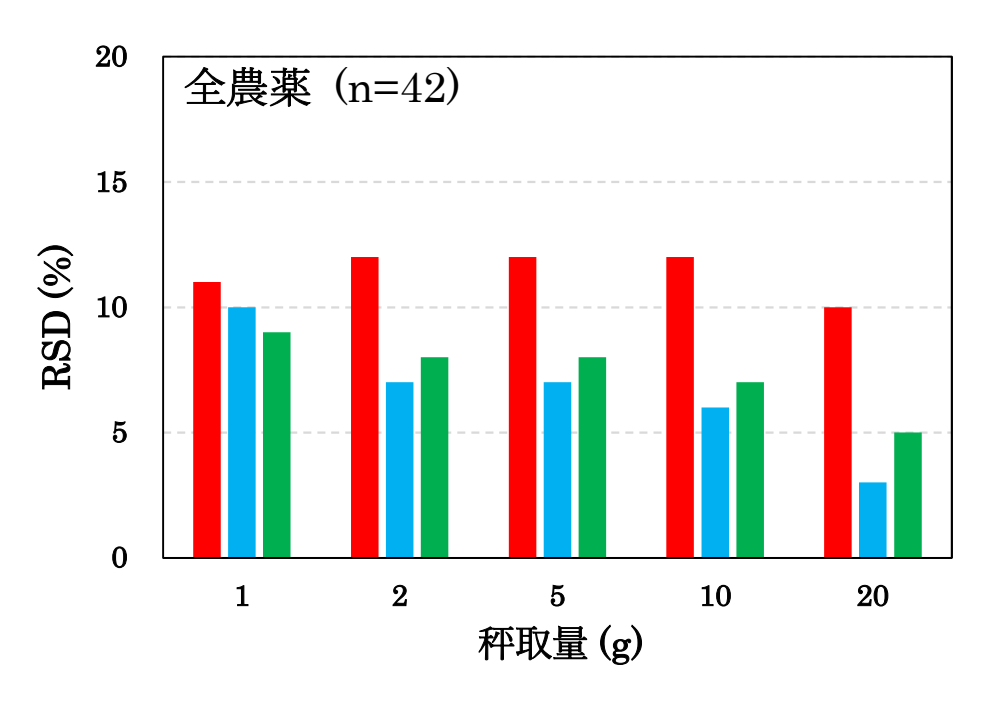


図. C-10. 7 種農薬全体での秤取量別相対濃度の変動

微粉砕試料における20g秤取時の平均濃度で補正した相対濃度、

■:粗粉砕試料、■:微粉砕試料、■凍結粉砕試料

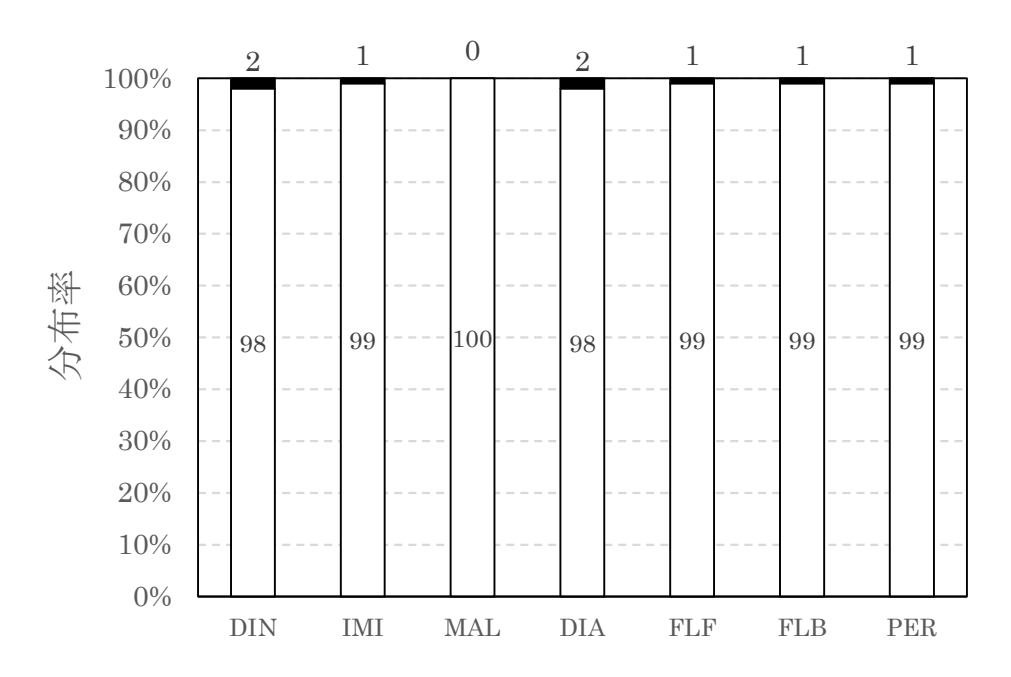
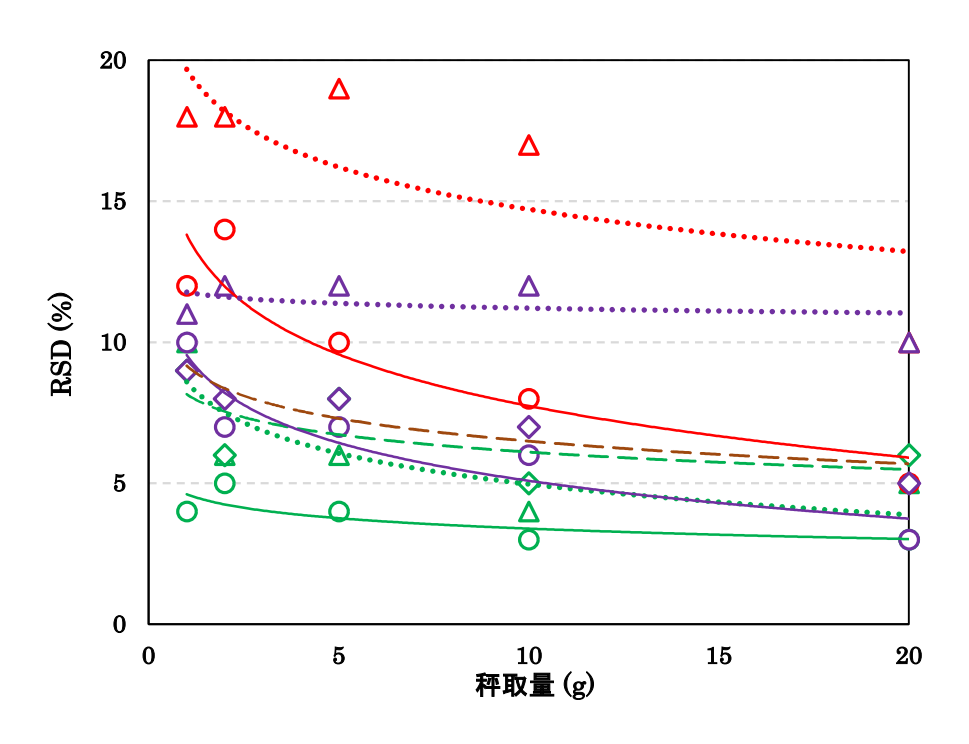


図. C-11. 各農薬の茎及び蕾における分布率

(□:蕾、■:茎)



	粗粉砕	y = -2.158ln(x) + 19.68	R = -0.712
○ ト	微粉砕	$y = -2.64 \ln(x) + 13.813$	R= -0.909
△ ホウレンソウ	粗粉砕	$y = -1.575 \ln(x) + 8.5938$	R= -0.831
○ ホウレンソウ	微粉砕	y = -0.533ln(x) + 4.6096	R = -0.766
◇ ホウレンソウ	凍結粉砕	y = -0.892ln(x) + 8.1554	R = -0.653
△ ブロッコリー	粗粉砕	$y = -0.247 \ln(x) + 11.776$	R= -0.332
○ ブロッコリー	微粉砕	$y = -1.941 \ln(x) + 9.5513$	R= -0.931
◇ ブロッコリー	凍結粉砕	y = -1.162ln(x) + 9.1661	R= -0.922

図. C-12. トマト、ホウレンソウ及びブロッコリーでの秤取量変化に伴う分析値変動の比較

表 A-7 調製直後の試料温度 (°C)

試料調製法	牛筋肉	豚筋肉	鶏筋肉	牛脂肪	豚脂肪	牛肝臓
常温磨砕法	38	36	40	24	28	25
凍結粉砕法(液体窒素・凍結方式)	-52	-50	-52	-39	-38	-55
凍結粉砕法(ドライアイス・予冷方	-74	-56	-64	-78	-78	-67
式)						
凍結粉砕法(ドライアイス・予備凍結	-66	_	_	-74	-61	-74
方式)						

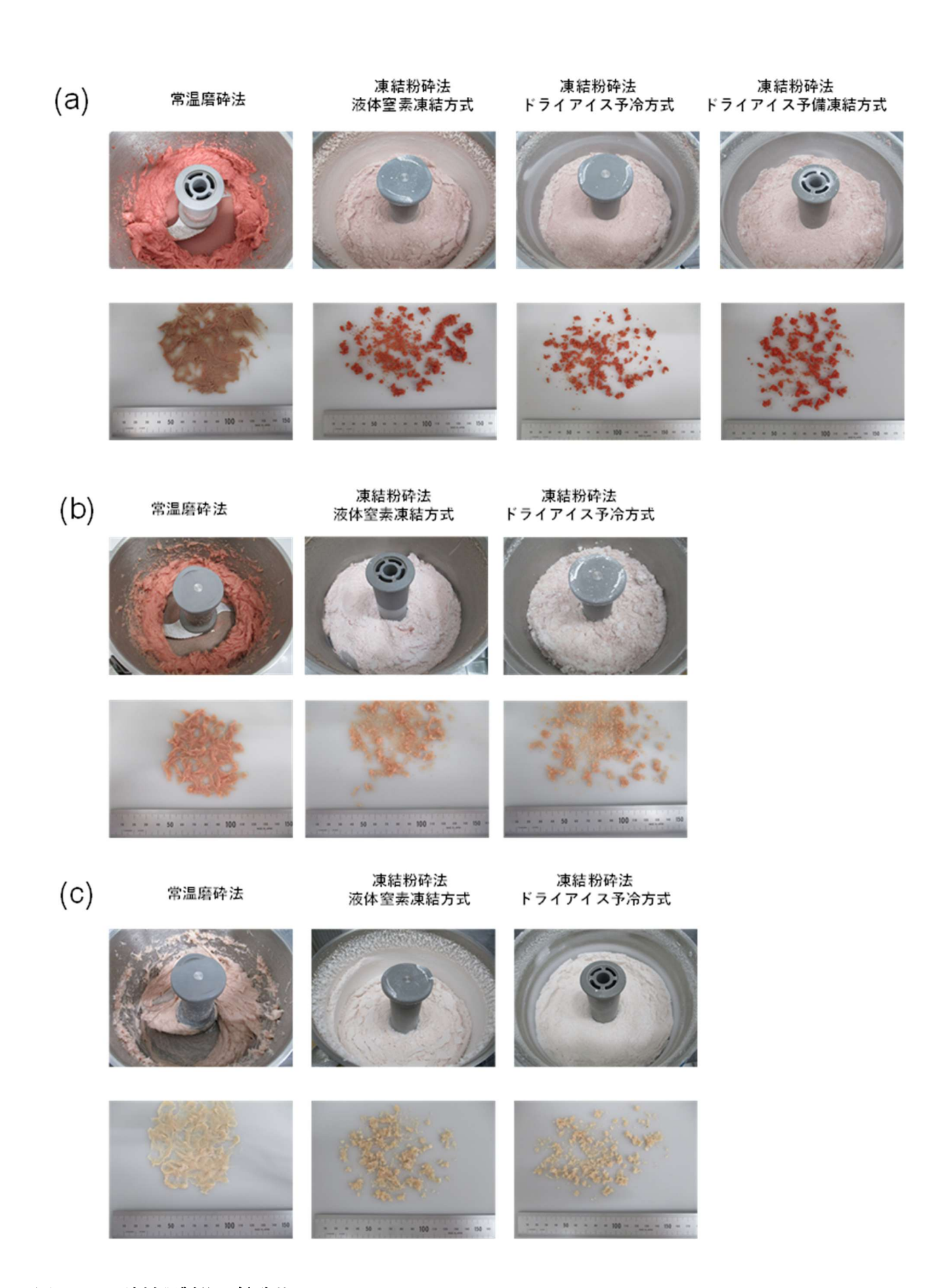


図 A-21. 試料調製後の粉砕状況

(a) 牛の筋肉、(b) 豚の筋肉、(c) 鶏の筋肉、(d) 牛の脂肪、(e) 豚の脂肪、(f) 牛の肝臓

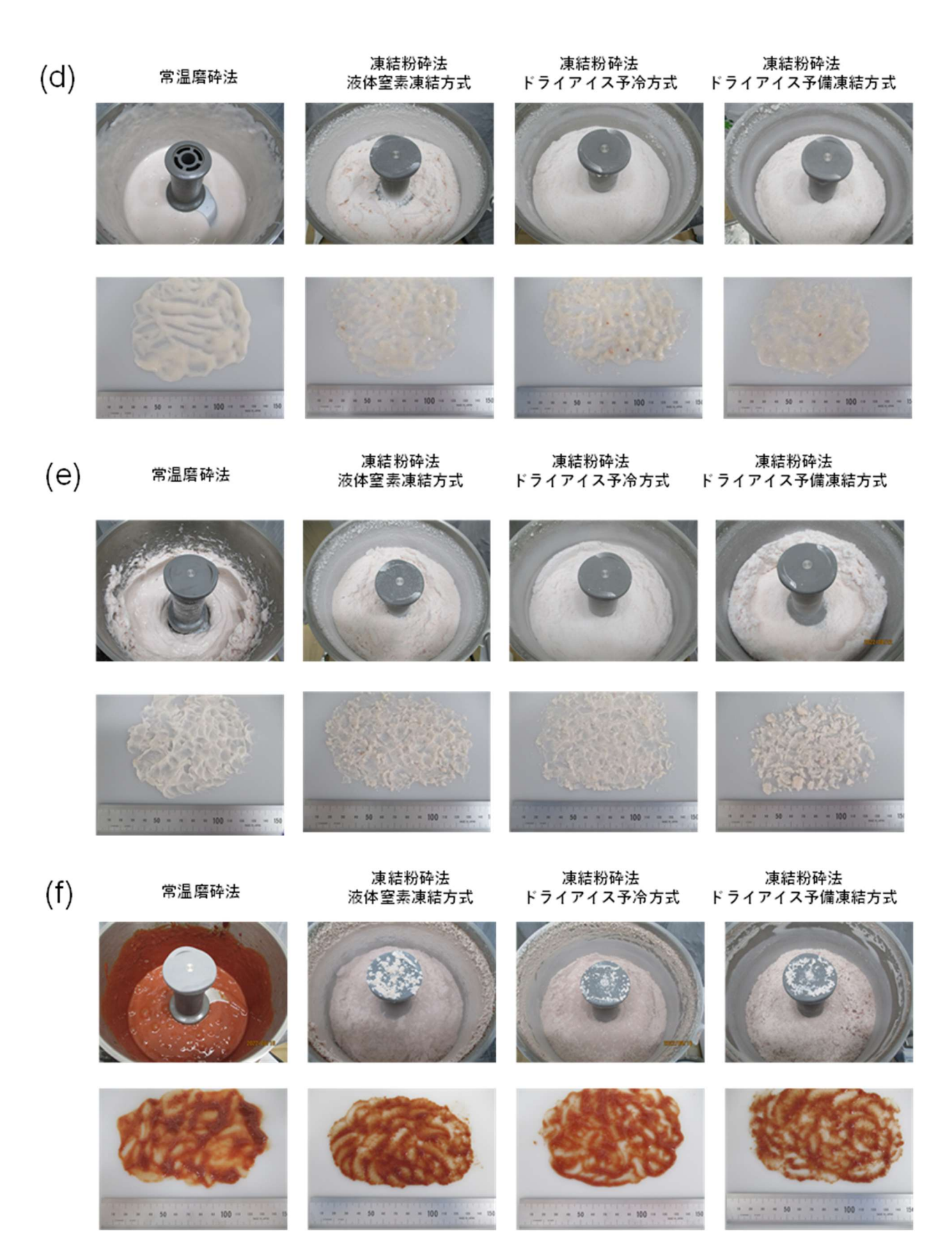


図 A-21. (つづき)

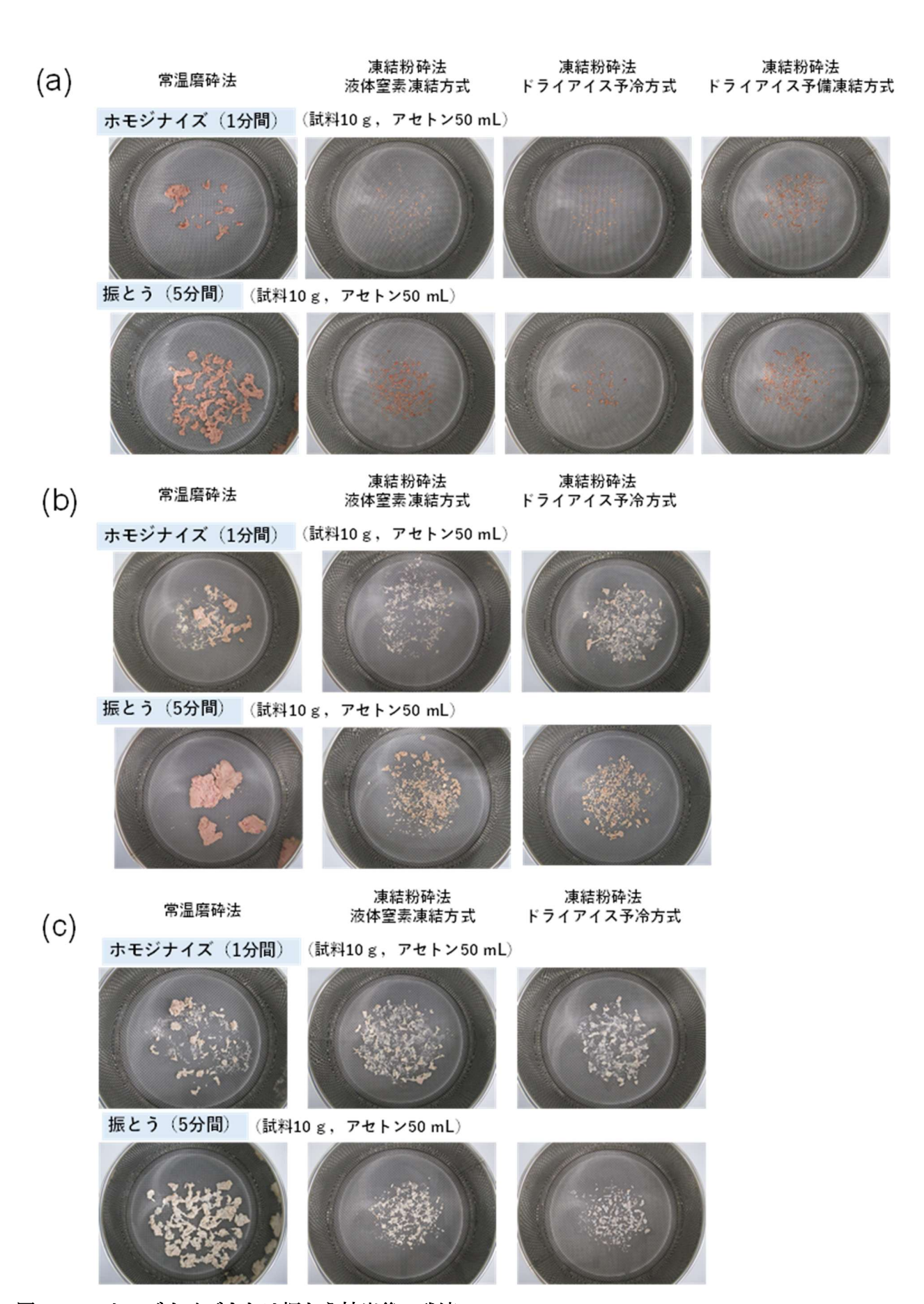


図 A-22. ホモジナイズまたは振とう抽出後の残渣

(a) 牛の筋肉、(b) 豚の筋肉、(c) 鶏の筋肉、(d) 牛の脂肪、(e) 豚の脂肪、(f) 牛の肝臓

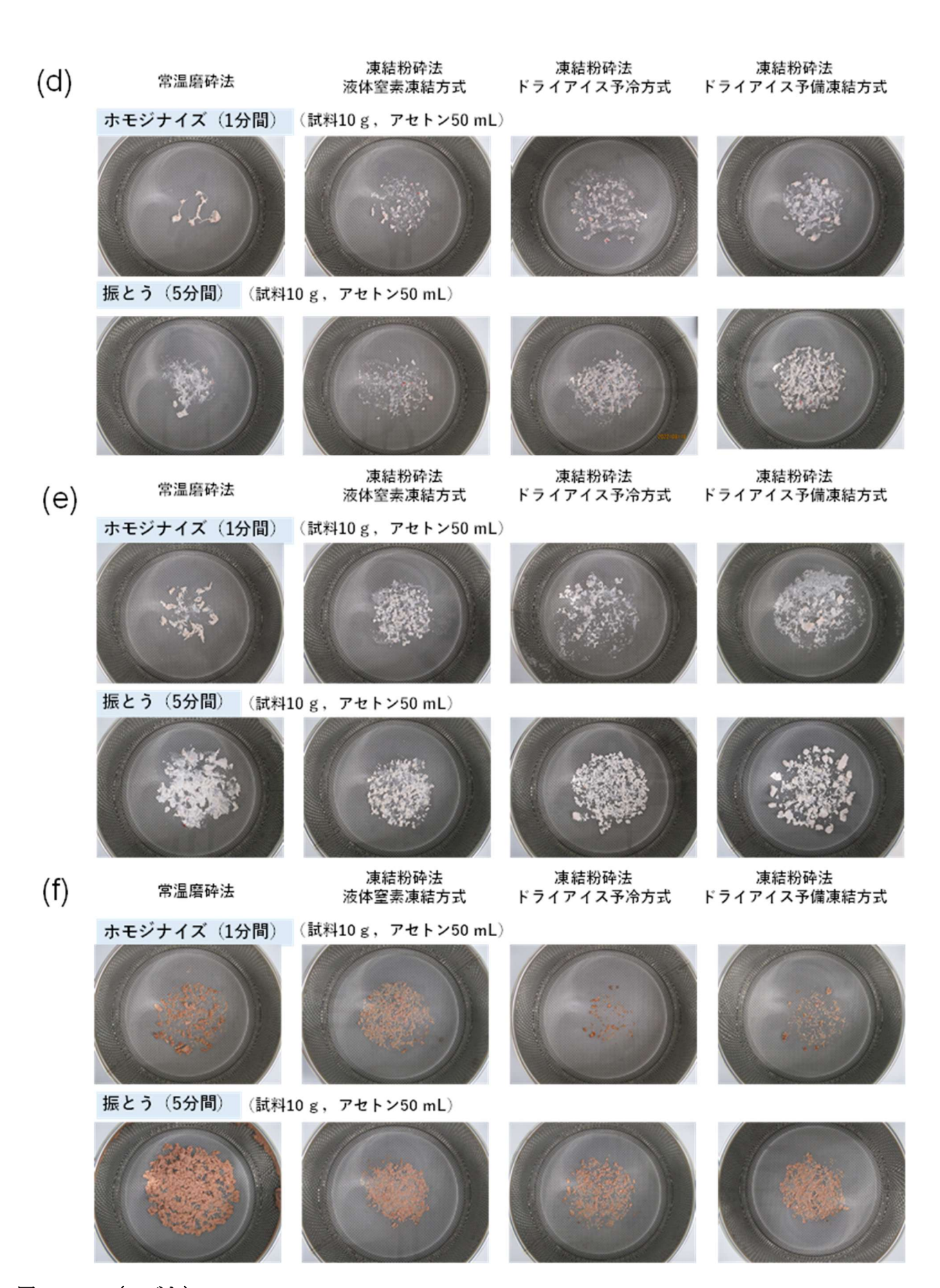


図 A-22. (つづき)

表 B-6. 調製直後の試料温度 (°C)

試料調製法	あゆ1	えび 1	うなぎ	さけ ²
			2	
常温磨砕法	30.4	26.6	32.9	23.5
凍結粉砕法(液体窒素・凍結方式)	-42.8	-50.6	-34.7	-44.7
凍結粉砕法(ドライアイス・予冷方	-75.8	-78.4	-77.1	-74.8
式)				
凍結粉砕法(ドライアイス・予備凍結	-36.0	-46.0	-70.9	-73.9
方式)				

検体の大きさ:2 cm ² 検体の大きさ:1cm

あゆ

(a) 凍結粉砕法 凍結粉砕法 凍結粉砕法 常温磨砕法 ドライアイス予冷方式 液体窒素凍結方式 ドライアイス予備凍結方式 10 20 50 40 50 60 70 80 90 100 112 120 130 140 15 10 20 30 40 50 60 20 60 10 100 130 130 140 15 10 20 30 40 50 00 20 00 00 100 110 120 120 140 15 40 50 60 70 80 10 100 110 120 130 140 15

(b) えび

凍結粉砕法 凍結粉砕法 凍結粉砕法 常温磨砕法 液体窒素凍結方式 ドライアイス予冷方式 ドライアイス予備凍結方式 16 20 38 40 **50** 80 70 80 92 **100** 110 120 130 140 150 10 20 30 40 50 40 70 80 90 100 110 120 130 140 15 48 50 68 70 80 90 100 110 120 130 143 15C

図 B-18. 試料調製後の粉砕状況

(c) うなぎ

常温磨砕法

凍結粉砕法 液体窒素凍結方式

凍結粉砕法 ドライアイス予冷方式

凍結粉砕法 ドライアイス予備凍結方式













凍結粉砕法





(d) さけ

常温磨砕法

液体窒素凍結方式

凍結粉砕法 ドライアイス予冷方式



凍結粉砕法 ドライアイス予備凍結方式



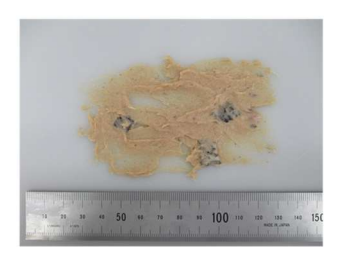








図 B-18. (つづき)

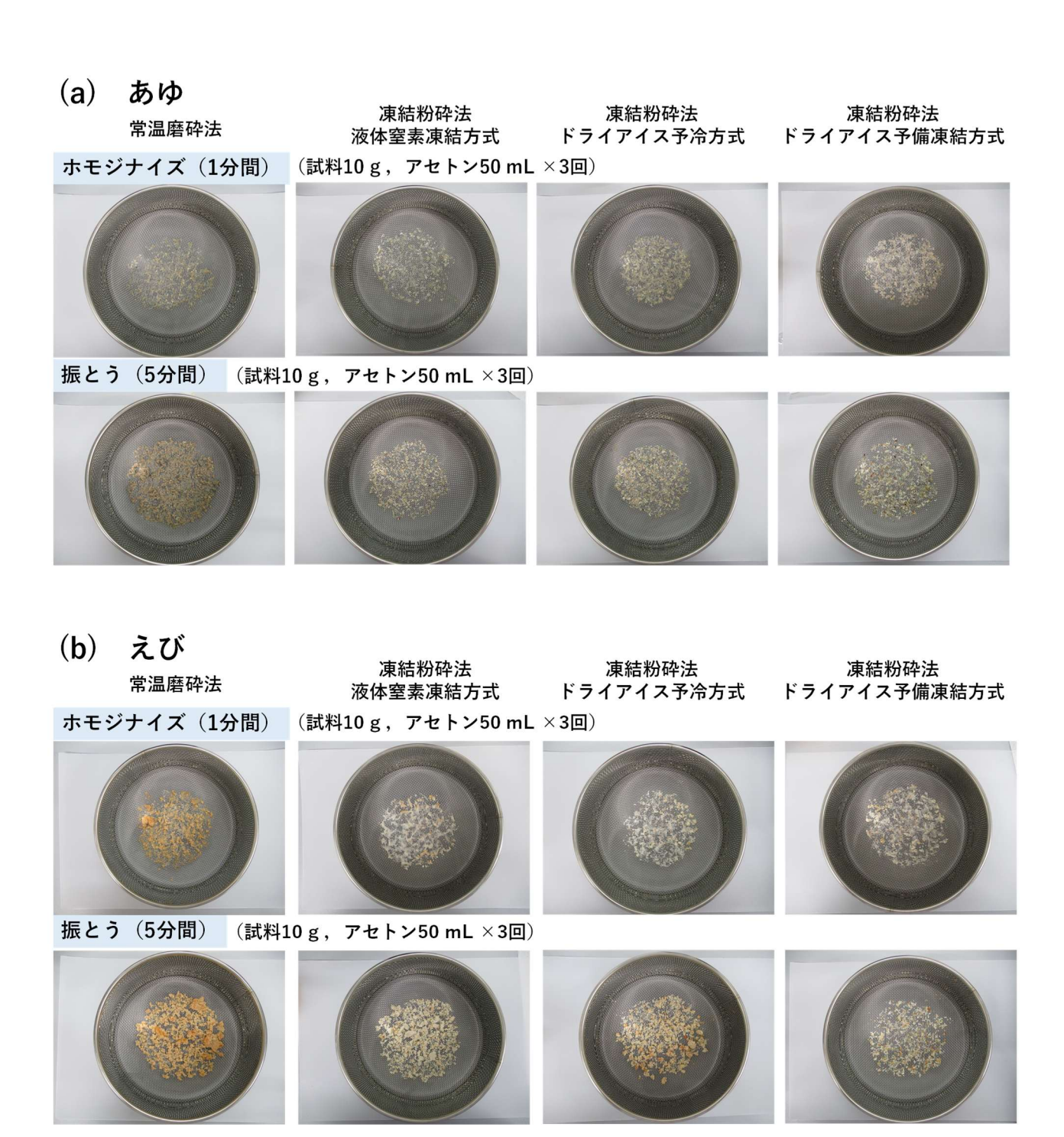


図 B-19. ホモジナイズまたは振とう抽出後の残渣

(c) うなぎ

常温磨砕法

凍結粉砕法 凍結粉砕法 凍結粉砕法 凍結粉砕法 液体窒素凍結方式 ドライアイス予冷方式 ドライアイス予備凍結方式

ホモジナイズ (1分間) (試料10g, アセトン50 mL ×3回)





振とう(5分間) (試料10g,アセトン50 mL ×3回)









(d) さけ

常温磨砕法

凍結粉砕法

凍結粉砕法

凍結粉砕法 液体窒素凍結方式 ドライアイス予冷方式 ドライアイス予備凍結方式

ホモジナイズ (1分間) (試料10 g, アセトン50 mL ×3回)





振とう (5分間) (試料10g, アセトン50 mL×3回)









図 B-19. (つづき)

「ホモジナイズ抽出操作を行うことができなかった

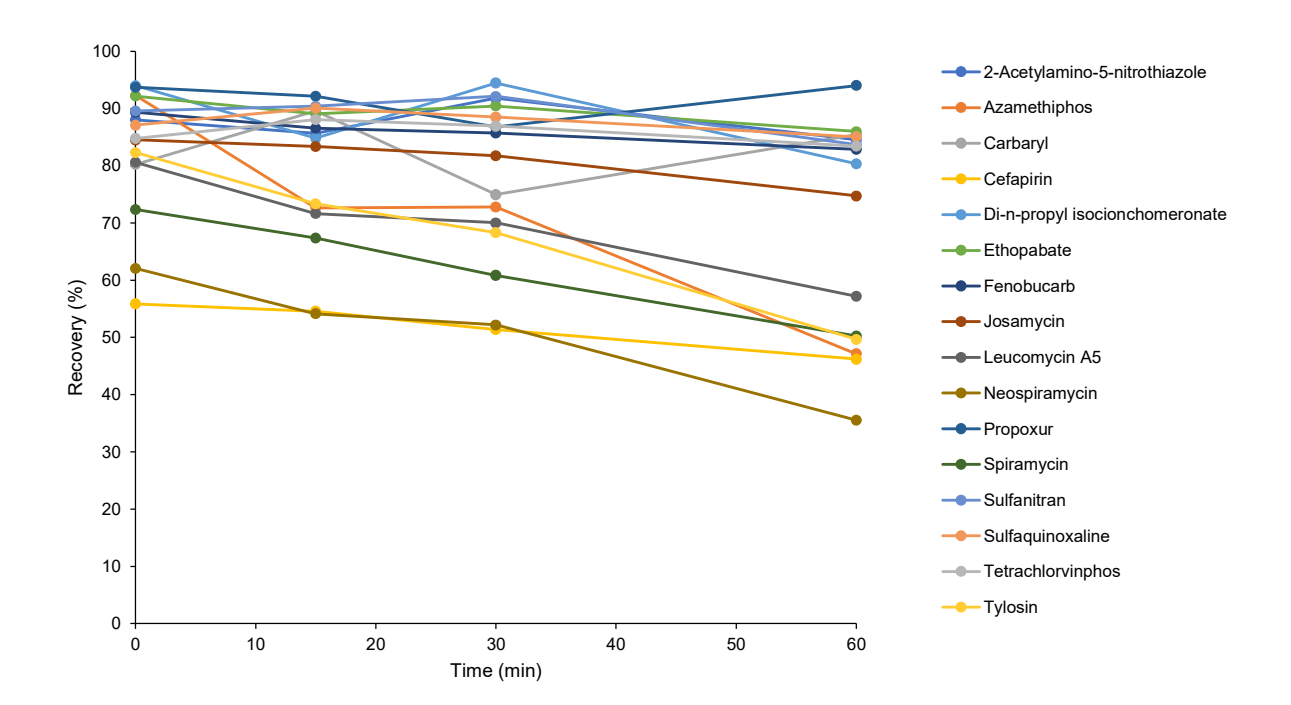


図. C-13. 農薬等の添加後放置時間の回収率 1 への影響(牛の筋肉) 1 $^{n=3}$

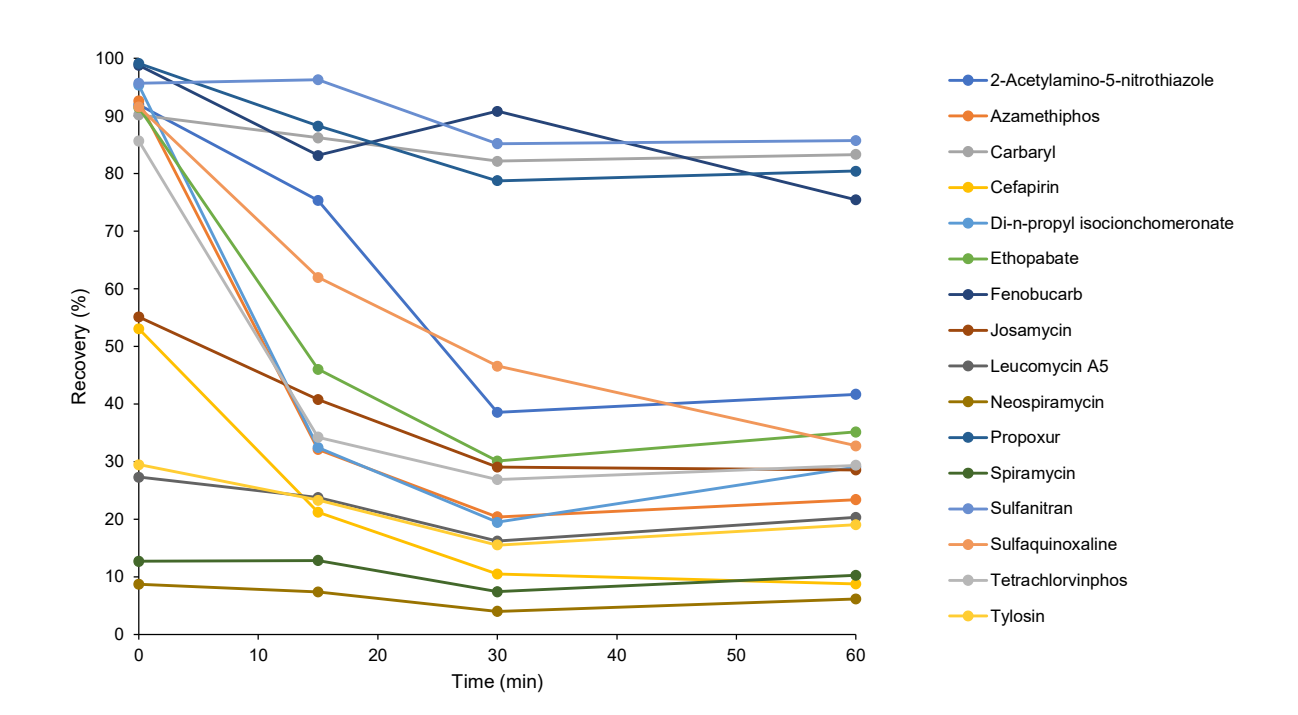


図. C-14. 農薬等の添加後放置時間の回収率 1 への影響(牛の肝臓) 1 $_{n=3}$

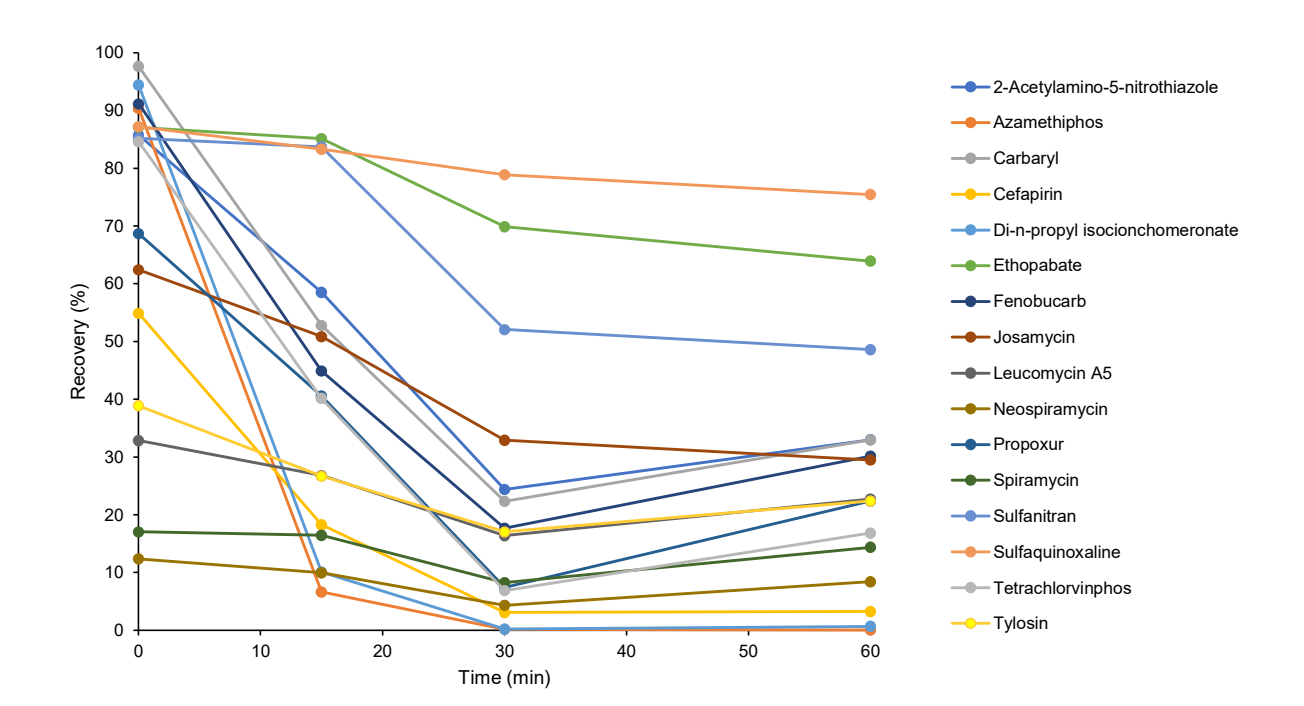


図. C-15. 農薬等の添加後放置時間の回収率 1 への影響(豚の肝臓) 1 $_{n=3}$

表 C-6. 添加後放置時間 0 分及び 30 分の平均回 収率 1 、p 値、q 値

	牛の筋肉					牛の肝臓				豚の肝臓			
	平均回収			FDR補正後	平均回収			FDR補正後	平均回収			FDR補正後	
化合物	放置時間0分	放置時間30分	p値	q值	放置時間0分	放置時間30分	p値	q值	放置時間0分	放置時間30分	p値	q值	
2-Acetylamino-5-nitrothiazole	88	92	0.530	1.00	92	39	0.002	0.11	86	24	< 0.001	< 0.01	
Azamethiphos	92	73	0.003	0.10	93	20	< 0.001	0.02	90	0	< 0.001	< 0.01	
Carbaryl	82	75	0.378	1.00	90	82	0.152	1.00	98	22	0.002	0.05	
Cefapirin	56	51	0.527	1.00	53	10	< 0.001	< 0.01	55	3	< 0.001	< 0.01	
Ciprofloxacin	81	78	0.775	1.00	73	77	0.409	1.00	76	75	0.896	1.00	
Clostebol		91	0.775	1.00	90		0.409	0.06	96	74	0.002	0.02	
	87			1.00	90	76 83						1.00	
Danofloxacin	85	85	0.927				0.280	1.00	82	81	0.913		
Diaveridine	93	94	0.774	1.00	86	80	0.016	0.13	85	81	0.109	0.89	
Difloxacin	85	85	0.986	1.00	88	82	0.123	0.89	86	87	0.820	1.00	
Di-n-propyl isocinchomeronate	94	94	0.865	1.00	95	19	< 0.001	< 0.01	94	0	< 0.001	< 0.01	
Enrofloxacin	88	90	0.766	1.00	84	82	0.502	1.00	83	87	0.264	1.00	
Erythromycin	85	85	0.953	1.00	89	86	0.482	1.00	89	87	0.609	1.00	
Ethopabate	92	90	0.733	1.00	91	30	0.001	< 0.01	87	70	0.002	< 0.01	
Fenobucarb	89	86	0.799	1.00	99	91	0.083	0.38	91	18	< 0.001	< 0.01	
Flumequine	95	94	0.657	1.00	95	93	0.181	0.78	98	99	0.592	1.00	
Josamycin	85	82	0.675	1.00	55	29	0.002	< 0.01	62	33	< 0.001	< 0.01	
Leucomycin A5	81	70	0.096	0.37	27	16	0.028	0.11	33	16	< 0.001	< 0.01	
Marbofloxacin	85	88	0.614	1.00	85	79	0.047	0.17	88	86	0.414	1.00	
Methylprednisolone	84	85	0.804	1.00	99	71	0.018	0.06	84	91	0.361	1.00	
Miloxacin	94	93	0.913	1.00	93	77	0.036	0.12	91	74	< 0.001	< 0.01	
Nalidixic acid	96	97	0.828	1.00	96	94	0.219	0.68	94	97	0.165	0.51	
Neospiramycin	62	52	0.118	0.35	9	4	0.022	0.06	12	4	< 0.001	< 0.01	
Norfloxacin	76	77	0.861	1.00	67	71	0.086	0.24	76	77	0.784	1.00	
Ofloxacin	85	84	0.874	1.00	84	82	0.093	0.25	87	82	0.166	0.45	
Orbifloxacin	83	84	0.916	1.00	84	82	0.551	1.00	86	79	0.156	0.41	
Ormetoprim	81	82	0.852	1.00	79	79	0.944	1.00	82	78	0.055	0.14	
Oxolinic acid	88	88	0.963	1.00	88	85	0.334	0.80	89	86	0.271	0.65	
Piromidic acid	95	95	0.931	1.00	96	93	0.126	0.29	96	96	0.799	1.00	
Prednisolone	87	84	0.797	1.00	95	73	< 0.001	< 0.01	87	80	0.145	0.33	
	94	87	0.658	1.00	99	79	0.040	0.09	69	7	< 0.001	< 0.01	
Propoxur	83	86	0.650	1.00	81	79	0.467	0.09	79	77	0.348	0.73	
Pyrimethamine Sarafloxacin	83	85	0.030	1.00	77	74	0.467	0.54	82	80	0.647	1.00	
Spiramycin	72	61	0.119	0.23	13	7	0.065	0.13	17	8	< 0.001	< 0.01	
Sulfabenzamide	86	88	0.801	1.00	91	88	0.202	0.39	85	84	0.705	1.00	
Sulfabromomethazine	90	93	0.696	1.00	92	89	0.542	1.00	86	82	0.290	0.54	
Sulfacetamide	98	99	0.859	1.00	93	87	0.307	0.55	88	84	0.153	0.28	
Sulfachloropyridazine	86	91	0.449	0.79	90	86	0.102	0.18	91	85	0.116	0.20	
Sulfadiazine	92	94	0.705	1.00	92	90	0.487	0.83	87	78	0.026	0.04	
Sulfadimethoxine	93	96	0.551	0.92	96	94	0.407	0.68	89	91	0.497	0.83	
Sulfadimidine	87	88	0.847	1.00	91	88	0.201	0.33	84	86	0.156	0.25	
Sulfadoxine	92	93	0.934	1.00	94	91	0.299	0.47	93	90	0.207	0.33	
Sulfaethoxypyridazine	87	90	0.714	1.00	95	90	0.079	0.12	88	86	0.741	1.00	
Sulfaguanidine	91	90	0.874	1.00	84	81	0.150	0.23	82	74	0.235	0.35	
Sulfamerazine	86	89	0.715	1.00	92	88	0.047	0.07	87	81	0.005	< 0.01	
Sulfamethoxazole	92	93	0.873	1.00	91	85	0.064	0.09	89	86	0.448	0.65	
Sulfamethoxypyridazine	89	93	0.575	0.81	94	90	0.331	0.47	89	93	0.123	0.17	
Sulfamonomethoxine	88	92	0.520	0.72	95	92	0.503	0.70	84	85	0.907	1.00	
Sulfanilamide	92	88	0.622	0.84	93	88	0.277	0.37	91	97	0.254	0.34	
Sulfanitran	90	92	0.718	0.95	96	85	0.329	0.44	85	52	< 0.001	< 0.01	
Sulfapyridine	85	87	0.639	0.83	90	85	0.145	0.19	92	86	0.067	0.09	
Sulfaquinoxaline	87	89	0.816	1.00	92	47	< 0.001	< 0.01	87	79	0.029	0.04	
Sulfathiazole	87	87	0.879	1.00	88	84	0.254	0.32	86	86	0.922	1.00	
Sulfatroxazole	90	91	0.836	1.00	92	87	0.121	0.15	91	90	0.849	1.00	
Sulfisomdine	88	90	0.663	0.80	94	92	0.629	0.15	89	87	0.447	0.54	
Sulfisoxazole	90	90	0.930	1.00	95	79	0.029	< 0.01	90	79	0.447	< 0.01	
	90	92	0.930	1.00	95	86	0.426	0.49	87	87	0.986	1.00	
Sulfisozole													
Temephos	88	87	0.821	0.94	87	78	0.183	0.21	82	85	0.539	0.61	
Tetrachlorvinphos	85	87	0.755	0.85	86	27	< 0.001	< 0.01	85	7	< 0.001	< 0.01	
α-Trenbolone	95	96	0.698	0.71	97	94	0.025	0.02	95	96	0.022	0.02	
β-Trenbolone	82	85	0.688	0.69	88	80	0.235	0.24	82	77	0.001	< 0.01	
Tiamulin	86	88	0.749	0.83	94	87	0.209	0.23	93	82	0.808	0.89	
Tilmicosin	89	86	0.694	0.75	90	86	0.316	0.34	88	73	0.225	0.24	
Trimethoprim	88	89	0.894	0.95	89	87	0.506	0.54	84	82	0.609	0.65	
Tylosin	82	68	0.063	0.07	29	16	0.005	< 0.01	39	17	< 0.001	< 0.01	

¹ n=3

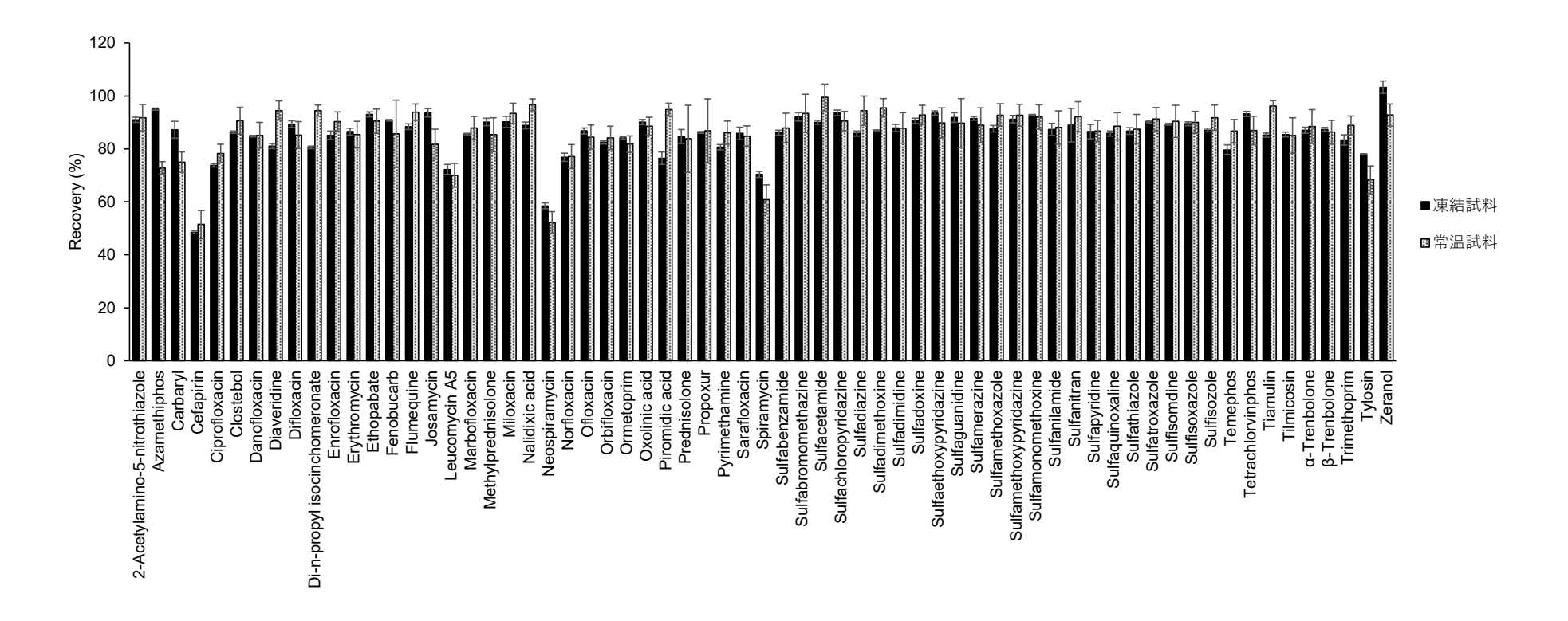


図. C-16. 凍結試料及び常温試料からの農薬等の平均回収率 1,2 (牛の筋肉)

1試料に農薬等を添加し、30分放置(凍結試料は・30℃、常温試料は室温)した後、抽出操作を開始した

² n=3

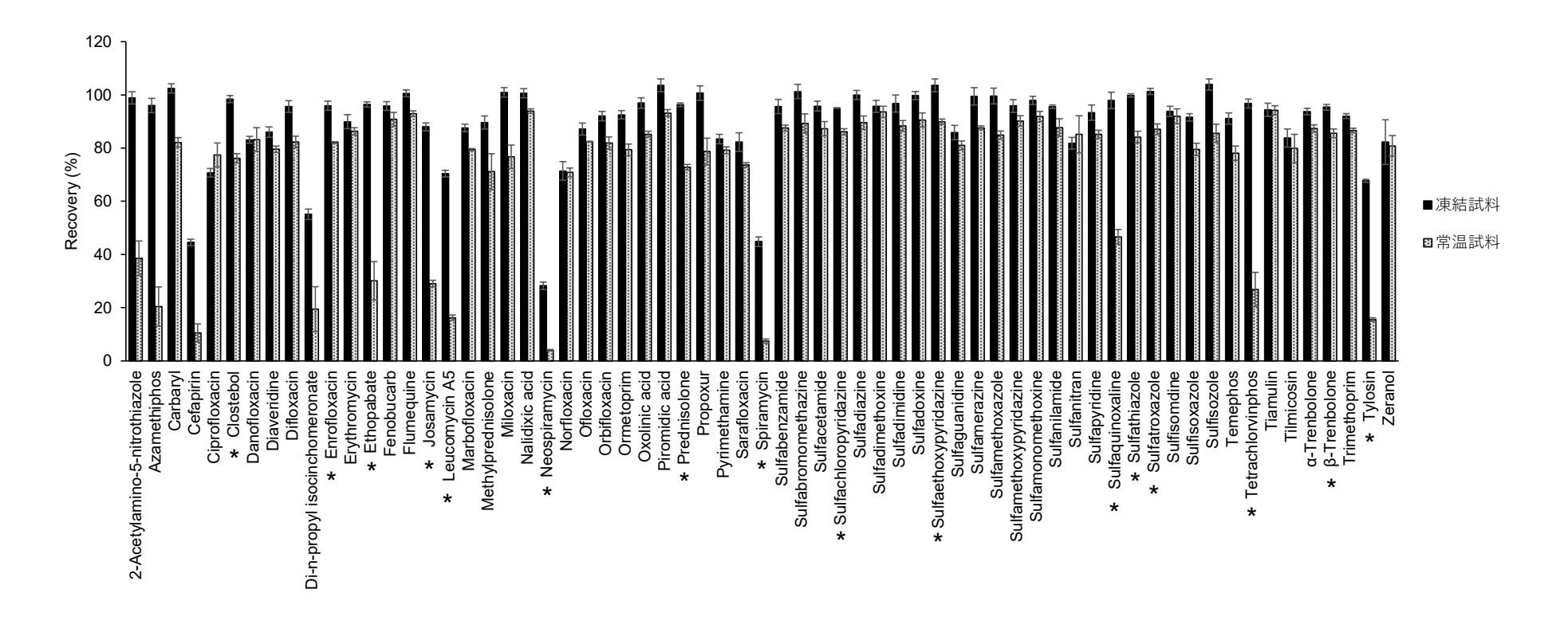


図. C-17. 凍結試料及び常温試料からの農薬等の平均回収率 1,2 (牛の肝臓)

1試料に農薬等を添加し、30分放置(凍結試料は-30℃、常温試料は室温)した後、抽出操作を開始した

² n=3

3 *q<0.01

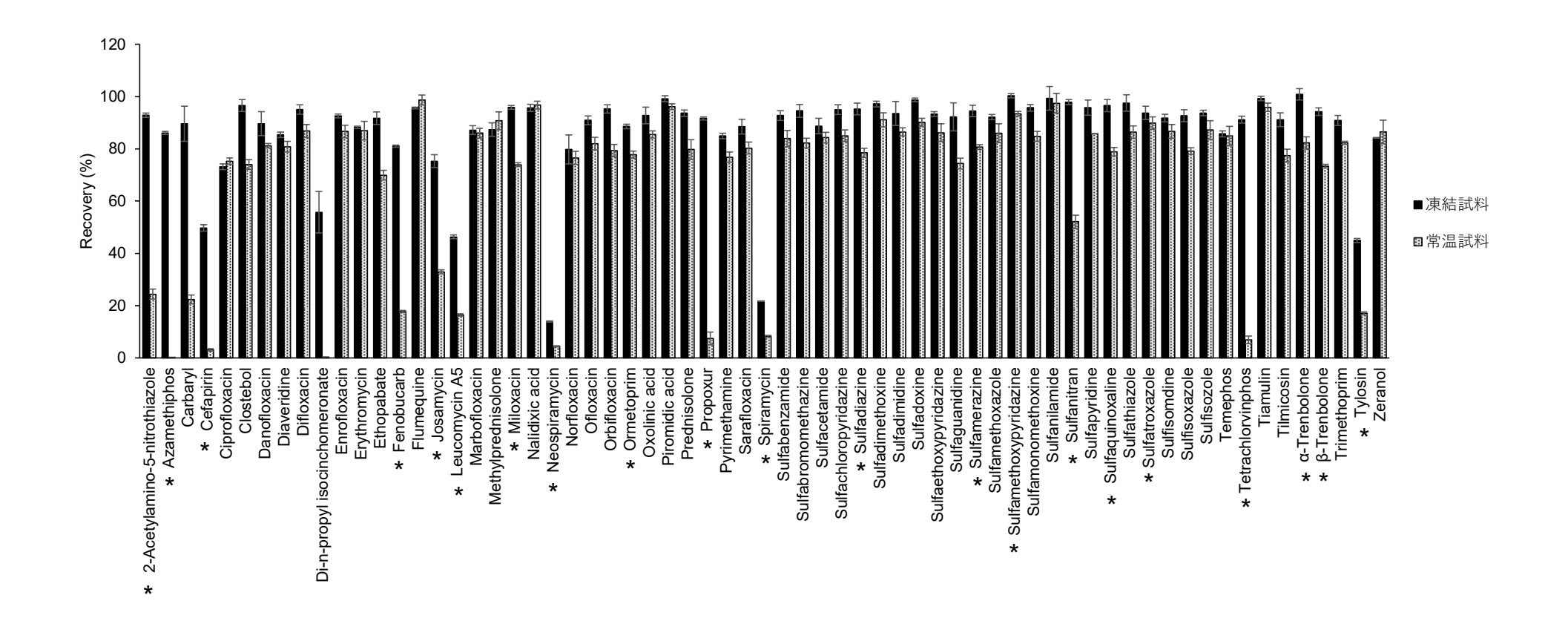


図. C-18. 凍結試料及び常温試料からの農薬等の平均回収率 1,2 (豚の肝臓)

1試料に農薬等を添加し、30分放置(凍結試料は-30℃、常温試料は室温)した後、抽出操作を開始した

² n=3

 3* it q<0.01

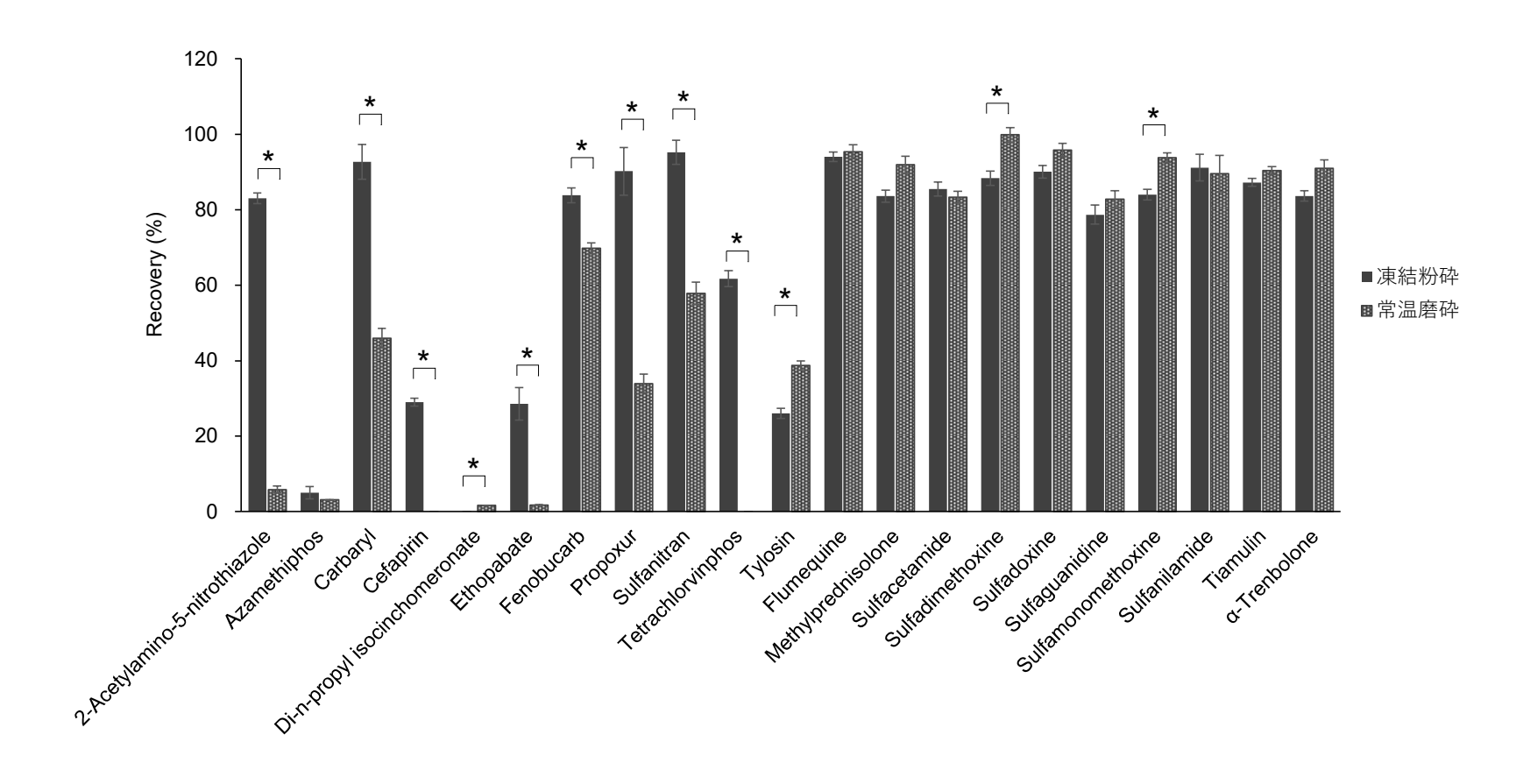


図. C-19. 常温磨砕法及び凍結粉砕法による試料調製における平均回収率 1,2 (牛の肝臓)

¹ n=5

 2 *1t q<0.01

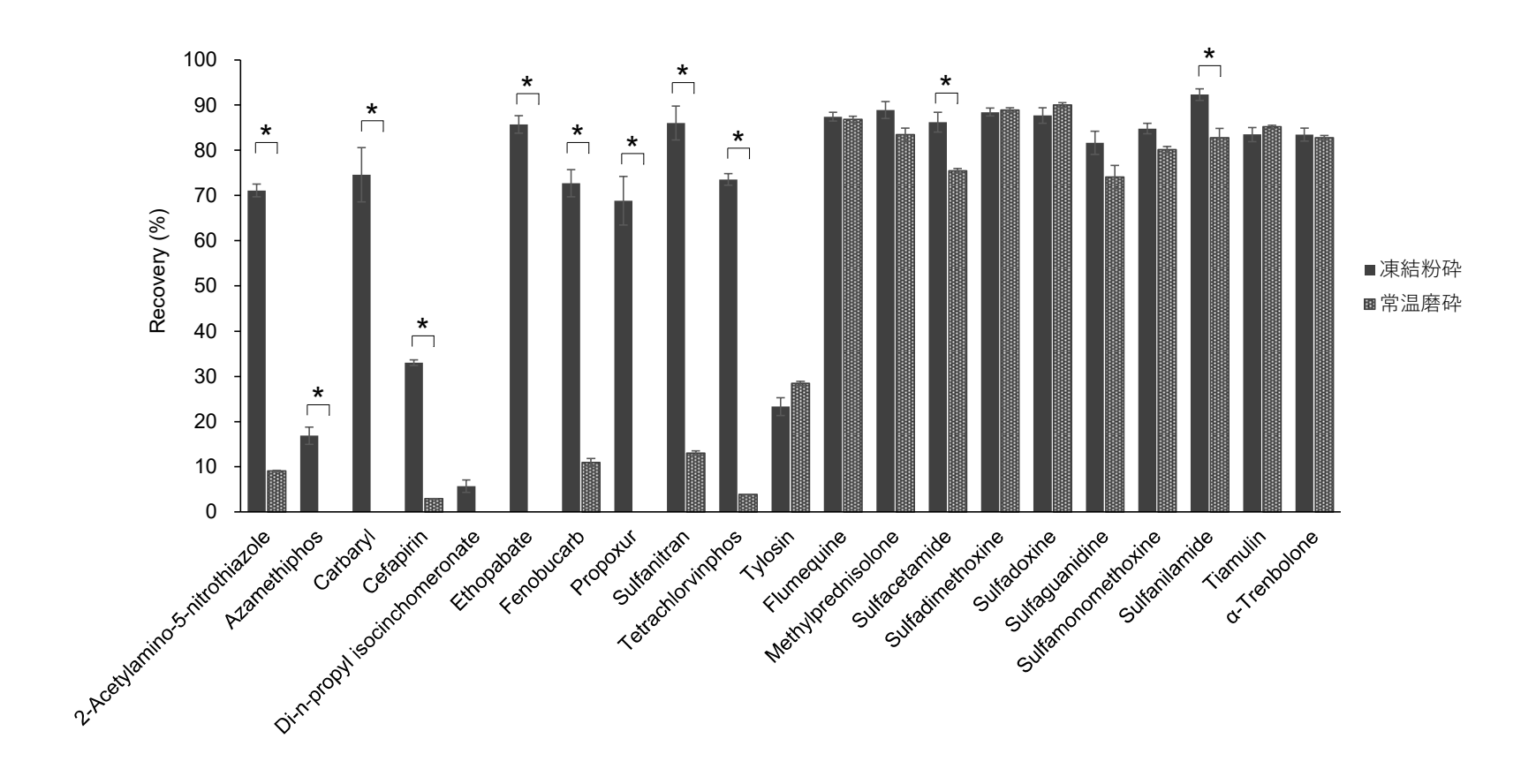


図. C-20. 常温磨砕法及び凍結粉砕法による試料調製における平均回収率 1,2 (豚の肝臓)

¹ n=5

 2 *1t q<0.01

表 C-7. 常温磨砕法及び凍結粉砕法による試料調製における平均回収率1(牛の肝臓)及びp値,q値

		回収率	率(%)	回収率(%)	p値	FDR補正後
		凍結粉砕	常温磨砕	の差	ρ⊫	q値
	2-Acetylamino-5-nitrothiazole	83	6	77	< 0.001	< 0.01
	Azamethiphos	5	3	2	0.273	1.00
	Carbaryl	93	46	47	< 0.001	< 0.01
	Cefapirin	29	0	29	< 0.001	< 0.01
	Di- <i>n</i> -propyl isocinchomeronate	0	2	2	< 0.001	< 0.01
Group 1	Ethopabate	29	2	27	< 0.001	< 0.01
	Fenobucarb	84	70	14	< 0.001	< 0.01
	Propoxur	90	34	56	< 0.001	< 0.01
	Sulfanitran	95	58	37	< 0.001	< 0.01
	Tetrachlorvinphos	62	0	62	< 0.001	< 0.01
	Tylosin	26	39	13	< 0.001	< 0.01
	Flumequine	94	95	1	0.568	1.00
	Methylprednisolone	84	92	8	0.017	0.04
	Sulfacetamide	86	83	2	0.392	0.75
	Sulfadimethoxine	88	100	12	0.003	< 0.01
Group 2	Sulfadoxine	90	96	6	0.049	0.08
Group Z	Sulfaguanidine	79	83	4	0.261	0.39
	Sulfamonomethoxine	84	94	10	0.001	< 0.01
	Sulfanilamide	91	90	1	0.792	1.00
	Tiamulin	87	90	3	0.066	0.07
	α-Trenbolone	84	91	7	0.024	0.02

¹ n=5

表 C-8. 常温磨砕法及び凍結粉砕法による試料調製における平均回収率1(豚の肝臓)及びp値,q値

		回収率	(%)	・回収率の差	。 点	FDR補正後
		凍結粉砕	常温磨砕	・凹収率の左	p値	q值
	2-Acetylamino-5-nitrothiazole	71	9	62	< 0.001	< 0.01
	Azamethiphos	17	0	17	< 0.001	< 0.01
	Carbaryl	75	0	75	< 0.001	< 0.01
	Cefapirin	33	3	30	< 0.001	< 0.01
	Di- <i>n</i> -propyl isocinchomeronate	6	0	6	0.003	0.01
Group 1	Ethopabate	86	0	86	< 0.001	< 0.01
	Fenobucarb	73	11	62	< 0.001	< 0.01
	Propoxur	69	0	69	< 0.001	< 0.01
	Sulfanitran	86	13	73	< 0.001	< 0.01
	Tetrachlorvinphos	74	4	70	< 0.001	< 0.01
	Tylosin	23	28	5	0.036	0.04
	Flumequine	87	87	0	0.641	1.00
	Methylprednisolone	89	83	6	0.051	0.12
	Sulfacetamide	86	75	11	0.002	< 0.01
	Sulfadimethoxine	88	89	1	0.640	1.00
Group 2	Sulfadoxine	88	90	2	0.236	0.38
Group Z	Sulfaguanidine	82	74	8	0.070	0.10
	Sulfamonomethoxine	85	80	5	0.009	0.01
	Sulfanilamide	92	83	9	0.005	< 0.01
	Tiamulin	83	85	2	0.316	0.35
	α-Trenbolone	83	83	0	0.654	0.65

1 n=5

表 C-9. 試料調製前と試料調製後に農薬等を添加した場合の回収率の比較(常温磨砕法)

			牛 の	肝臓		豚の肝臓				
	化合物	回収率		l p値	q値	回収率		p値	q値	
	2-Acetylamino-5-nitrothiazole	А	В	PIIE	Y IIIE	А	В	ρ⊫	어II브	
	2-Acetylamino-5-nitrothiazole	6	39	0.001	0.01	9	24	< 0.001	< 0.01	
	Azamethiphos	3	20	0.018	0.10	0	0	_	_	
	Carbaryl	46	82	< 0.001	< 0.01	0	22	< 0.001	< 0.01	
	Cefapirin	0	10	0.005	0.01	3	3	0.698	1.00	
	Di-n-propyl isocionchomeronate	2	19	0.028	0.06	0	0	_	_	
Group 1	Ethopabate	2	30	0.002	< 0.01	0	70	< 0.001	< 0.01	
	Fenobucarb	70	91	< 0.001	< 0.01	11	18	0.001	< 0.01	
	Propoxur	34	79	< 0.001	< 0.01	0	7	0.006	0.01	
	Sulfanitran	58	85	0.006	0.01	13	52	< 0.001	< 0.01	
	Tetrachlorvinphos	0	27	0.001	< 0.01	4	7	0.029	0.03	
	Tylosin	39	16	< 0.001	< 0.01	28	17	< 0.001	< 0.01	
	Flumequine	95	96	0.705	1	87	93	0.002	0.02	
	Methylprednisolone	92	90	0.760	1	83	71	0.060	0.30	
	Sulfacetamide	83	97	0.057	0.19	75	87	0.001	< 0.01	
	Sulfadimethoxine	100	99	0.801	1	89	94	0.034	0.08	
Group 2	Sulfadoxine	96	96	0.986	1	90	91	0.797	1	
Group 2	Sulfaguanidine	83	91	0.247	0.41	74	81	0.106	0.18	
	Sulfamonomethoxine	94	95	0.489	0.70	80	92	0.001	< 0.01	
	Sulfanilamide	90	93	0.661	0.83	83	88	0.230	0.29	
	Tiamulin	90	96	0.069	0.08	85	94	0.001	< 0.01	
	α-Trenbolone	91	93	0.573	0.57	83	87	0.010	0.01	

A 検体に農薬等を添加後、常温磨砕法により試料調製した場合の回収率

B 常温磨砕法により調製した試料に農薬等を添加した場合の回収率

表 C-10. 試料調製前と試料調製後に農薬等を添加した場合の回収率の比較(凍結粉砕法)

			牛の	肝臓		豚の肝臓				
	化合物		収率	p値	q値	回収率		p値	q値	
		С	D	i PIE	q⊫	С	D	T PIE	(기본	
	2-Acetylamino-5-nitrothiazole	83	99	0.001	0.01	71	93	< 0.001	< 0.01	
	Azamethiphos	5	96	< 0.001	< 0.01	17	86	< 0.001	< 0.01	
	Carbaryl	93	102	0.176	0.65	75	90	0.159	0.58	
	Cefapirin	29	45	< 0.001	< 0.01	33	50	< 0.001	< 0.01	
	Di-n-propyl isocionchomeronate	0	55	< 0.001	< 0.01	6	56	< 0.001	< 0.01	
Group 1	Ethopabate	29	96	< 0.001	< 0.01	86	92	0.104	0.19	
	Fenobucarb	84	96	0.006	0.01	73	81	0.081	0.13	
	Propoxur	90	101	0.272	0.37	69	92	0.019	0.03	
	Sulfanitran	95	82	0.026	0.03	86	98	0.056	0.07	
	Tetrachlorvinphos	62	97	< 0.001	< 0.01	74	91	< 0.001	< 0.01	
	Tylosin	26	68	< 0.001	< 0.01	23	45	< 0.001	< 0.01	
	Flumequine	94	88	0.021	0.21	87	101	0.000	< 0.01	
	Methylprednisolone	84	90	0.032	0.16	89	90	0.825	1	
	Sulfacetamide	86	90	0.120	0.40	86	96	0.027	0.09	
	Sulfadimethoxine	88	87	0.612	1	88	96	0.012	0.03	
Group 2	Sulfadoxine	90	91	0.843	1	88	100	0.003	0.01	
Group 2	Sulfaguanidine	79	92	0.011	0.02	82	86	0.327	0.54	
	Sulfamonomethoxine	84	93	0.004	< 0.01	85	98	0.001	< 0.01	
	Sulfanilamide	91	87	0.474	0.59	92	96	0.127	0.16	
	Tiamulin	87	85	0.223	0.25	83	94	0.007	0.01	
	α-Trenbolone	84	87	0.150	0.15	83	94	0.003	< 0.01	

C 検体に農薬等を添加後、凍結粉砕法により試料調製した場合の回収率

D 凍結粉砕法により調製した試料に農薬等を添加した場合の回収率